



Engineering Knowledge Transfer Units to Increase  
Student's Employability and Regional Development

## Module 3: การออกแบบยานพาหนะ + พลศาสตร์

PhD, Assoc. prof., Sanjarbek Ruzimov  
sanjarbek.ruzimov@polito.it

สำหรับใช้ในการศึกษาเท่านั้น\*



Co-funded by the  
Erasmus+ Programme  
of the European Union

*This project has been funded with support from the European Commission. This publication reflects the views only of the author, and the Commission cannot be held responsible for any use which may be made of the information contained therein.598710-EPP-1-2018-1-AT-EPPKA2-CBHE-JP*

- **Slot 3:** การจำลองพลวัตของยานพาหนะ
  - ไดนามิกตามยาวและการจำลองการขึ้นเปลี่ยนเชื้อเพลิงใน Matlab/Simulink
  - การจำลองไดนามิกของเบรก
- **Slot 4 and 5:** ไดนามิกแนวตั้ง
  - ไดนามิกแนวตั้งของยานพาหนะ
  - รัชของศิลปะของระบบลดแรงสั่นสะเทือนแบบพาสซีฟกึ่งแอคทีฟและแอคทีฟ
  - Roll motion
- **Slot 6:** ระบบควบคุม
  - ระบบควบคุมการปรับความสูง
  - ระบบควบคุมช่วงล่างแบบหมุนเวียน
  - Active roll control

# การจำลองพลวัตของยานพาหนะ

- ไดนามิกตามยาวและการจำลองการเปลี่ยนแปลงเชื้อเพลิงใน Matlab/Simulink
- การจำลองไดนามิกของเบรก

# การออกแบบยานยนต์

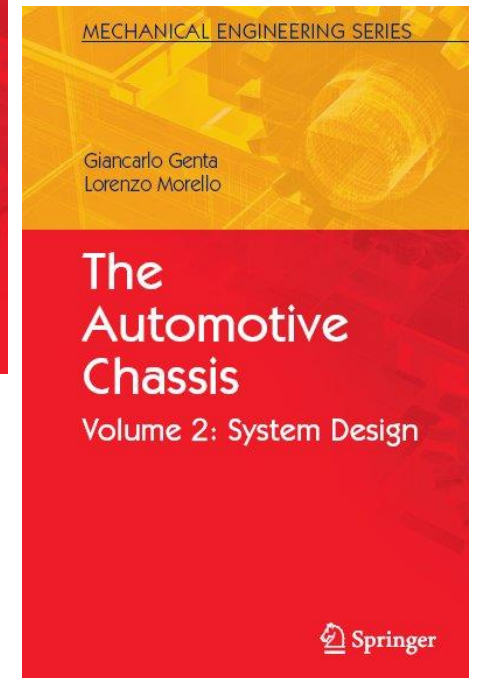
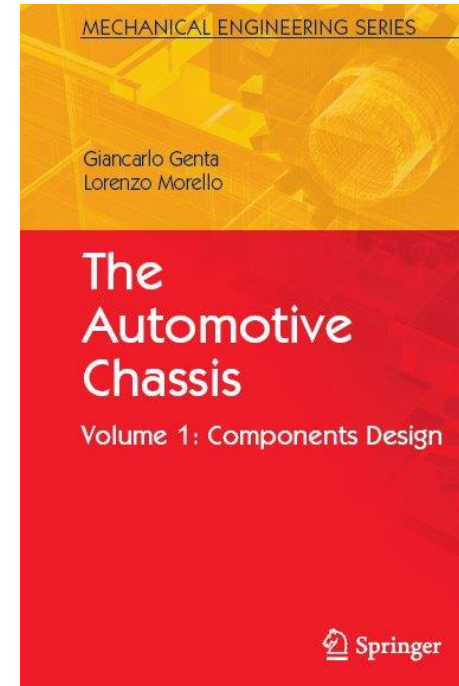


- 8 ECST (การบรรยาย + การปฏิบัติ + โครงการ)

- Part 1 : แรงและโมเมนต์ที่สัมผัสยางถนน
- Part 2: ไดนามิกตามยาวของรถ
- Part 3: Suspensions
- Part 4: พลวัตด้านข้างของยานพาหนะ
- Part 5: ระบบเบรก
- Part 6: ระบบส่งกำลัง

- ข้อกำหนดเบื้องต้น

- Physics: ความสมดุลของร่างกายที่เข้มงวด การวิเคราะห์เวกเตอร์.
- Applied mechanics: จลนศาสตร์ การวิเคราะห์การสั่นสะเทือน
- การเขียนแบบวิศวกรรม.

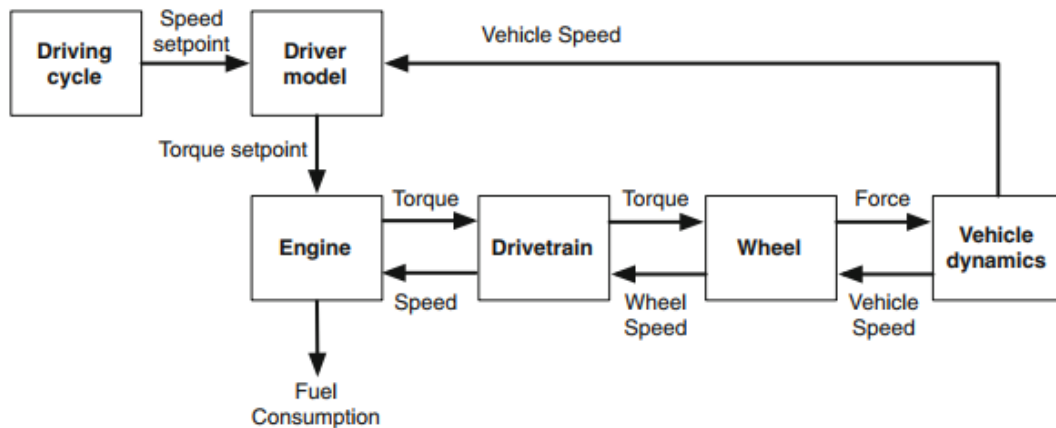


# ไดนามิกตามยาวและการจำลองการสั่นเปลี่ยนเชิงซ้อน ใน **Matlab/Simulink**

# แนวทางการสร้างแบบจำลอง

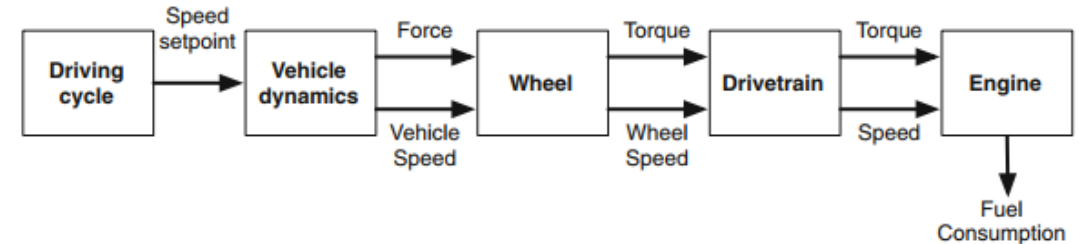


## Forward model



- Physical causality is held;
- ความเร็วรอบการขับที่เทียบกับความเร็วจริง;
- รุ่นไดรเวอร์ (เช่น ตัวควบคุม PID) สร้างคำสั่งเบรกและคันเร่ง;
- คำสั่งจะถูกส่งไปยังบล็อกผู้ควบคุมที่รับผิดชอบในการสร้างจุดตั้งค่าแอกทูเอเตอร์.
- ความเบี่ยงเบนจากจุดกำหนดความเร็ว;
- ข้อจำกัด ของระบบส่งกำลังถูกนำมาพิจารณา;
- มีประโยชน์ในการพัฒนากลยุทธ์การควบคุมออนไลน์;
- รวมโมเดลการขับที่ได้.

## Backward model



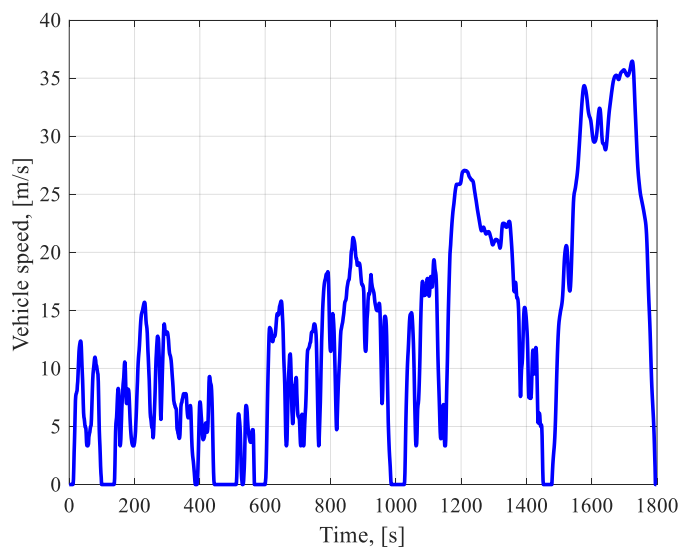
- ความเร็วที่ต้องการใช้ในการคำนวณอัตราเร่ง กำลังที่ระดับพื้น แรงและแรงบิด;
- ไม่จำเป็นต้องมีรุ่นไดรเวอร์;
- พิจารณาลักษณะแรงบิด/ความเร็วของส่วนประกอบระบบส่งกำลังต่างๆ เพื่อกำหนดสภาพการทำงานของเครื่องยนต์และการสลับเกียร์;
- ไม่พิจารณาข้อจำกัดของระบบส่งกำลัง;
- ความเร็วจริงจะเท่ากันทุกประการกับความเร็วที่ตั้งไว้;
- การวิเคราะห์เบื้องต้นของ EMS ที่แตกต่างกัน.



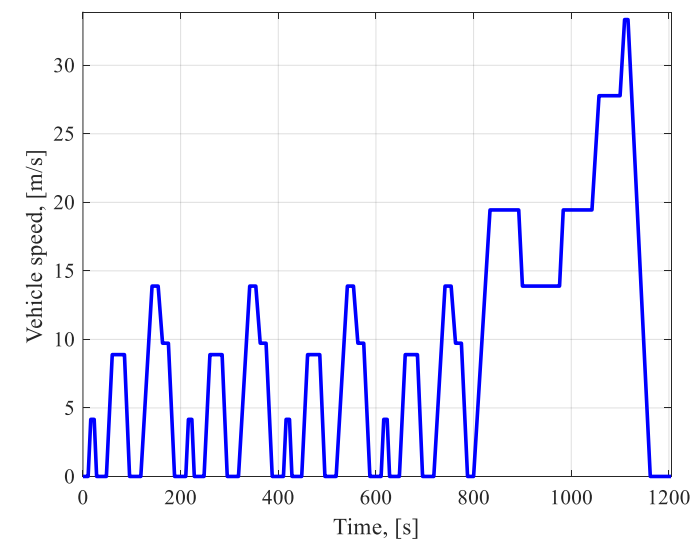
# Homologation Drive Cycle



ขั้นตอนการทดสอบยานพาหนะขนาดเล็กที่กลมกลืนกันทั่วโลก (WLTP)

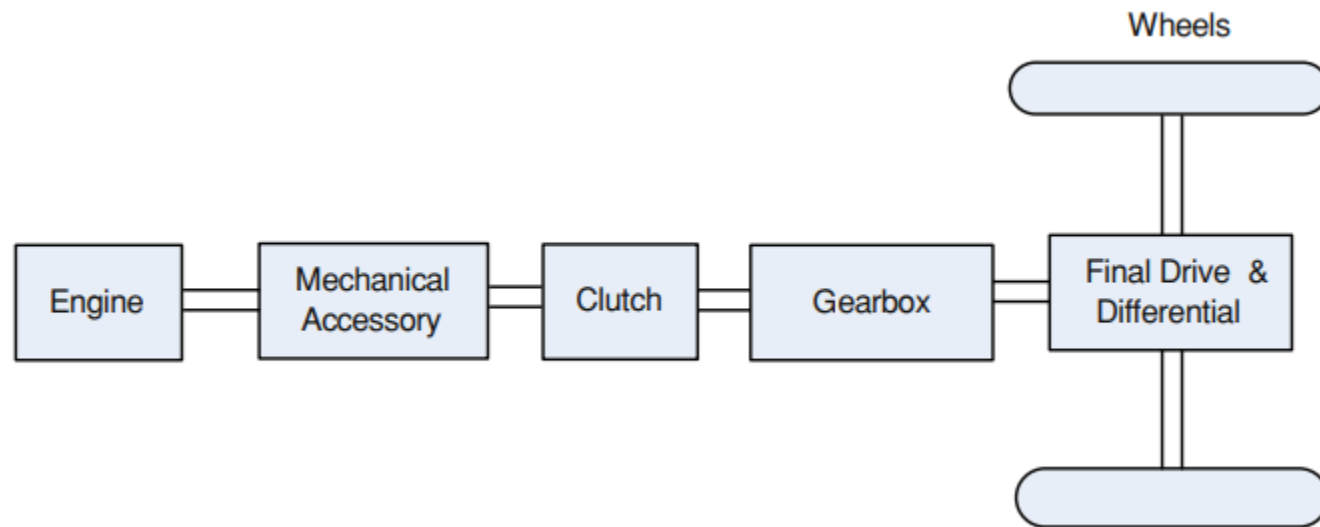


วงจรถาการขับที่แบบใหม่ของยุโรป



Co-funded by the  
Erasmus+ Programme  
of the European Union

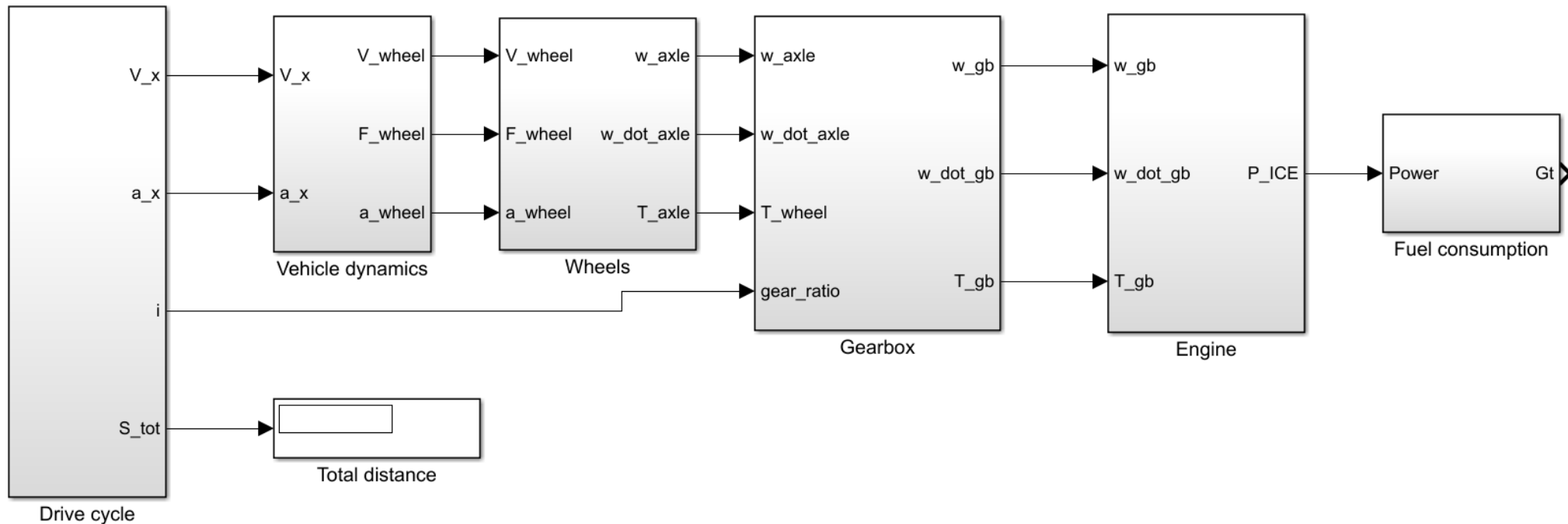
# โมเดลไดนามิกตามยาวของรถยนต์





# รุ่น Simulink ของรถ (ถอยหลัง)

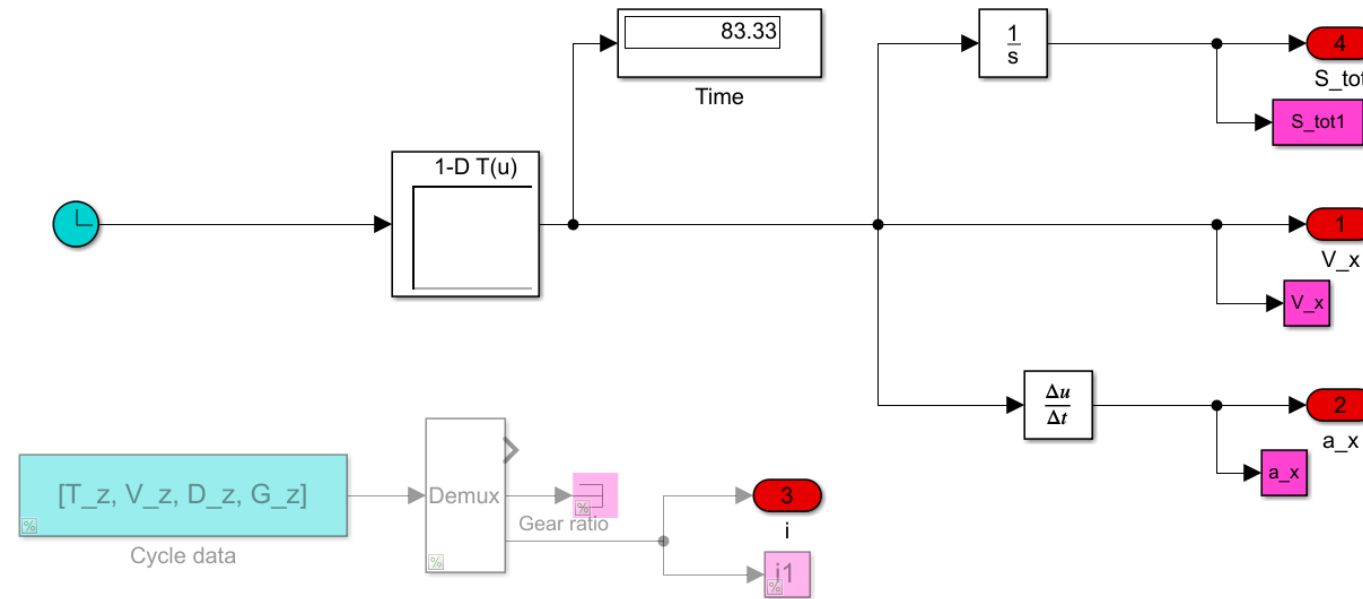
The QSS-toolbox 2.0.1 (Mozilla Public License, v. 2.0.)



Source: [https://ethz.ch/content/dam/ethz/special-interest/mavt/dynamic-systems-n-control/idsc-dam/Research\\_Onder/Downloads/qss.zip](https://ethz.ch/content/dam/ethz/special-interest/mavt/dynamic-systems-n-control/idsc-dam/Research_Onder/Downloads/qss.zip)

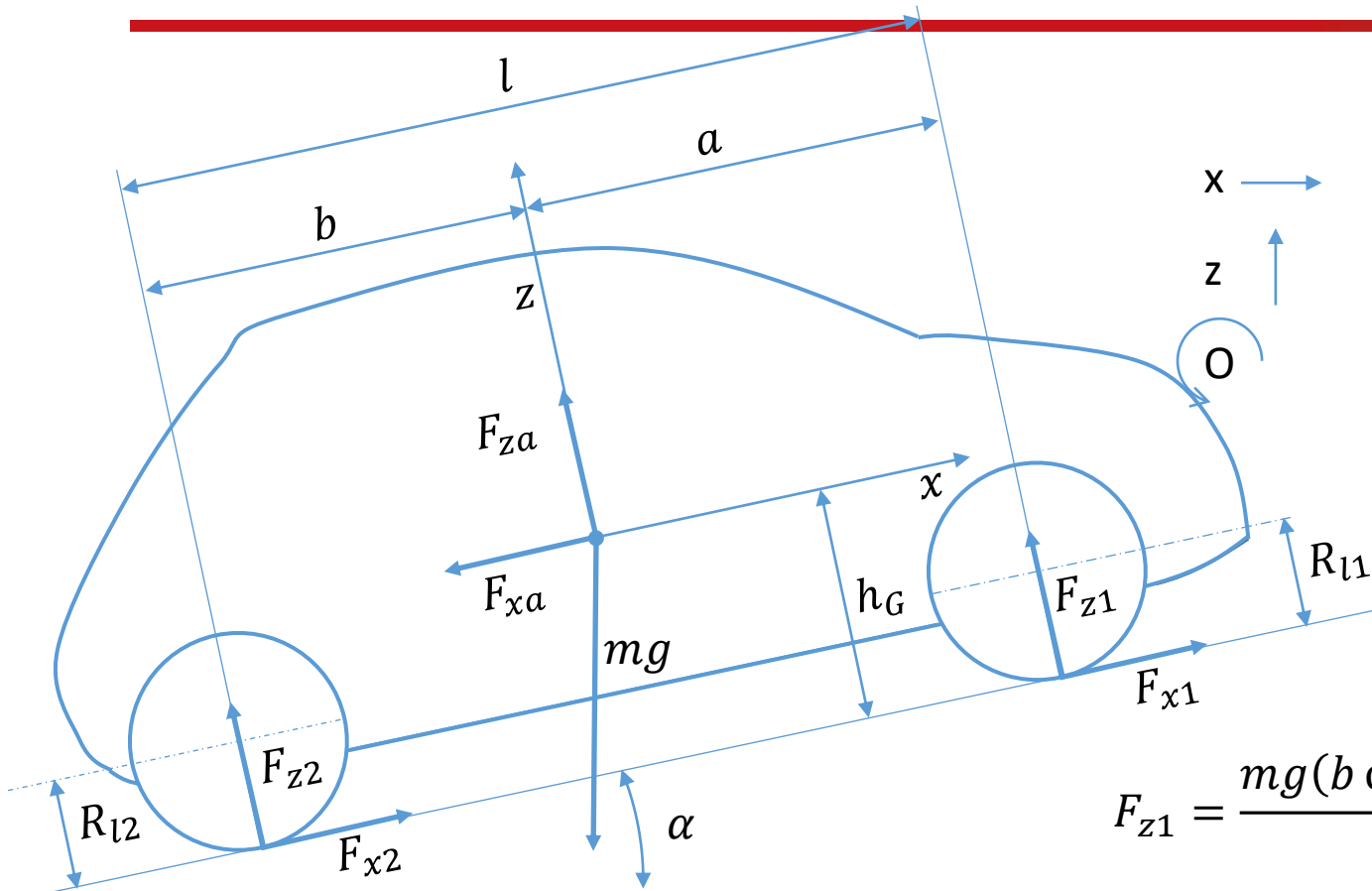
Source: Guzella

# วงจรขับ



$$a_x(t) = dV_x/dt \qquad S_x(t) = \int V_x dt$$

# ไดนามิกตามยาวของยานพาหนะ



$$x \rightarrow F_{x1} + F_{x2} - F_{xa} - mg \sin \alpha = m\dot{V}$$

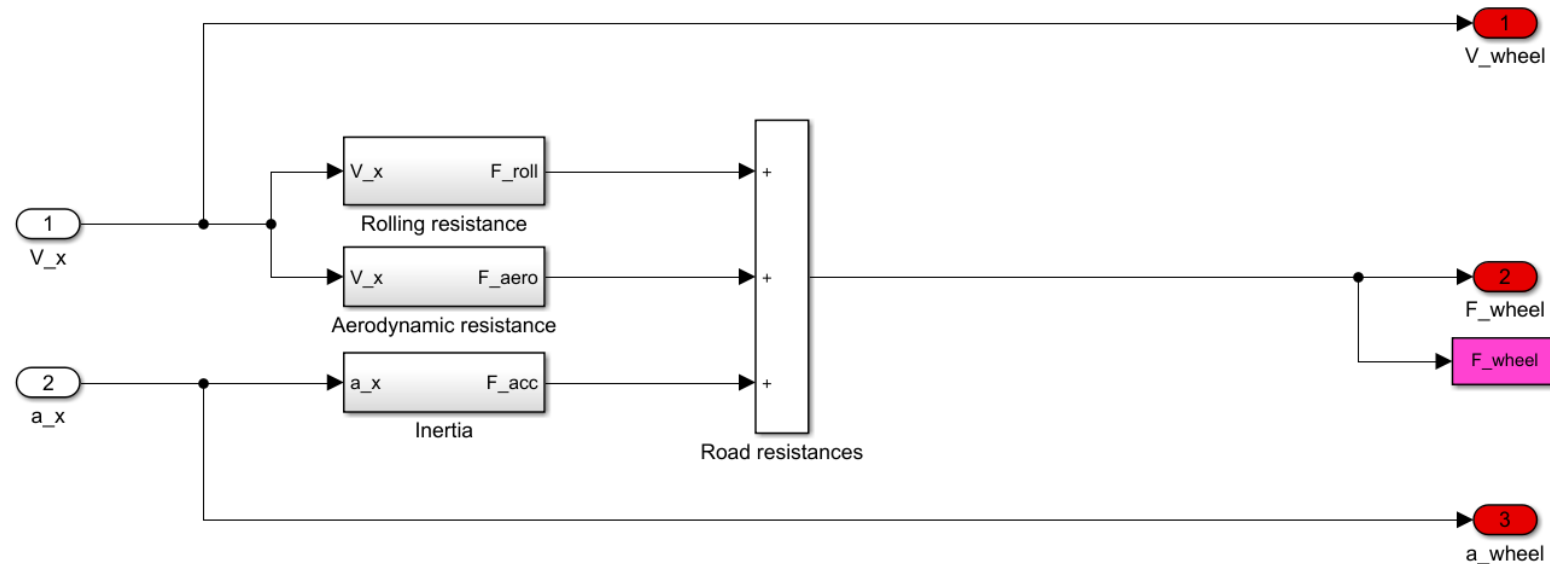
$$z \uparrow F_{z1} + F_{z2} + F_{za} - mg \cos \alpha = 0$$

$$F_{z1}a - F_{z2}b + mg \sin \alpha h_G + F_{xa}h_G - M_{ya} = -mh_G\dot{V}$$

$$F_{z1} = \frac{mg(b \cos \alpha - h_G \sin \alpha) - bF_{za} - h_G F_{xa} + M_{ya} - mh_G\dot{V}}{l}$$

$$F_{z2} = \frac{mg(a \cos \alpha + h_G \sin \alpha) - aF_{za} + h_G F_{xa} - M_{ya} + mh_G\dot{V}}{l}$$

# บล็อกไดนามิกของยานพาหนะ



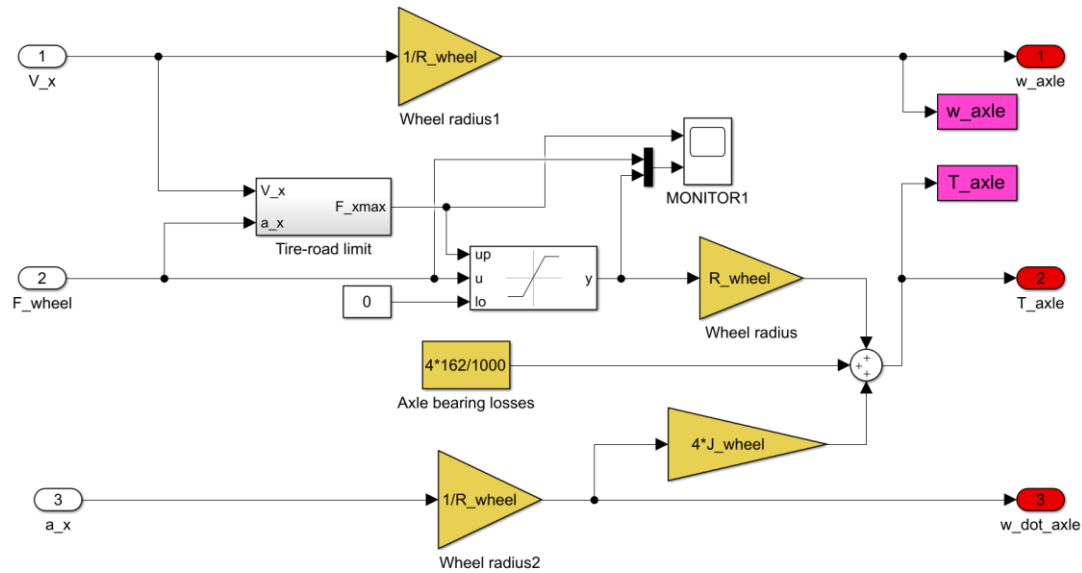
$$F_{roll} = M \cdot g \cdot f_r$$

$$F_{acc} = M \cdot a_x$$

$$F_{aero} = 0.5 \cdot \rho \cdot C_x \cdot A_f \cdot V_x^2$$

$$F_{res} = F_{roll} + F_{aero} + F_{acc}$$

# บล็อกล้อ (ยาง)



$$\omega_{\text{wheel}} = \frac{V_x}{R_{\text{wheel}}}$$

$$\dot{\omega}_{\text{wheel}} = \frac{a_x}{R_{\text{wheel}}}$$

$$T_{\text{wheel}} = F_{\text{wheel}} \cdot R_{\text{wheel}}$$

Wheel inertia

$$T_{\text{axle}} = 4 \cdot J_{\text{wheel}} \cdot \dot{\omega}_{\text{wheel}} + T_{\text{wheel}}$$

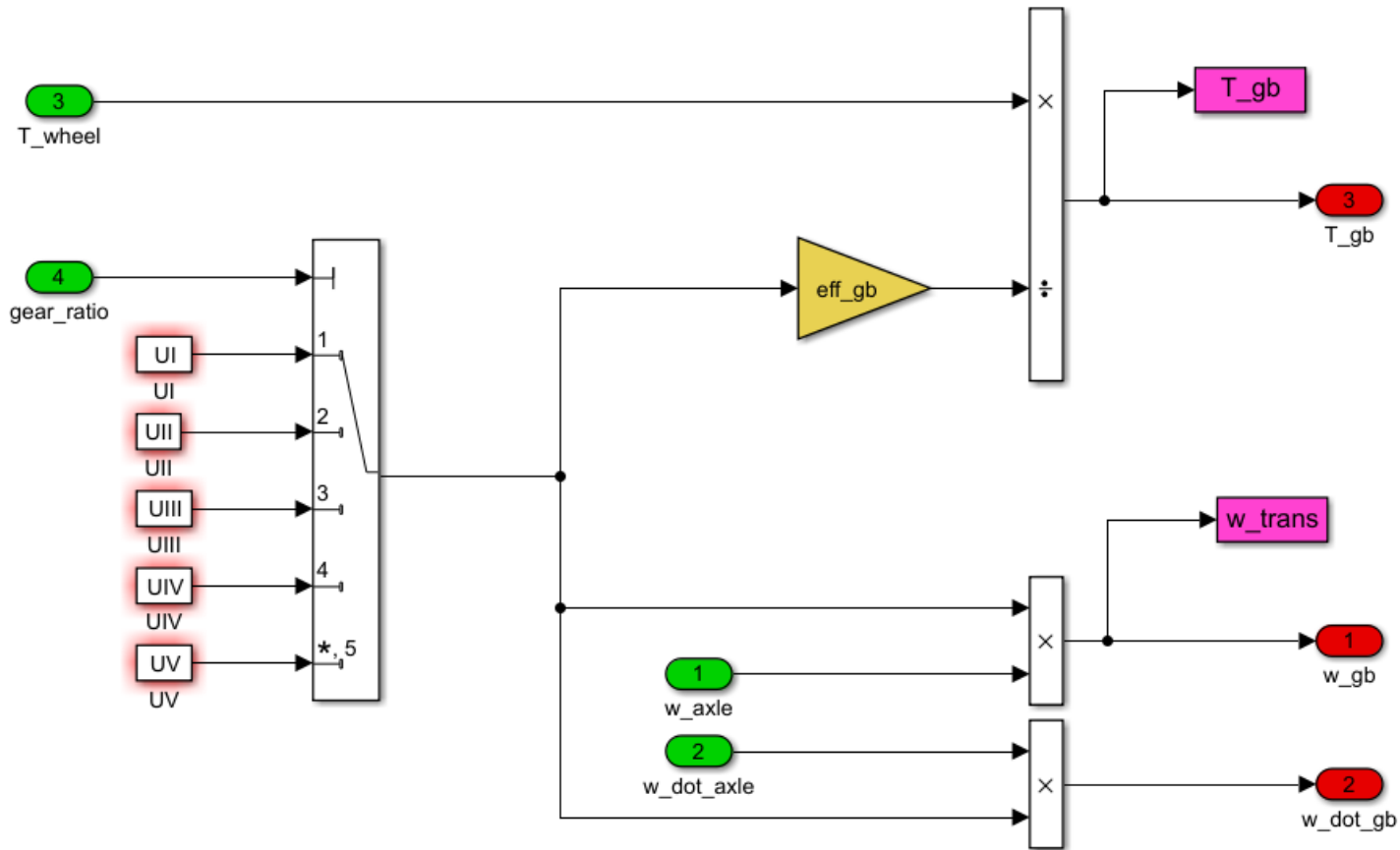
## Road –tire Limitations:

$$F_{z.\text{front}} = (M \cdot g \cdot b - M \cdot a_x \cdot h_G - 0.5 \cdot \rho \cdot A_f \cdot V_x^2 \cdot (h_G \cdot C_x - L \cdot C_{M_y} + b \cdot C_z))/L$$

$$F_x = F_z \cdot \mu_x$$

$$F_{z.\text{rear}} = (M \cdot g \cdot a + M \cdot a_x \cdot h_G - 0.5 \cdot \rho \cdot A_f \cdot V_x^2 \cdot (-h_G \cdot C_x + L \cdot C_{M_y} + a \cdot C_z))/L$$

# กระบุงเกียร์ (เกียร์)

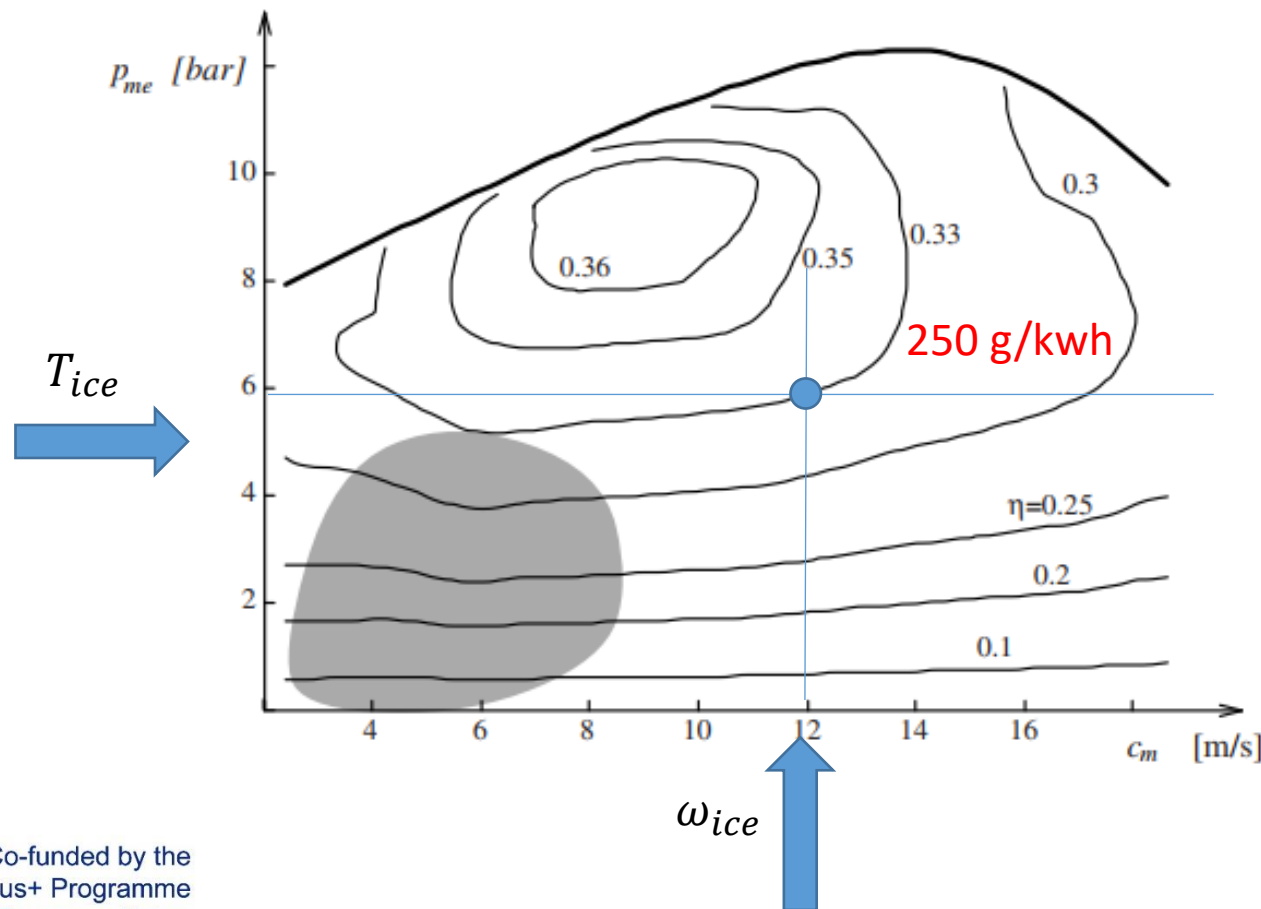


$$T_{gb} = \frac{T_{axle}}{i_{gb} \cdot \eta_{gb}}$$

$$\omega_{gb} = \omega_{axle} \cdot i_{gb}$$

$$\dot{\omega}_{gb} = \dot{\omega}_{axle} \cdot i_{gb}$$

# ลักษณะเครื่องยนต์: เส้นชั้นความสูงอย่างมีประสิทธิภาพ



$$p_{me} = \frac{T_{ice} 4\pi}{V_d} \quad \text{ICE mean effective pressure}$$

$$p_{fuel} = \frac{m_f H_u}{V_d} \quad \text{Fuel mean effective pressure}$$

$$\eta_{ice} = \frac{p_{me}}{p_{fuel}}$$

$H$  – lower heating value of the fuel, [J/kg]

$$m_f = \frac{4 \pi T_{ice}}{H_u \eta_{ice}}$$

fuel consumption per engine cycle

$$q = P_{ice} g_{ice}, \text{ [g/s]}$$

$$Q = \int q dt, \text{ [g]}$$

$$g_{ice} = f(T_{ice}, \omega_{ice}), \text{ [g/kwh]}$$

## การจำลองไดนามิกของเบรก



# การเบรก – กรณีในอุดมคติ

$$\frac{dV}{dt} = \frac{F_{x1} + F_{x2} - F_{xa} - mg \sin \alpha}{m}$$

$$\mu_{x1} = \mu_{x2} = \mu_{xmax}$$

$$\frac{dV}{dt} = \frac{\mu_x \left( mg - \frac{1}{2} \rho C_z S V^2 \right) - \frac{1}{2} \rho C_x S V^2}{m} - g \sin \alpha$$

If  $V \cong 0$  and  $\alpha = 0$

$$\dot{V} = -|\mu_x|g$$

(พบแล้วในการศึกษาพลวัตตามยาว)

$$t_{V1 \rightarrow V2} = \frac{V_1 - V_2}{|\mu_x|g}$$

$$t_{stop} = \frac{V_1}{|\mu_x|g}$$

$$s_{V1 \rightarrow V2} = \frac{V_1^2 - V_2^2}{2|\mu_x|g}$$

$$s_{stop} = \frac{V_1^2}{2|\mu_x|g}$$

เวลาและระยะทางในการลดความเร็วจาก  $V_1$  เป็น  $V_2$  หรือเพื่อหยุดรถจาก  $V_1$ . ( $V_1 > V_2$ )

# การเบรกในอุดมคติ - แรงตามยาวของยาง

If  $V \cong 0$  and  $\dot{V} = \mu_x g$

$$F_{z1} = \frac{mg(b \cos \alpha - h_G \sin \alpha) - mh_G \dot{V}}{l}$$

$$F_{z2} = \frac{mg(a \cos \alpha + h_G \sin \alpha) + mh_G \dot{V}}{l}$$

$$F_{x1} = \mu_x F_{z1} = \mu_x \frac{mg}{l} [b \cos \alpha - h_G \mu_x]$$

$$F_{x2} = \mu_x F_{z2} = \mu_x \frac{mg}{l} [a \cos \alpha + h_G \mu_x]$$

~~$$F_{z1} = \frac{mg}{l} [(b \cos \alpha - h_G \sin \alpha) - h_G \mu_x]$$~~

~~$$F_{z2} = \frac{mg}{l} [(a \cos \alpha + h_G \sin \alpha) + h_G \mu_x]$$~~

เล็กเมื่อเทียบกับค่าอื่นๆ

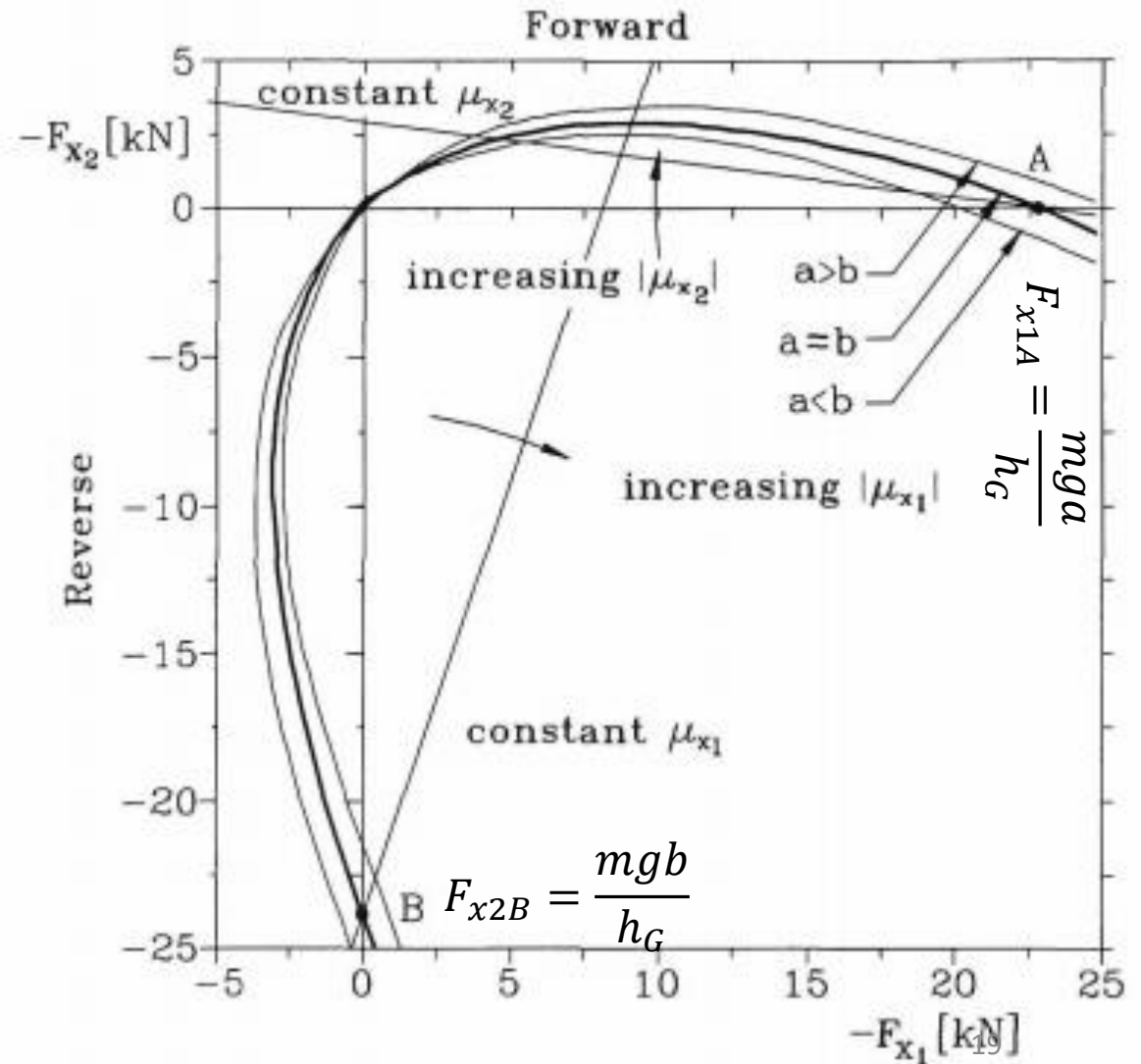
# การเบรกในอุดมคติ – กำลังของยาง

$$F_{x1} = \mu_x F_{z1} = \mu_x \frac{mg}{l} [b \cos \alpha - h_G \mu_x]$$

$$F_{x2} = \mu_x F_{z2} = \mu_x \frac{mg}{l} [a \cos \alpha + h_G \mu_x]$$



$$(F_{x1} + F_{x2})^2 + mg \cos^2 \alpha \left( F_{x1} \frac{a}{h_G} - F_{x2} \frac{b}{h_G} \right) = 0$$



# เบรกล้อในอุดมคติ

$$\alpha = 0$$

$$\frac{dV}{dt} = \frac{F_{x1} + F_{x2}}{m}$$

$$\frac{dV}{dt} = \frac{F_{x1} + F_{x2} - F_{xa} - mg \sin \alpha}{m}$$

$$F_{x1} = \mu_{x1} \frac{mg(b \cos \alpha - h_G \sin \alpha) - h_G(F_{x1} + F_{x2})}{l}$$

$$F_{x1} = \mu_{x1} \frac{mgb - h_G(F_{x1} + F_{x2})}{l}$$

$$F_{x1} = \mu_{x1} \frac{mgb - h_G F_{x2}}{\left(1 + \mu_{x1} \frac{h_G}{l}\right) l}$$

$$F_{x1} = 0 \quad \text{if} \quad F_{x2} = \frac{mgb}{h_G}$$

ขีด จำกัด ของการพลิกคว่ำ  
ระหว่างการเบรกล้อแบบถอยหลัง

$$F_{x2} = \mu_{x2} \frac{mg(a \cos \alpha + h_G \sin \alpha) + h_G(F_{x1} + F_{x2})}{l}$$

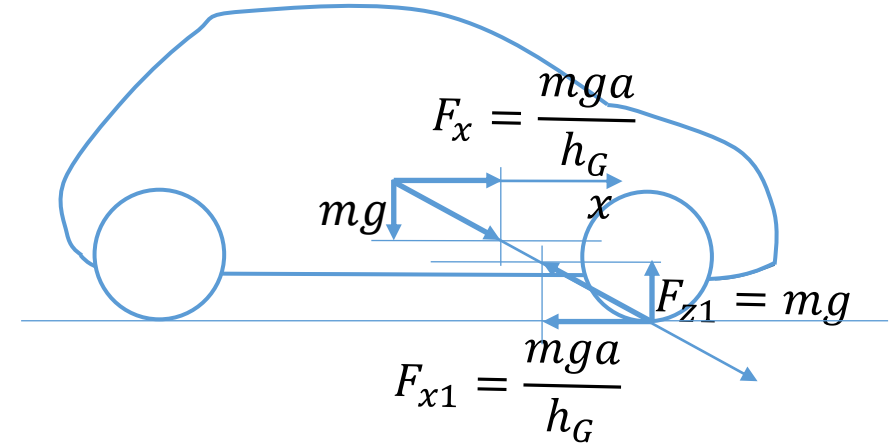
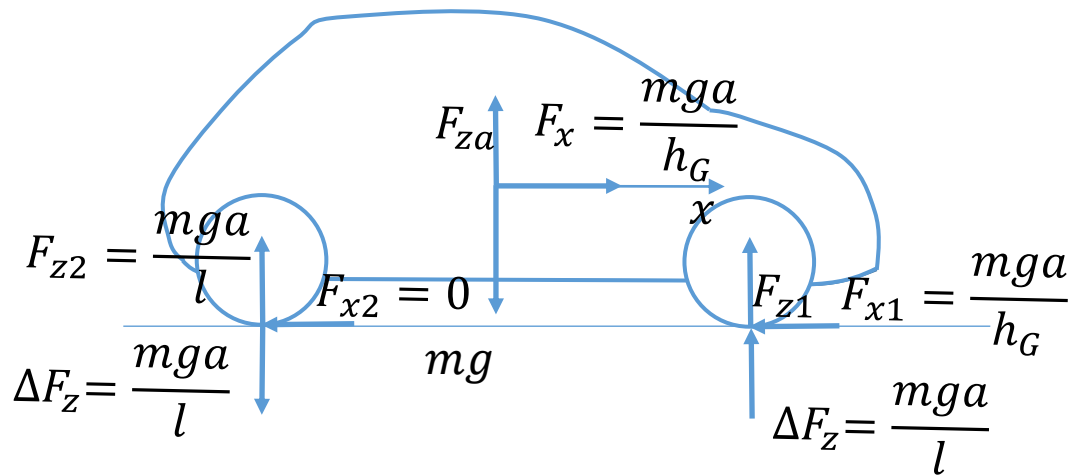
$$F_{x2} = \mu_{x2} \frac{mga - h_G(F_{x1} + F_{x2})}{l}$$

$$F_{x2} = \mu_{x2} \frac{mga - h_G F_{x1}}{\left(1 + \mu_{x2} \frac{h_G}{l}\right) l}$$

$$F_{x2} = 0 \quad \text{if} \quad F_{x1} = \frac{mga}{h_G}$$

ขีด จำกัด ของการพลิกขณะ  
เบรกล้อไปข้างหน้า

# การเบรกในอุดมคติ – ขีดจำกัดการพลิกคว่ำ



$F_{x1} = 0$  if  $F_{x2} = \frac{mgb}{h_G}$

ขีด จำกัด ของการพลิกคว่ำ  
 ระหว่างการเบรกแบบถอยหลัง

$F_{x2} = 0$  if  $F_{x1} = \frac{mga}{h_G}$

ขีด จำกัด ของการพลิกขณะเบรก  
 ไปข้างหน้า

# เบรกในอุดมคติ

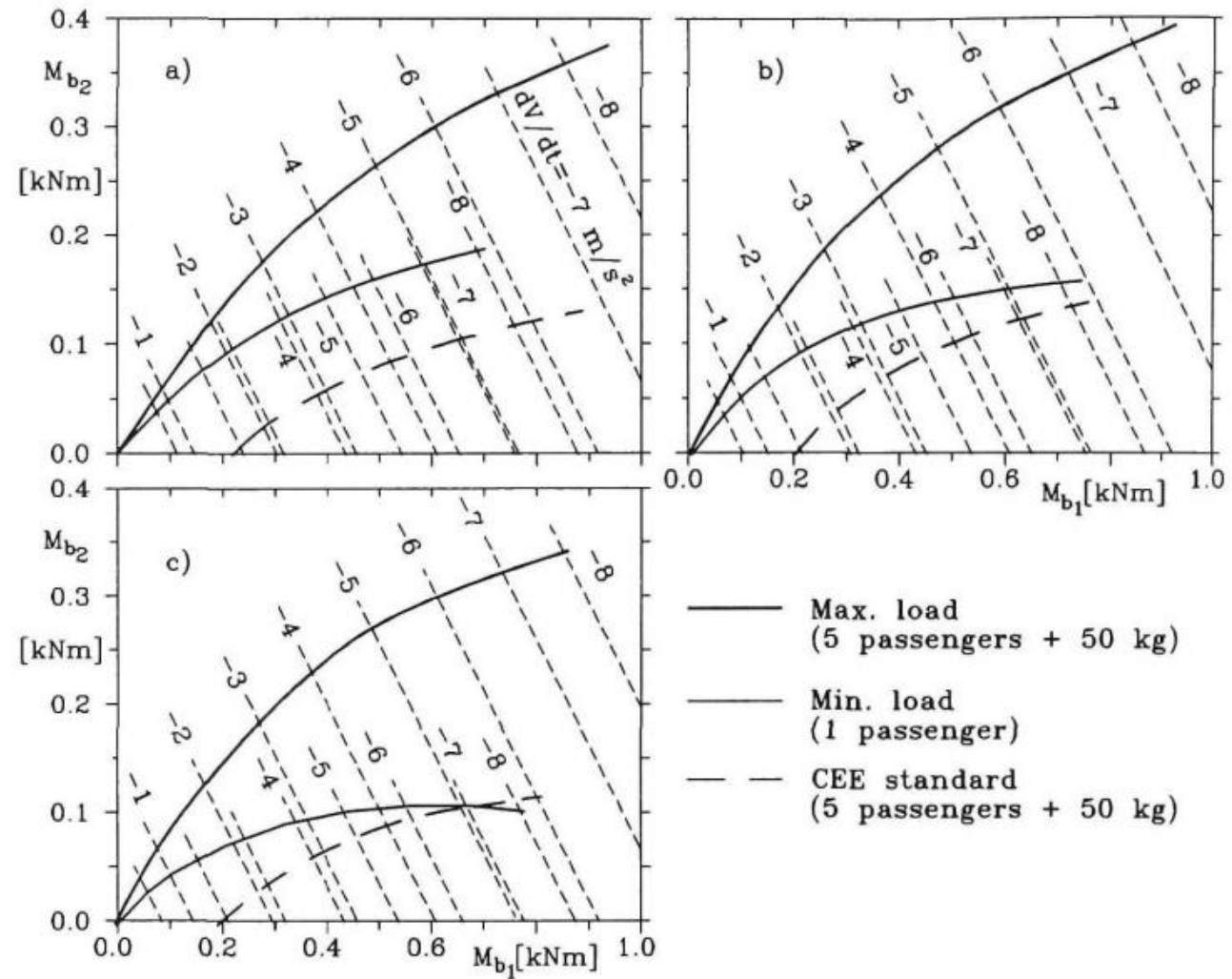
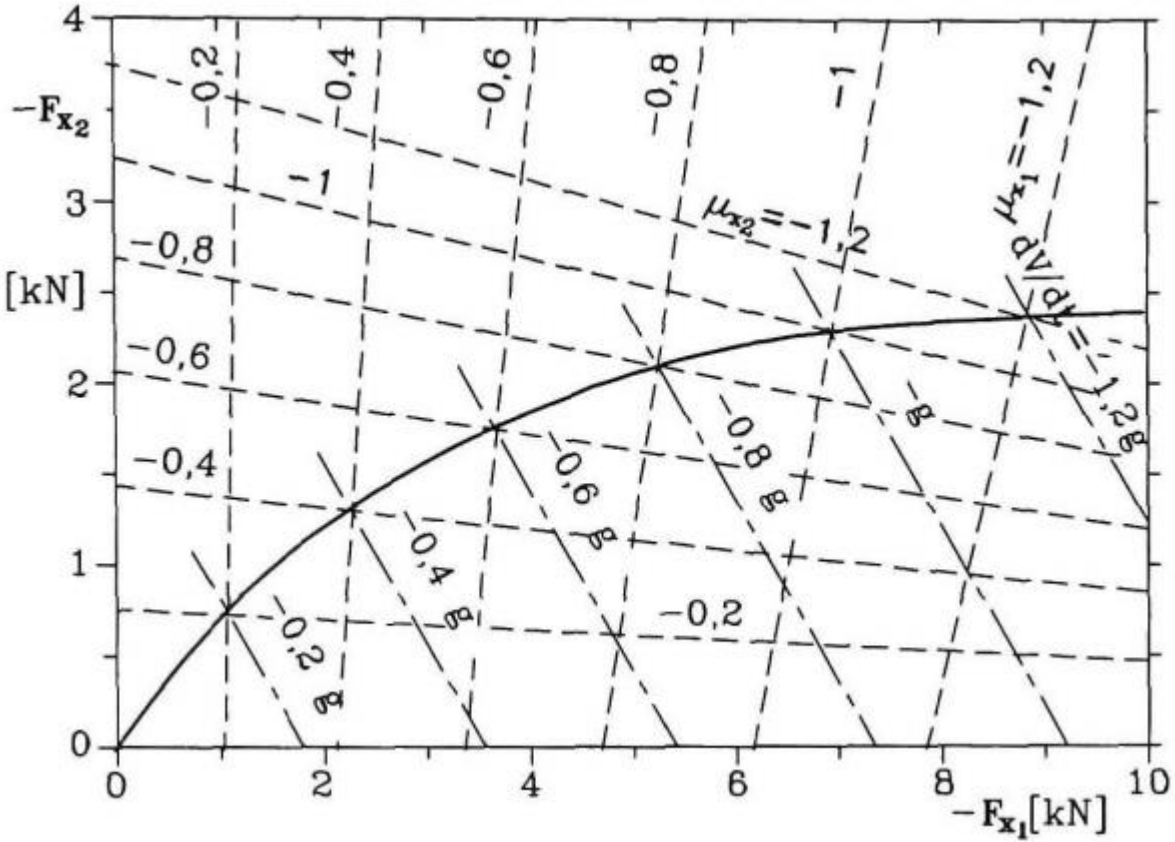


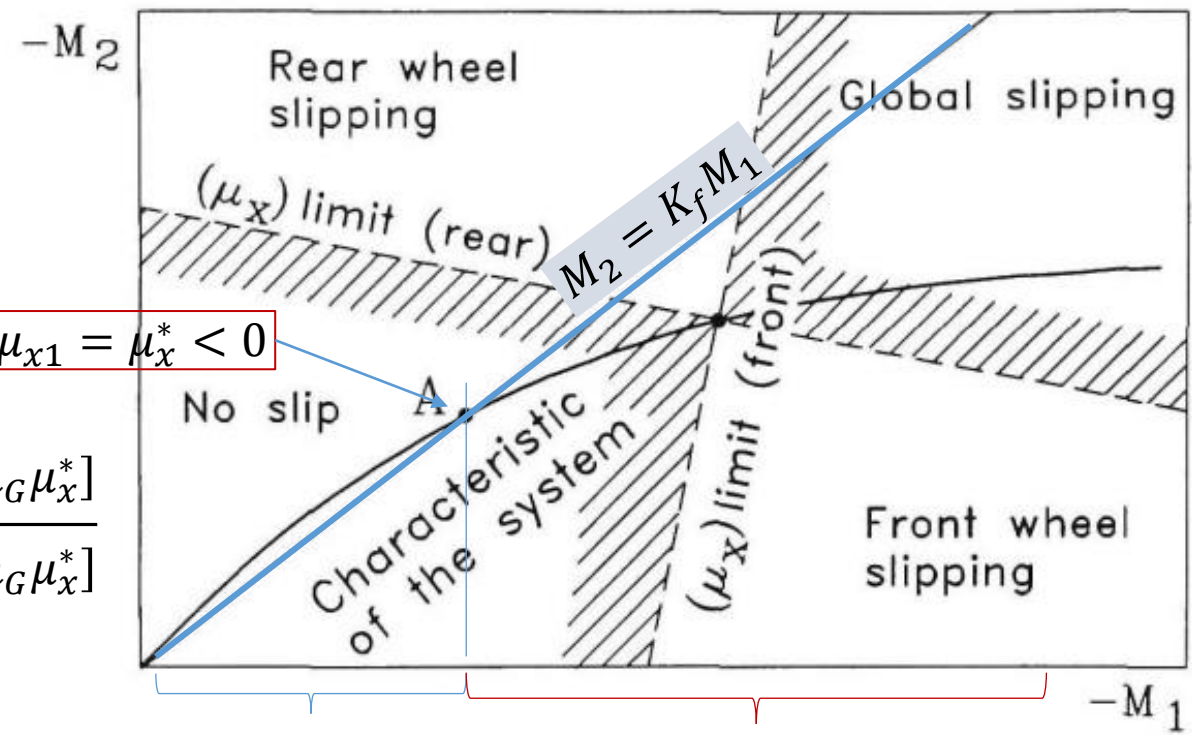
Fig. 4.29 Plots  $M_{b2}(M_{b1})$  for ideal braking. (a) typical plot for a rear drive car with low ratio  $h_G/l$ ; (b) typical plot for a front drive saloon car with higher ratio  $h_G/l$ ; (c) plot for a small front drive car, sensitive to the load conditions and with high value of ratio  $h_G/l$ .

# เบรกจริงกับเบรกในอุดมคติ

$$K_f \cong \frac{F_{x1}}{F_{x2}} = \frac{\mu_x^* \frac{mg}{l} [b + h_G \mu_x^*]}{\mu_x^* \frac{mg}{l} [a - h_G \mu_x^*]}$$

$$K_f \cong \frac{[b + h_G \mu_x^*]}{[a - h_G \mu_x^*]}$$

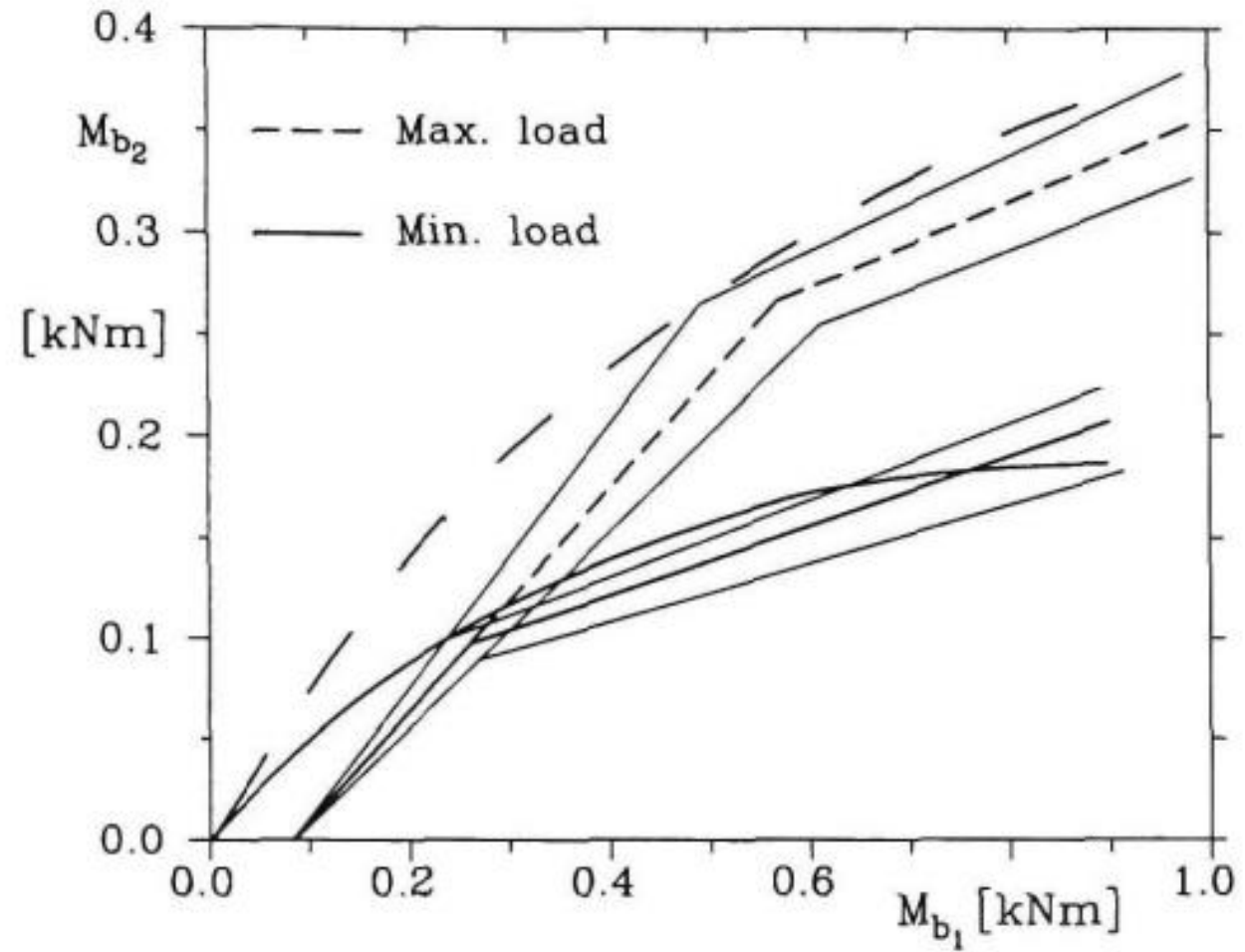
$$\mu_{x2} = \mu_{x1} = \mu_x^* < 0$$



$\mu_{x2} < \mu_{x1}$        $\mu_{x2} > \mu_{x1}$   
 ล็อคล้อหน้าก่อน      ล็อคล้อหลังก่อนหน้า  
 (ปลอดภัยกว่า)      (ไม่ปลอดภัย)

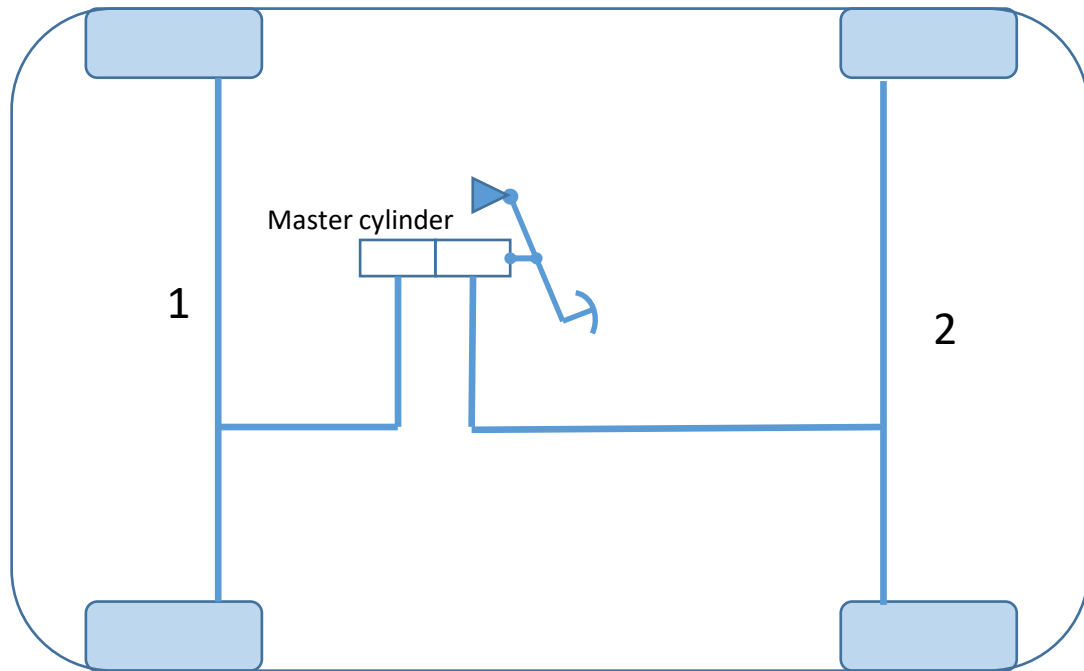
$$\eta_f = \frac{\dot{V}_{actual}}{\dot{V}_{ideal}} = \frac{\dot{V}_{actual}}{\mu_x g}$$

# เบรกหลังควบคุมโดยวาล์ว

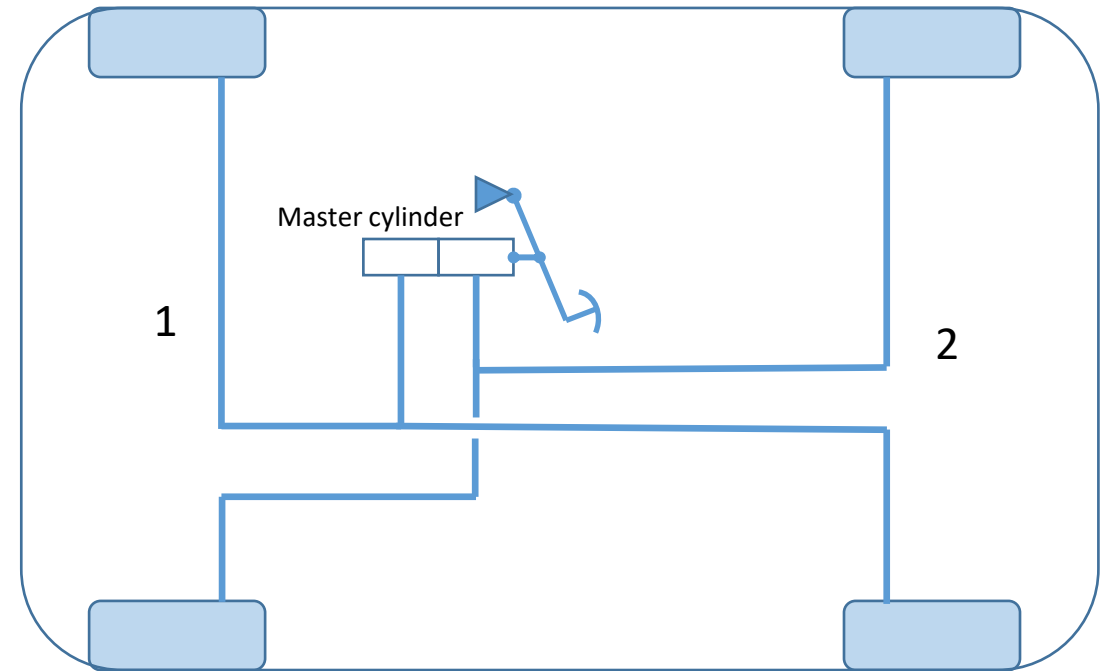




# เบรกหลังควบคุมโดยวาล์ว



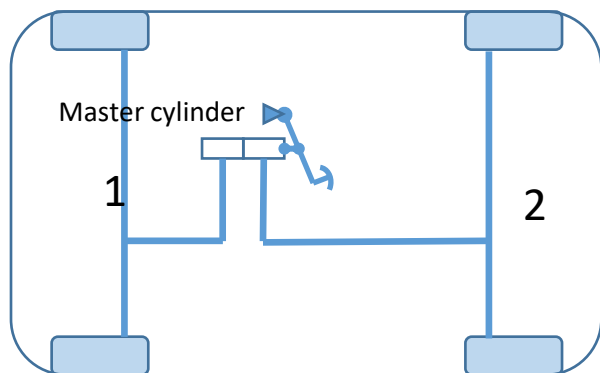
แยกหน้า/หลัง



รอยแยกในแนวทแยง

# วงจรเบรก

แยกหน้า/หลัง



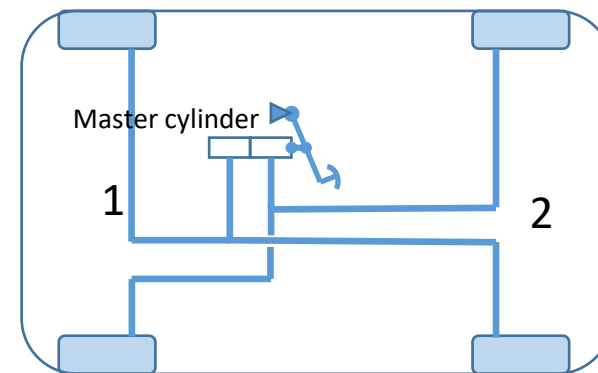
## ข้อดี

- แยกแรงบิดเบรกหน้า/หลังอย่างง่าย
- การเชื่อมต่อไฮดรอลิกที่ง่ายกว่า

## ข้อเสีย

- อาจสูญเสียเสถียรภาพของรถหากวงจรด้านหน้ามีปัญหา

รอยแยกในแนวทแยง



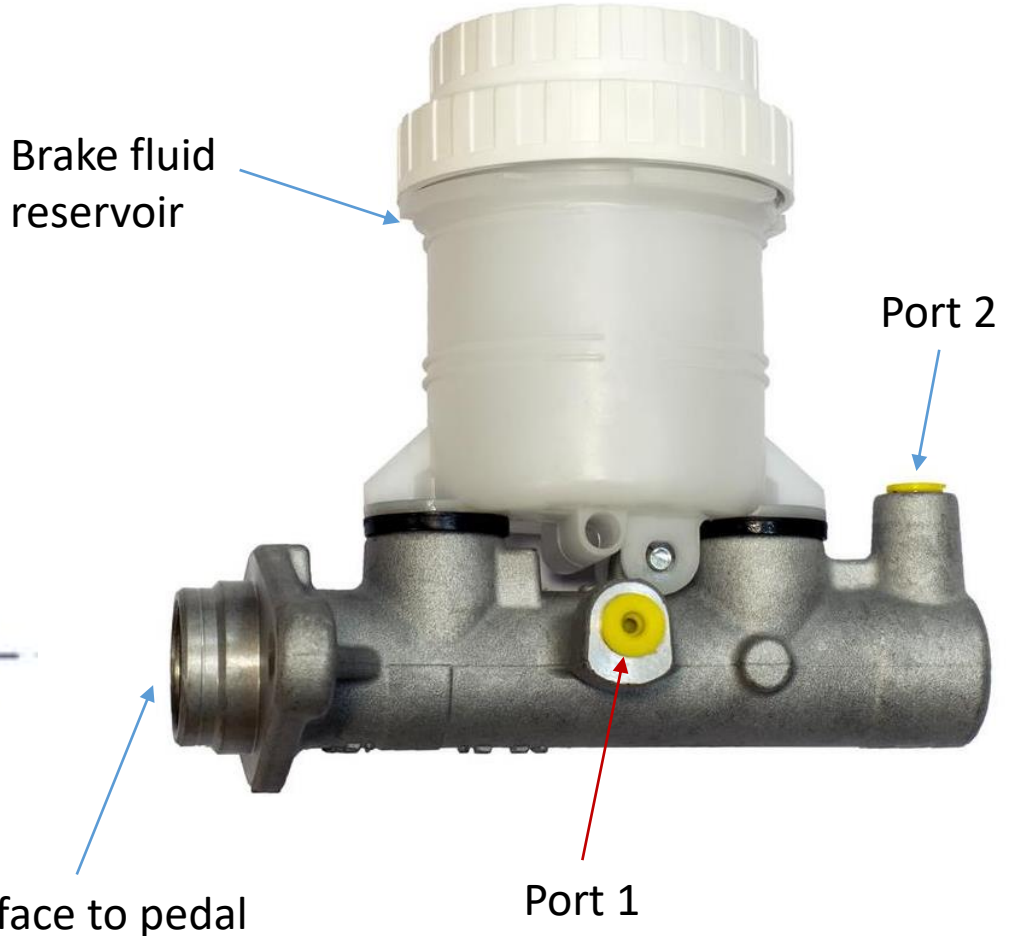
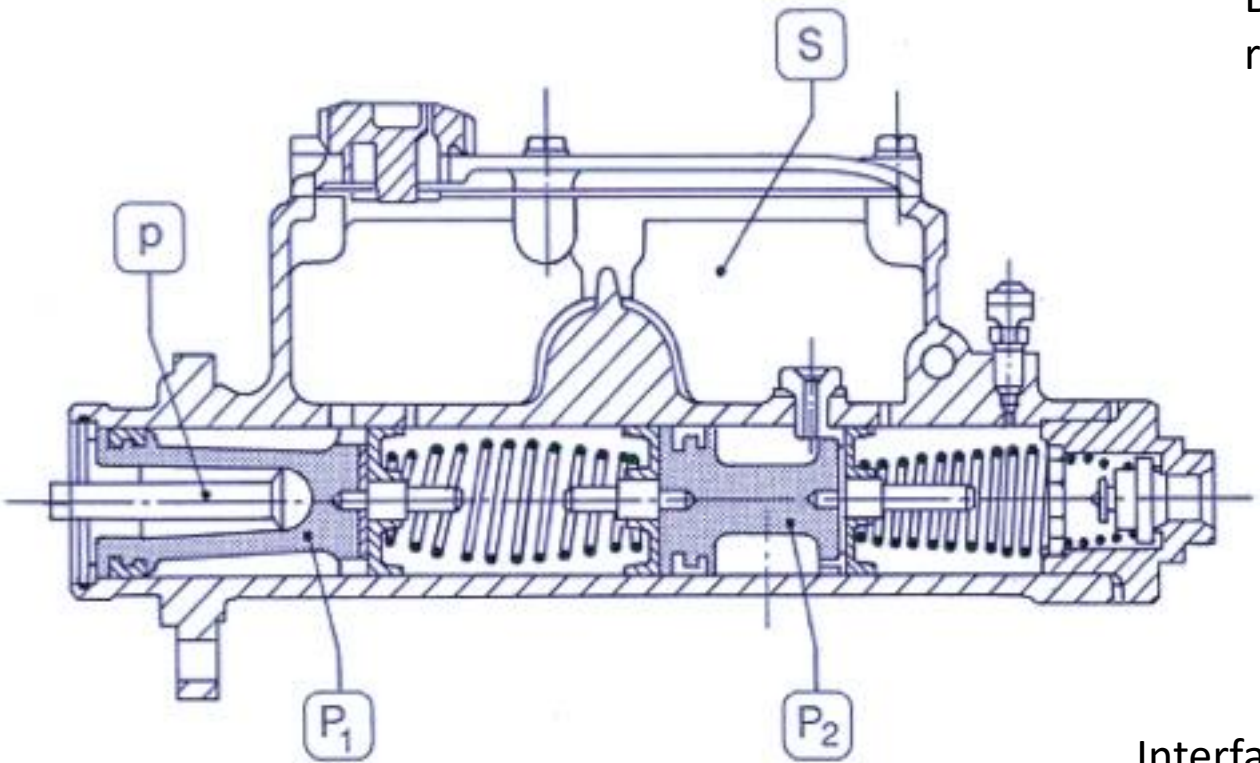
## ข้อดี

- เสถียรภาพที่ดีขึ้นในกรณีที่เกิดความล้มเหลวของวงจรเดียว

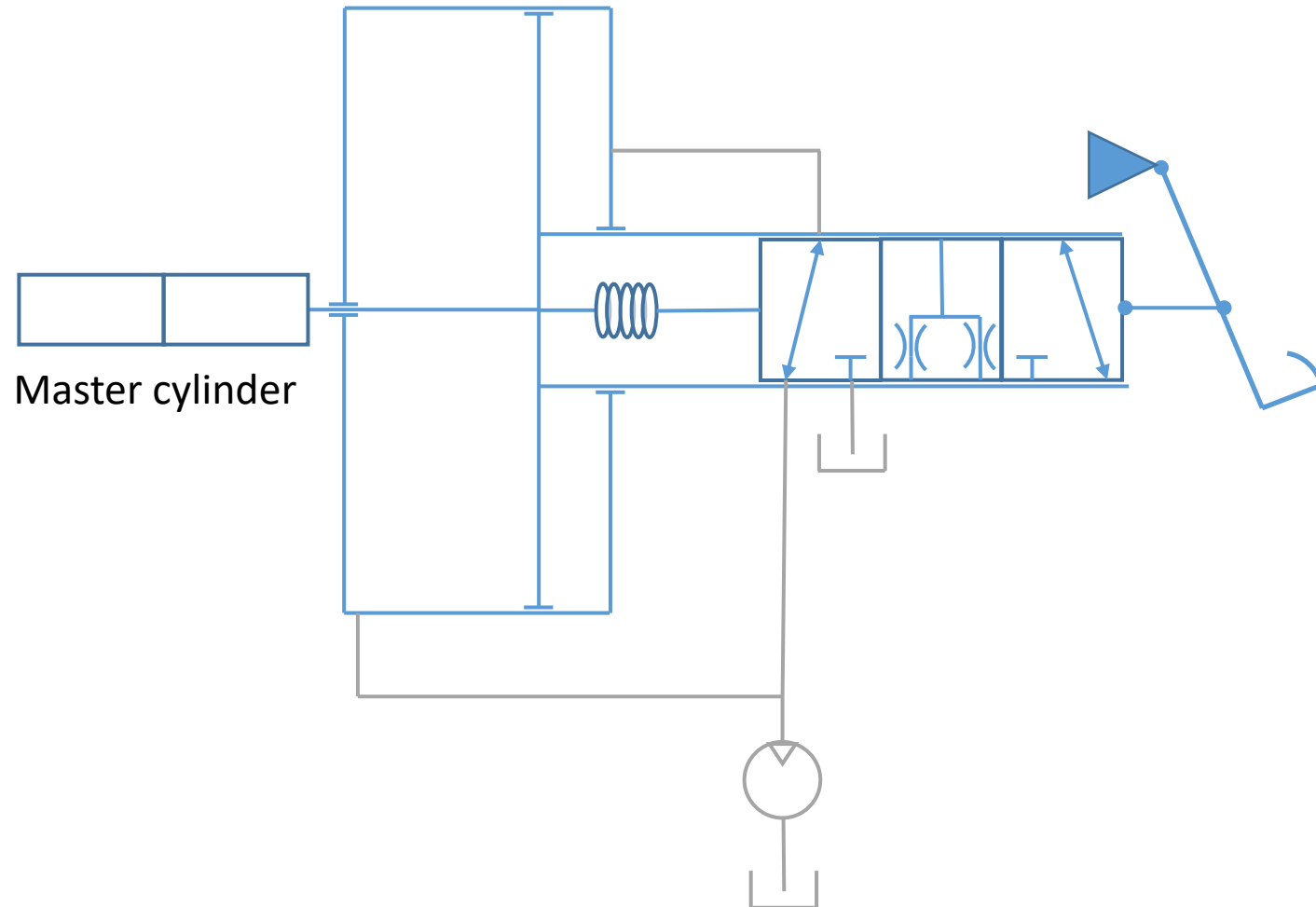
## ข้อเสีย

- วงจรไฮดรอลิกที่ซับซ้อนมากขึ้น
- แรงบิดของเบรกแยกจากการออกแบบเบรก.

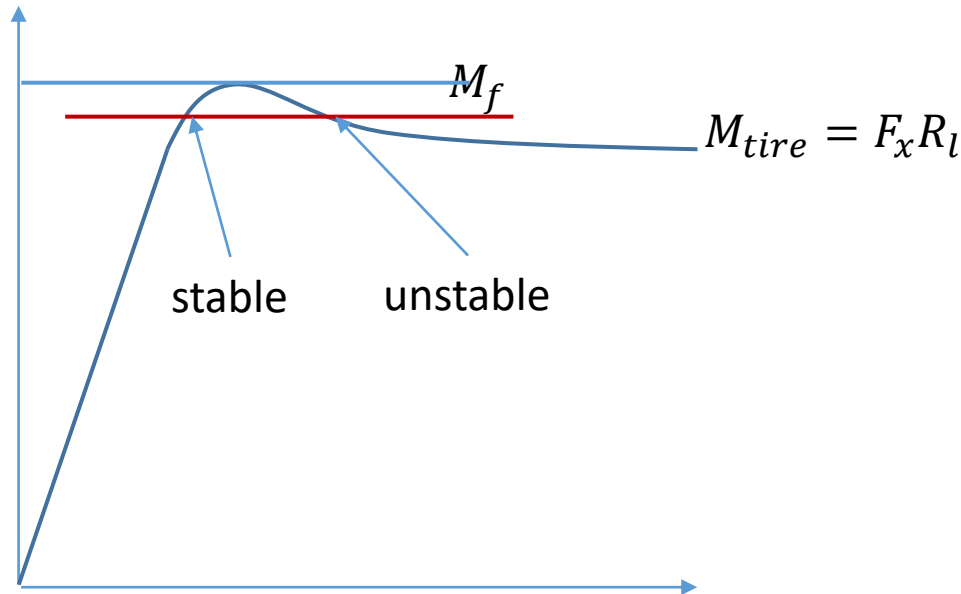
# Master cylinder



# เบรกไฟฟ้า - แผนผัง



# ระบบเบรกป้องกันล้อล็อก (ABS)



บริเวณที่มั่นคง: การเร่งความเร็วเชิงมุมของล้อสูงสุดเป็นไปตามยานพาหนะ

บริเวณที่ไม่เสถียร: การเร่งความเร็วเชิงมุมของล้อมาจากสมดุลไดนามิก

$$\dot{V} = \mu_{xmax} g$$

$$\dot{V} = R \dot{\omega}$$

$$\dot{V} = \frac{R_0 \dot{\omega}}{1 + \sigma}$$

$$\dot{\omega} = \frac{\mu_{xmax} g (1 + \sigma)}{R_0}$$

$$\dot{\omega} = 47 \frac{rad}{s^2}$$

$$I_{wheel} \dot{\omega} = M_f - M_{tire}$$

If, for example

$$M_f = \mu_{xmax} F_z R_l$$

$$M_{tire} = 0.8 \mu_{xmax} F_z R_l$$

$$\dot{\omega} = \frac{0.2 \mu_{xmax} F_z R_l}{I_{wheel}}$$

$$\dot{\omega} = 288 \frac{rad}{s^2}$$

$$\mu_{xmax} = 1.2$$

$$\sigma = 0.2$$

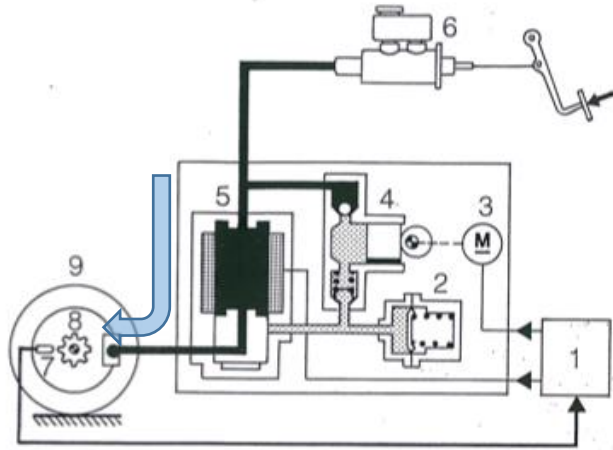
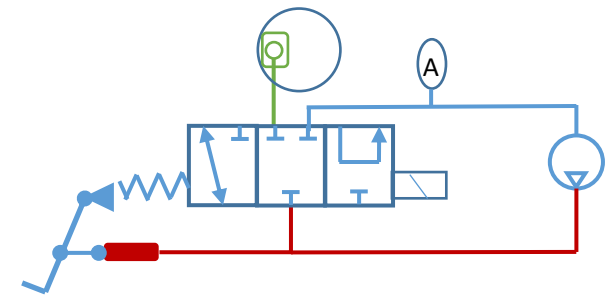
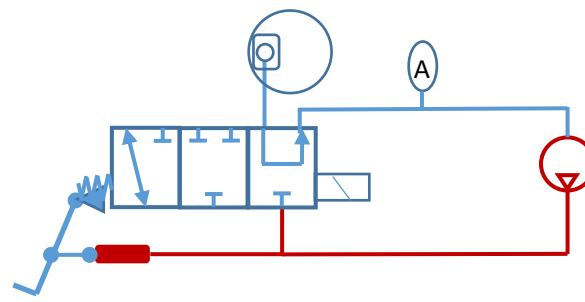
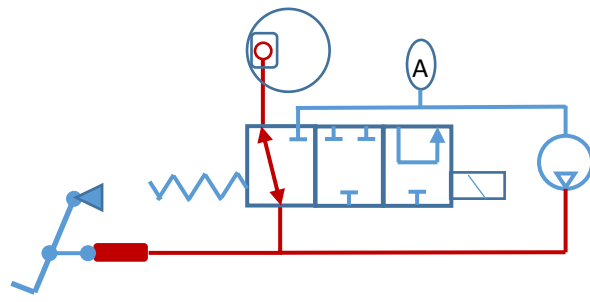
$$R_0 \cong R_l = 0.3 \text{ m}$$

$$F_z = 4 \text{ kN}$$

$$I_{wheel} = 1 \text{ kg m}^2$$

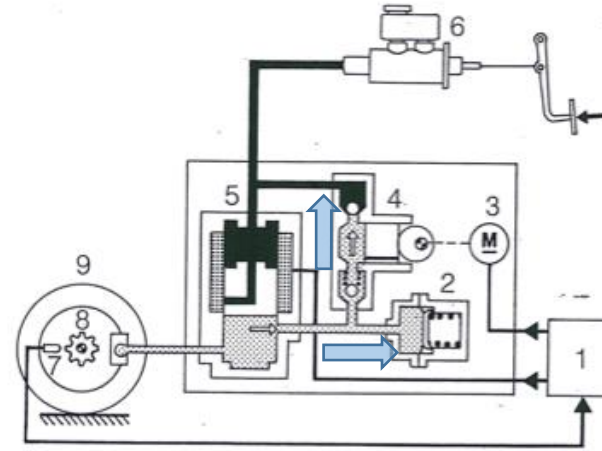


# ABS



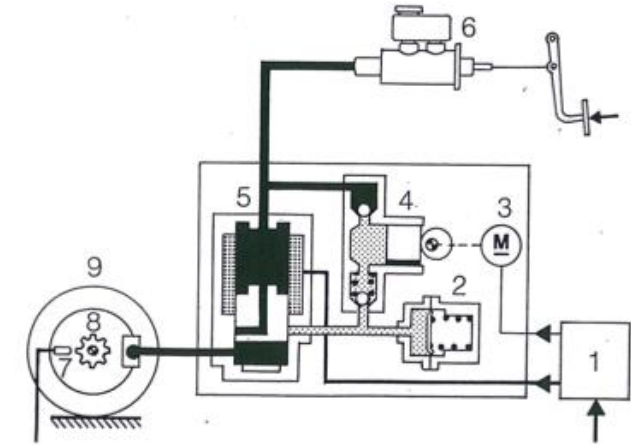
Off

แรงดันกระบอกสูบหลักจะขยายไปยังเบรก



Reduce

กระบอกสูบหลักแยกออกจากเบรกเบรกเชื่อมต่อกับตัวสะสม (2) น้ำมันเบรกถูกสูบ (4) ไปทางด้านแรงดันสูงเพื่อคืนปริมาตรที่สูญเสียไป



Hold

กระบอกสูบหลักแยกออกจากเบรกตัวสะสมถูกแยกออก (2) น้ำมันปิด (4)

# การจำลองเบรก CarSim



หน้าต่าง *CarSim* ให้เลือกรุ่นแรงขณะเบรก

[No linked library]  
 ✓ Control: Braking MC Pressure (Open Loop)  
 Control: Braking Pedal Force (Open Loop)  
 External PARSFILE

**Brake Torque at Wheel**

Front Torque/pressure coef. 650 N-m/MPa

Rear Torque/pressure coef. 320 N-m/MPa

**Delivery Pressure**

Front Delivery/line pressure ratio 1

Rear Delivery/line pressure ratio 1

**Fluid Dynamics**

Front fluid dynamics time constant: 0.06 s

Rear fluid dynamics time constant: 0.06 s

Front fluid dynamics transport delay: 0 s

Rear fluid dynamics transport delay: 0 s

การประยุกต์ใช้แรงบิดเบรกคงที่

**Brake Torque at Wheel**

Front Torque as nonlinear function of pressure  
 ZER front #1

Rear Torque as nonlinear function of pressure  
 ZER rear #2

**Delivery Pressure**

Front Delivery/line pressure ratio 1

Rear Delivery/line pressure ratio 1

**Fluid Dynamics**

Front fluid dynamics time constant: 0.06 s

Rear fluid dynamics time constant: 0.06 s

Front fluid dynamics transport delay: 0 s

Rear fluid dynamics transport delay: 0 s

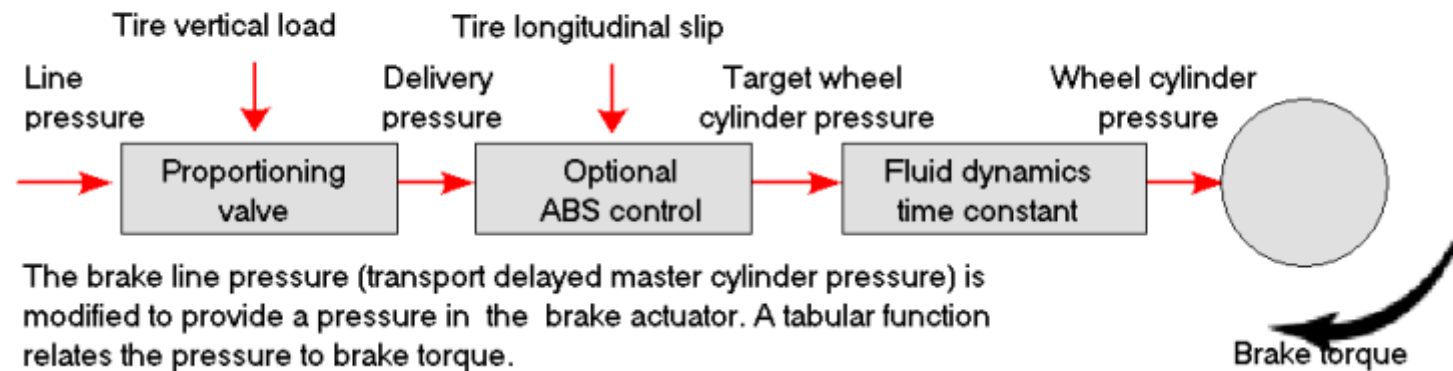
การประยุกต์ใช้แรงบิดเบรกแบบแปรผัน

M1[Nm]	M2[Nm]
0	0
-45,481935	-30,9950967
-93,07931	-63,4318258
-142,94323	-97,4131611
-195,23953	-133,052122
-246,52527	-147,49692
-302,40433	-163,23544
-360,82335	-179,689348
-421,95954	-196,908554
-486,00697	-214,947721
-553,17866	-233,866849

ค่าแรงบิดเบรกที่แกนหน้าและหลัง

# การจำลองเบรก CarSim

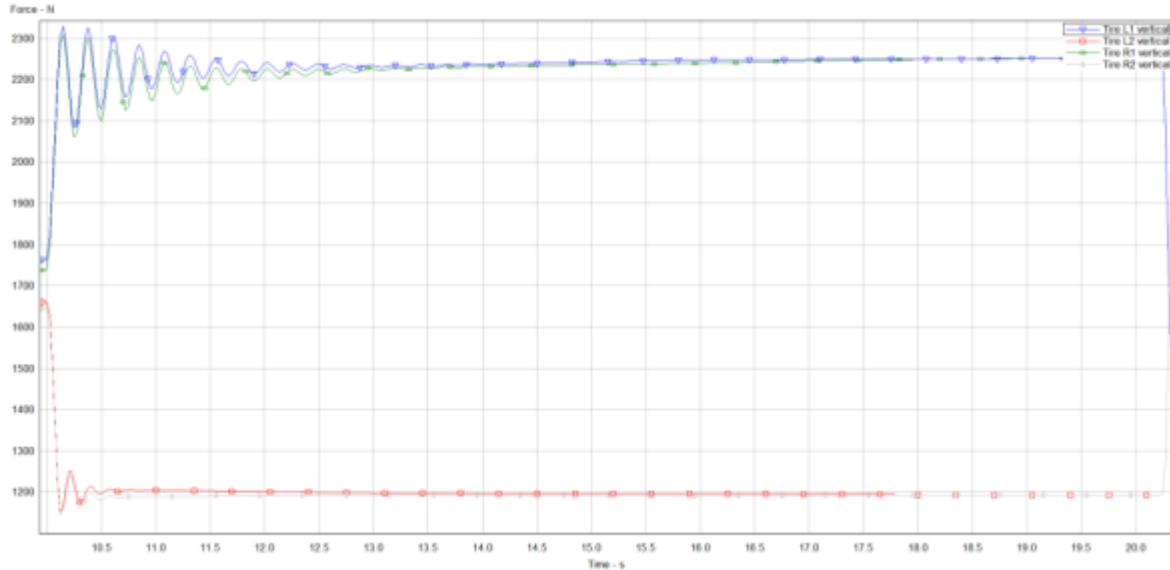
## Overview of brake system for one wheel



หลักการทำงานของ *CarSim* เกี่ยวกับระบบเบรก

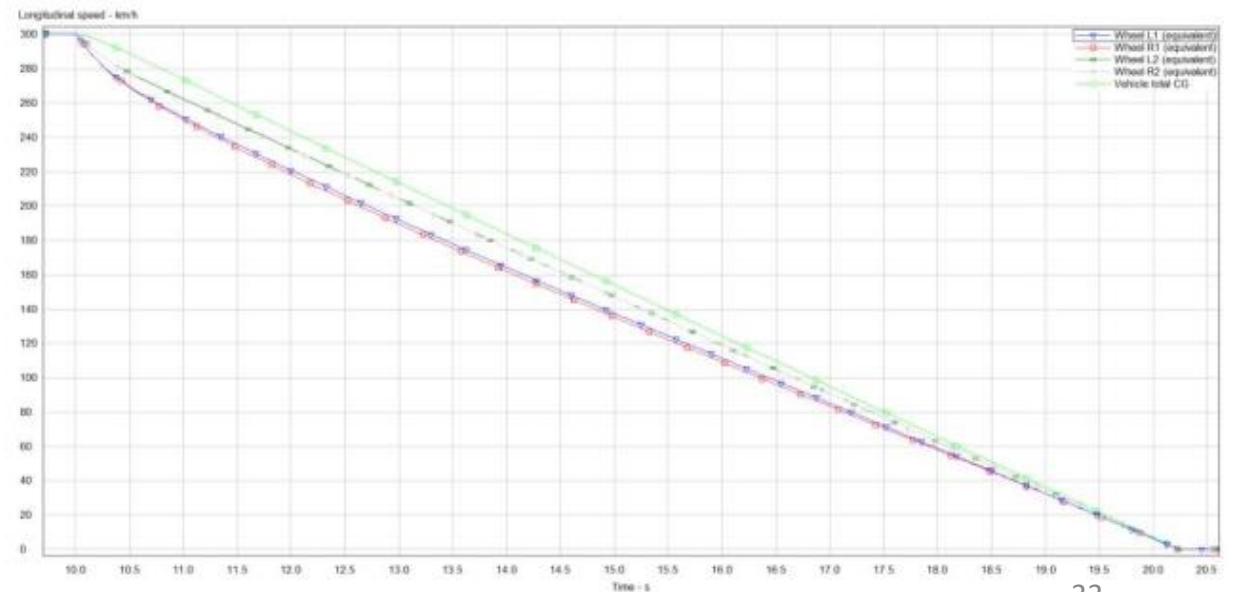


# การจำลองเบรก CarSim



แรงตามยาวบนยาง

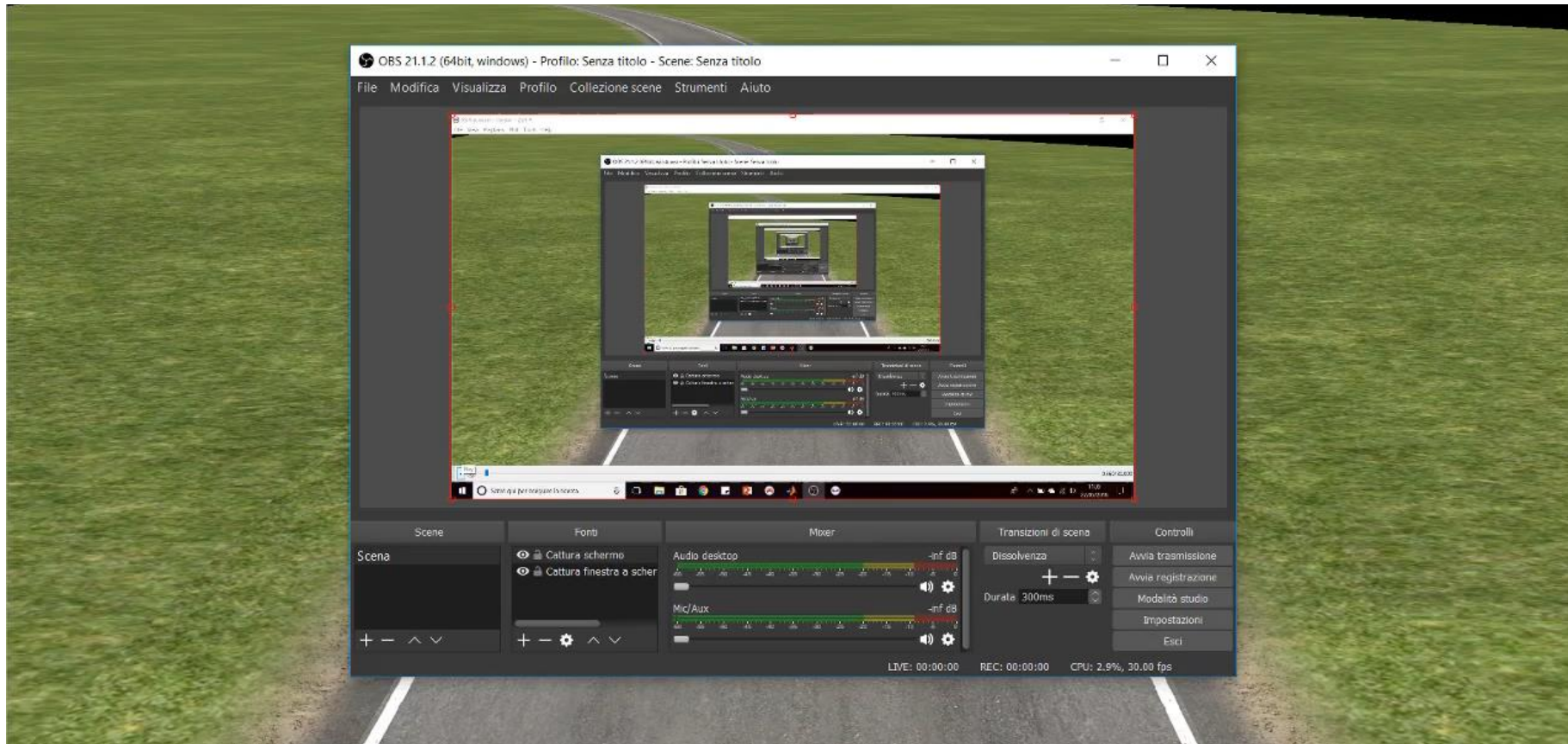
ผลจากการเบรกแบบตรง (ครึ่ง)



# วิดีโอจำลองการซ้อมรบเบรก



เบรกรถยนต์จาก 300 กม./ชม. จนถึงหยุดเต็มในที่สนามทดสอบ Nardo



Co-funded by the  
Erasmus+ Programme  
of the European Union

รถเริ่มเบรกหลังจาก 10 วินาที

# ช่อง 4 และ 5: ไดนามิกแนวตั้ง

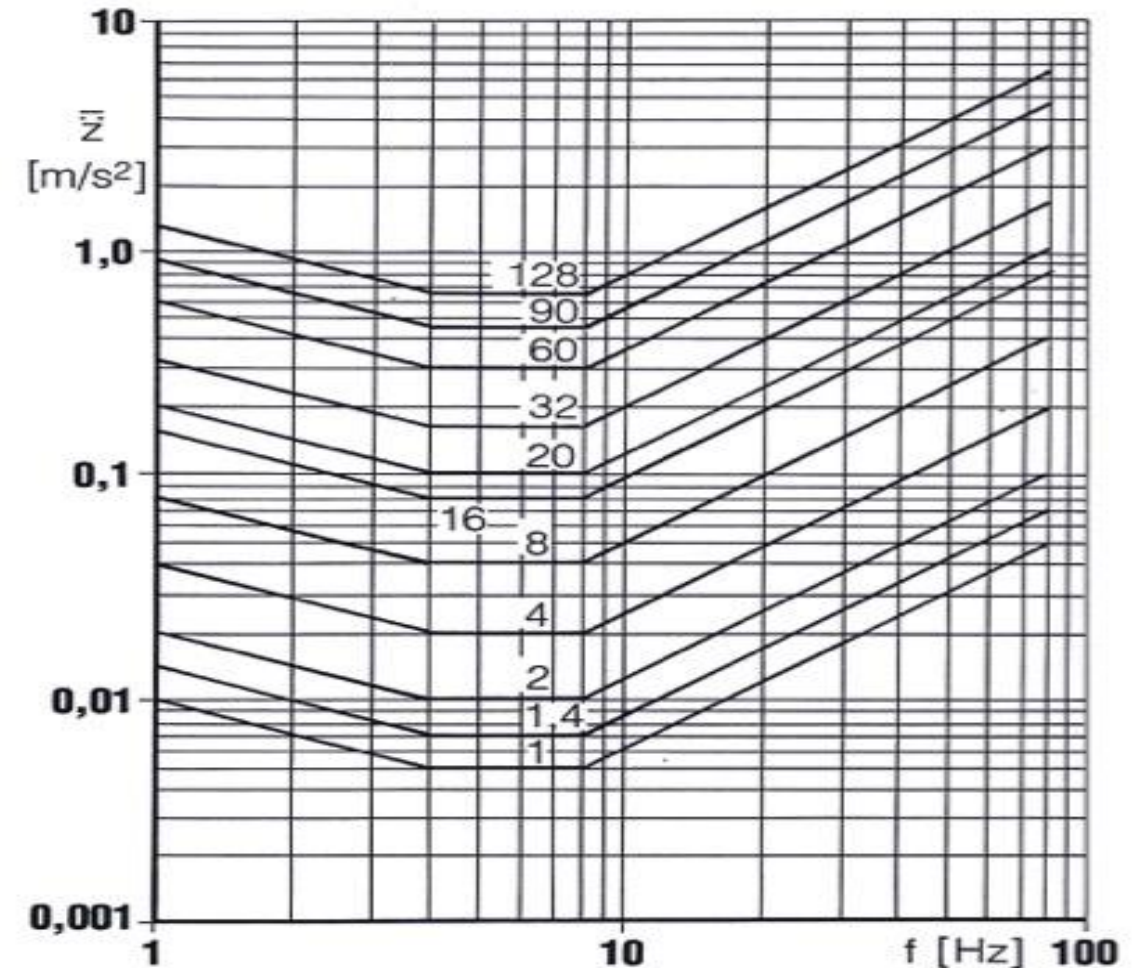
- ไดนามิกแนวตั้งของยานพาหนะ
- รั้วของคิลปะของระบบลดแรงสั่นสะเทือนแบบพาสซีฟกึ่งแอคทีฟและแอคทีฟ
- Roll motion

# ไดนามิกแนวตั้งของยานพาหนะ



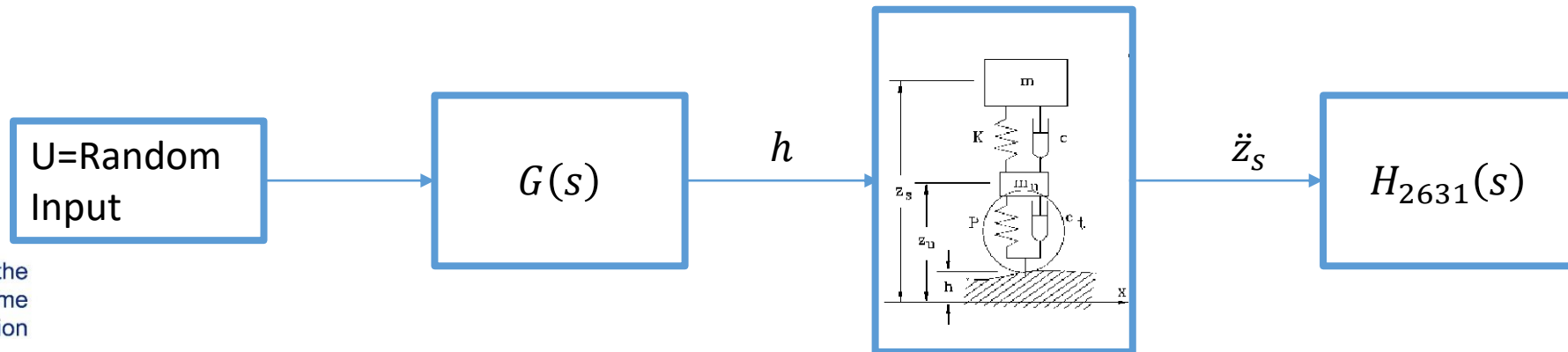
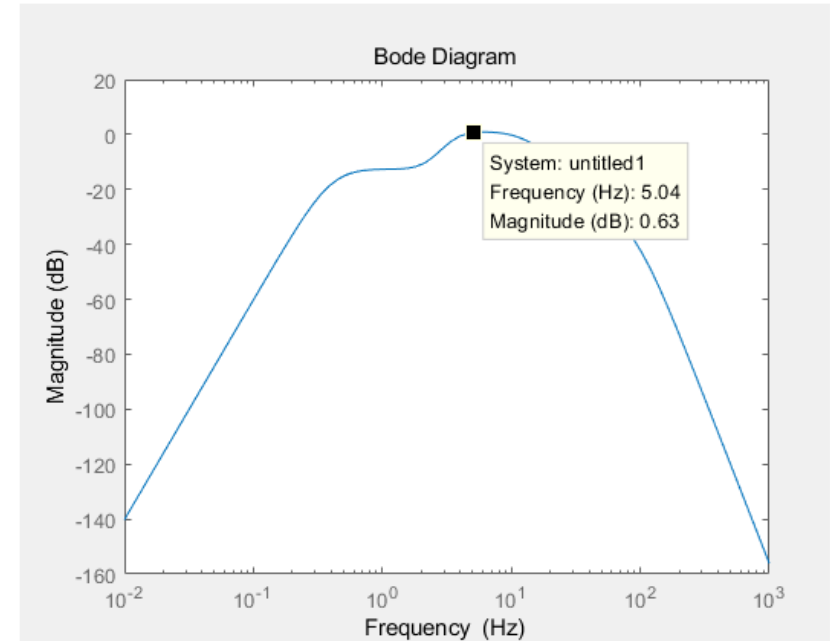
# ISO 2631 vibration comfort

- ร่างกายมนุษย์ตอบสนองต่อการสั่นสะเทือนแตกต่างกันไปขึ้นอยู่กับความถี่.
- ช่วงระหว่าง 4 ถึง 8 Hz แสดงความไวสูงสุด.
- ISO 2631 ระบุถึงฟังก์ชันความไวต่อแรงสั่นสะเทือนที่ช่วยให้พิจารณาสิ่งนี้ได้

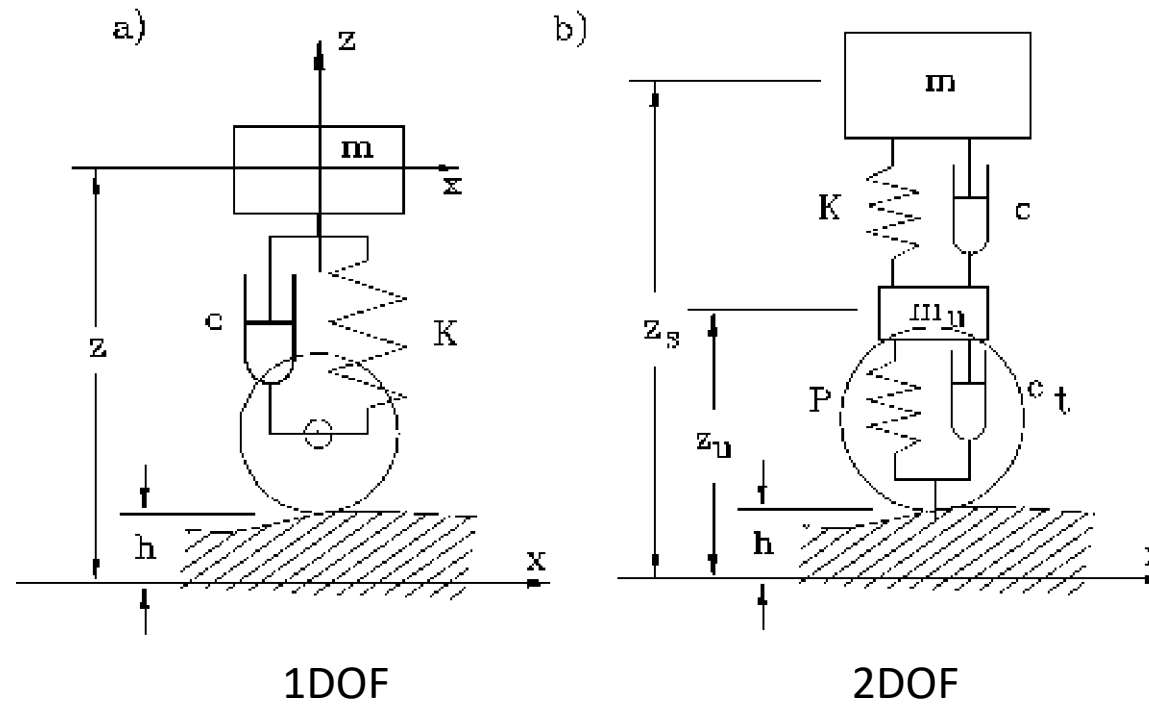


# ISO 2631 vibration comfort

$$H_{2631}(s) = \frac{80.03s^2 + 989s + 0.02108}{s^3 + 78.92s^2 + 2412s + 5614}$$



# Quarter car models



# 1DOF quarter car model response

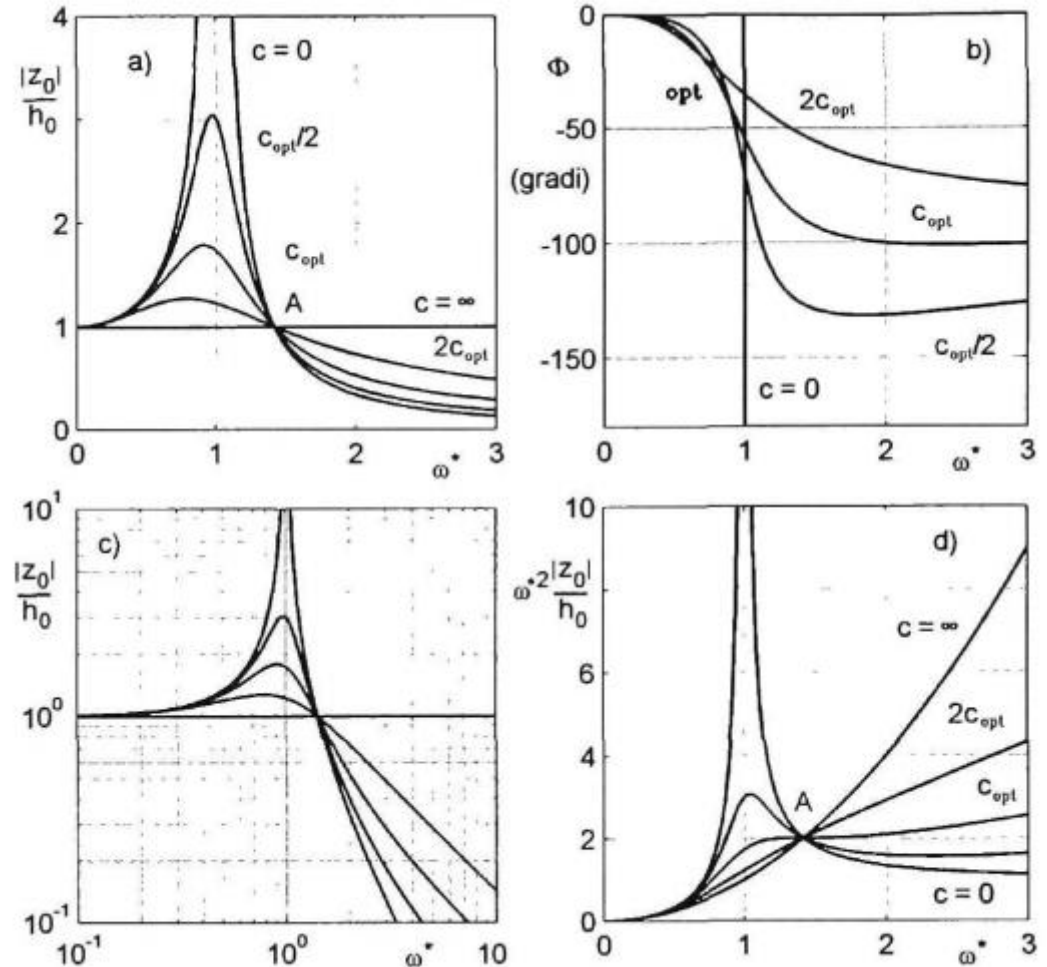
$$m\ddot{z} + c\dot{z} + Kz = c\dot{h} + Kh,$$

$$\left\{ \begin{array}{l} \frac{|z_0|}{|h_0|} = \sqrt{\frac{K^2 + c^2\omega^2}{(K - m\omega^2)^2 + c^2\omega^2}} \\ \Phi = \arctan\left(\frac{-cm\omega^3}{K(K - m\omega^2) + c^2\omega^2}\right) \end{array} \right.$$

$$c_{opt} = \sqrt{\frac{Km}{2}} = c_{cr} \frac{1}{2\sqrt{2}},$$

$$c_{cr} = 2\sqrt{Km}$$

$$F_z = c(\dot{z} - \dot{h}) + K(z - h) - m\ddot{z}$$





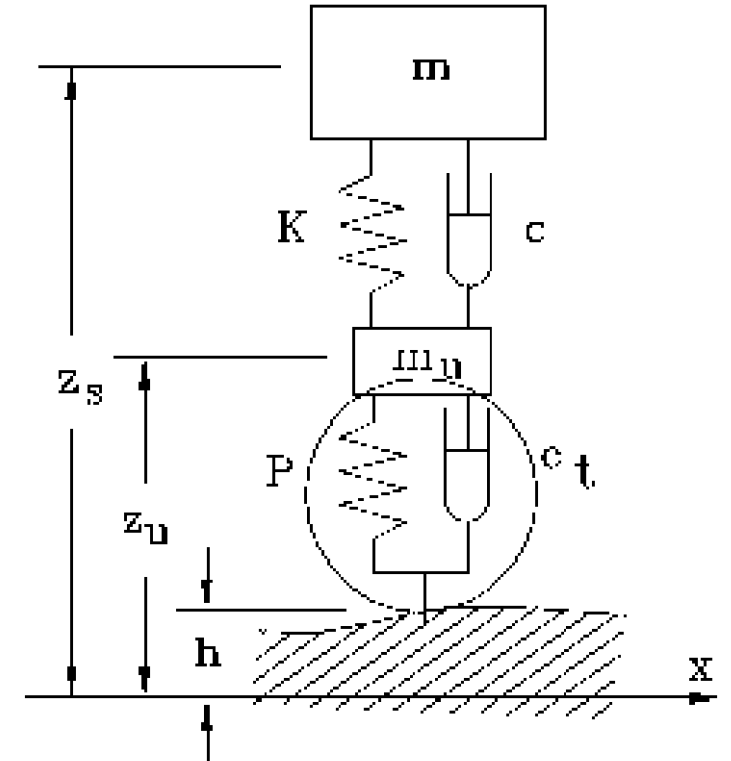
# 2 DOF quarter car model response

$$\begin{bmatrix} m_s & 0 \\ 0 & m_u \end{bmatrix} \begin{Bmatrix} \ddot{z}_s \\ \ddot{z}_u \end{Bmatrix} + \begin{bmatrix} c & -c \\ -c & c + c_t \end{bmatrix} \begin{Bmatrix} \dot{z}_s \\ \dot{z}_u \end{Bmatrix} + \begin{bmatrix} K & -K \\ -K & K + P \end{bmatrix} \begin{Bmatrix} z_s \\ z_u \end{Bmatrix} = \begin{Bmatrix} 0 \\ c_t \dot{h} + Ph \end{Bmatrix},$$

$$\begin{cases} \frac{|z_{s0}|}{|h_0|} = P \sqrt{\frac{K^2 + c^2 \omega^2}{f^2(\omega) + c^2 \omega^2 g^2(\omega)}} \\ \frac{|z_{u0}|}{|h_0|} = P \sqrt{\frac{(K - m \omega^2)^2 + c^2 \omega^2}{f^2(\omega) + c^2 \omega^2 g^2(\omega)}} \end{cases},$$

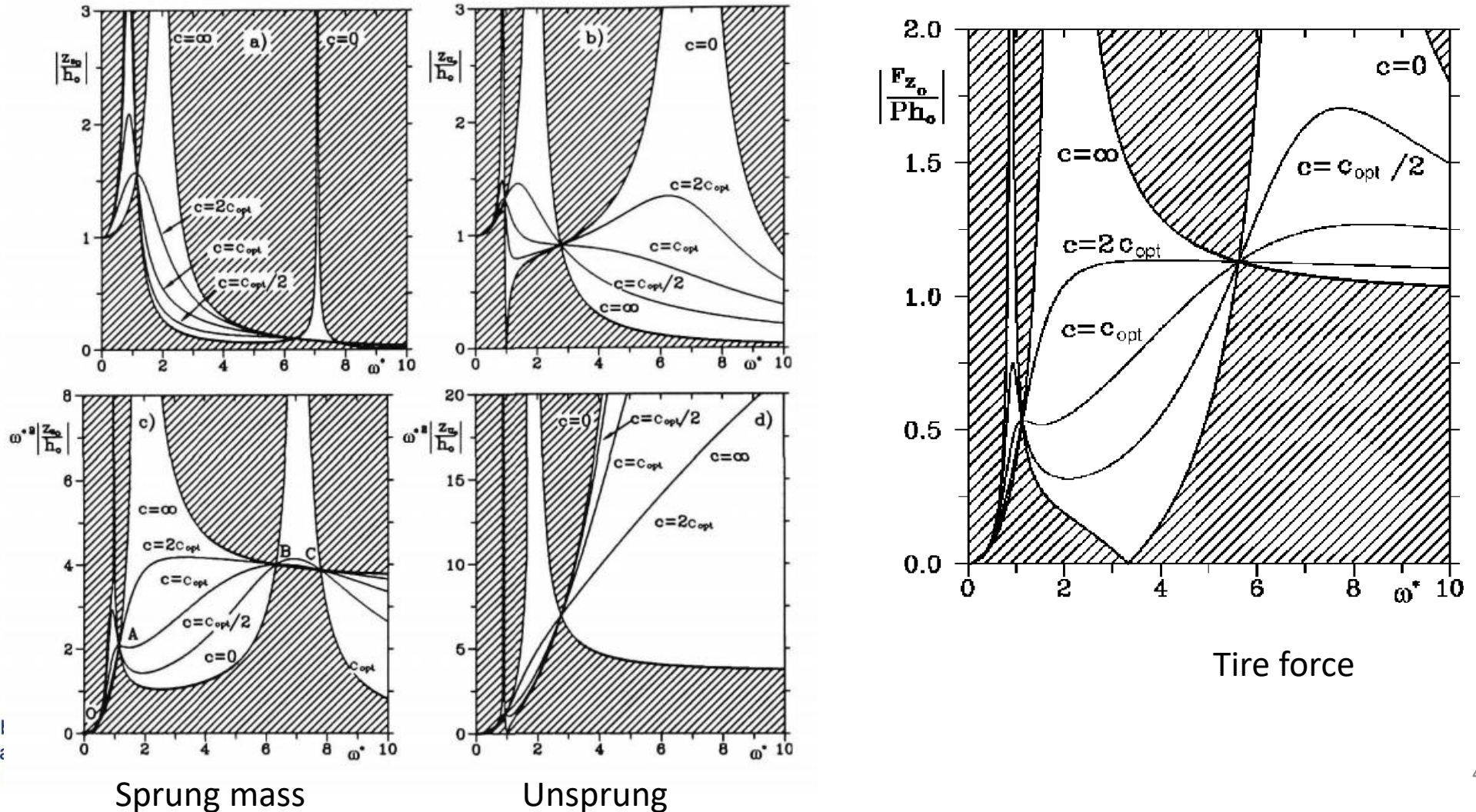
$$c_{opt} = \sqrt{\frac{Km}{2}} \sqrt{\frac{P + 2K}{P}}$$

$$\begin{cases} f(\omega) = m_s m_u \omega^4 - [P m_s + K(m_s + m_u)] \omega^2 + KP \\ g(\omega) = (m_s + m_u) \omega^2 - P \end{cases}$$

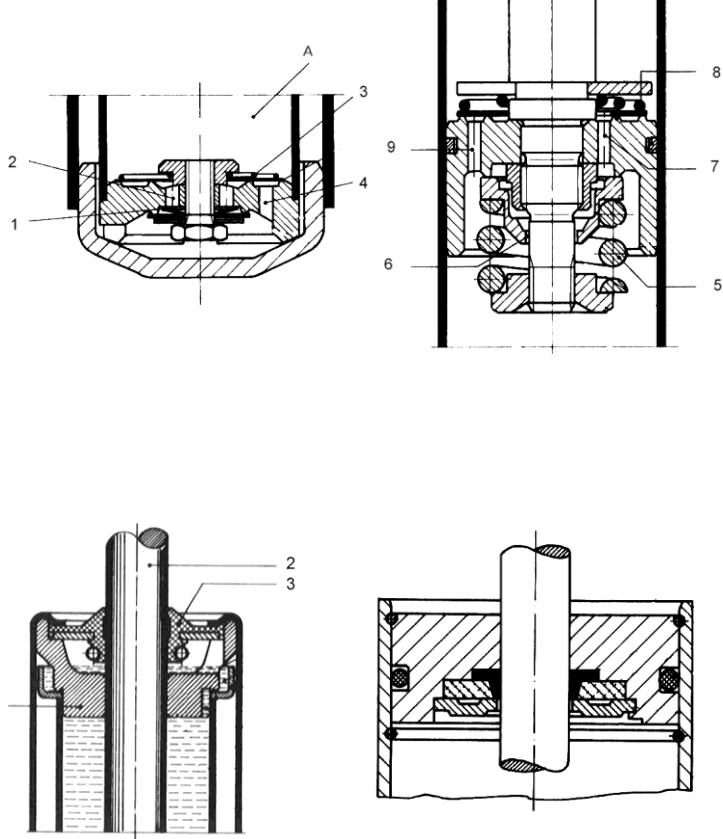
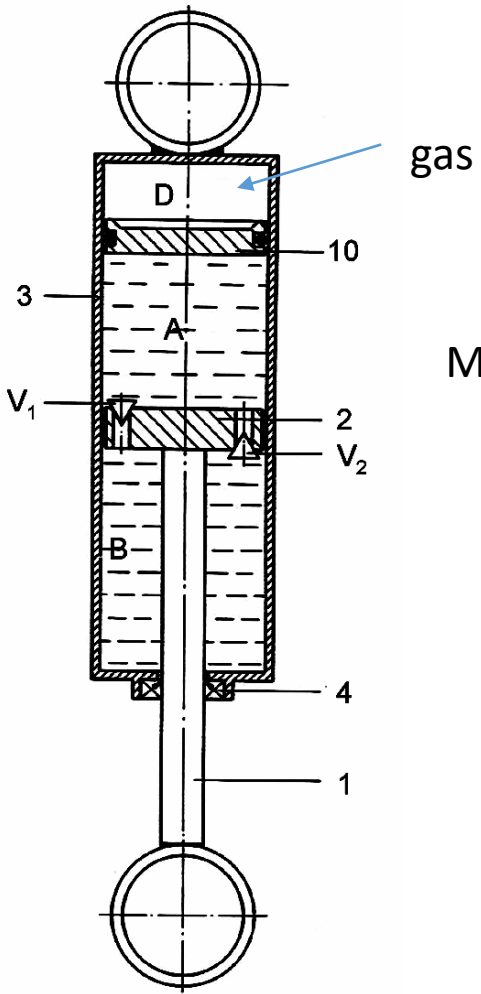
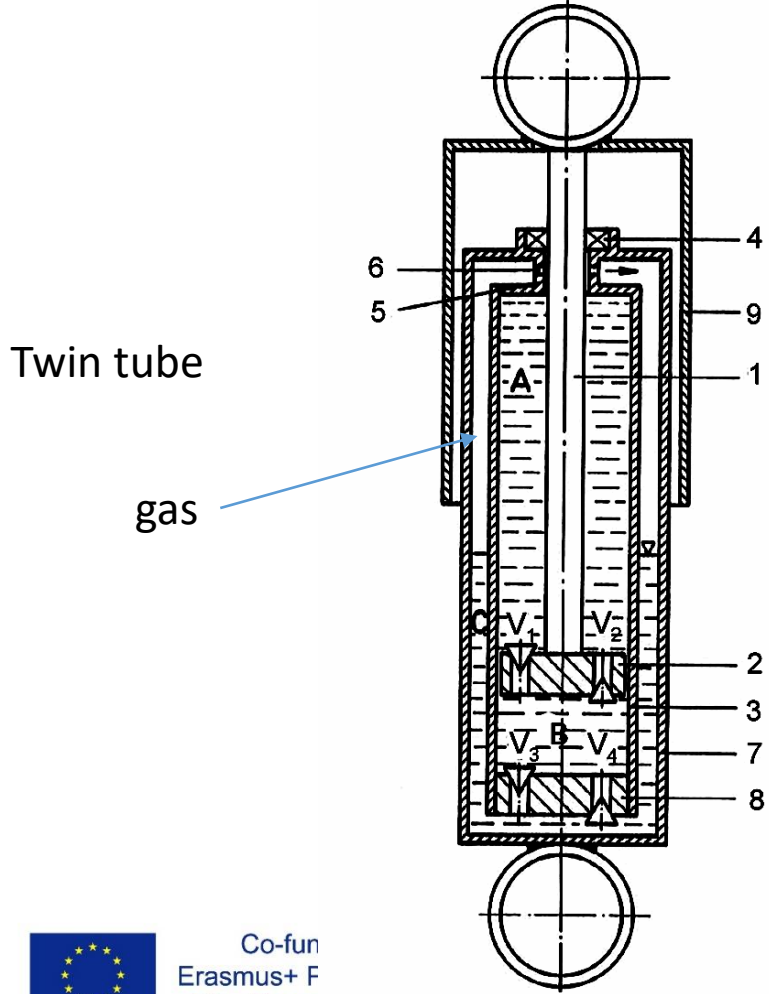


$$\frac{|F_{z_0}|}{|h_0|} = P \omega^2 \sqrt{\frac{[K(m_s + m_u) - m_s m_u \omega^2]^2 + c^2(m_s + m_u) \omega^2}{f^2(\omega) + c^2 \omega^2 g^2(\omega)}}$$

# 2 DOF quarter car model response

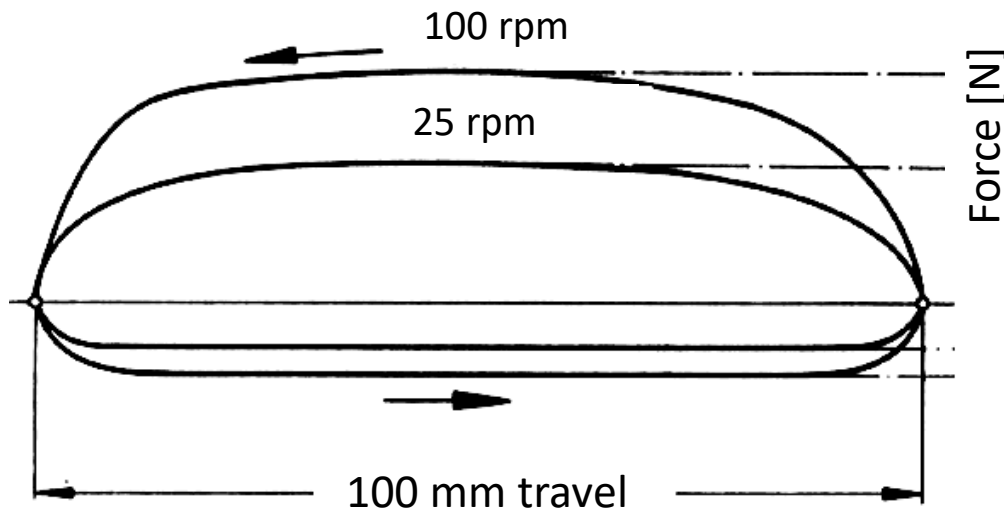


# Dampers

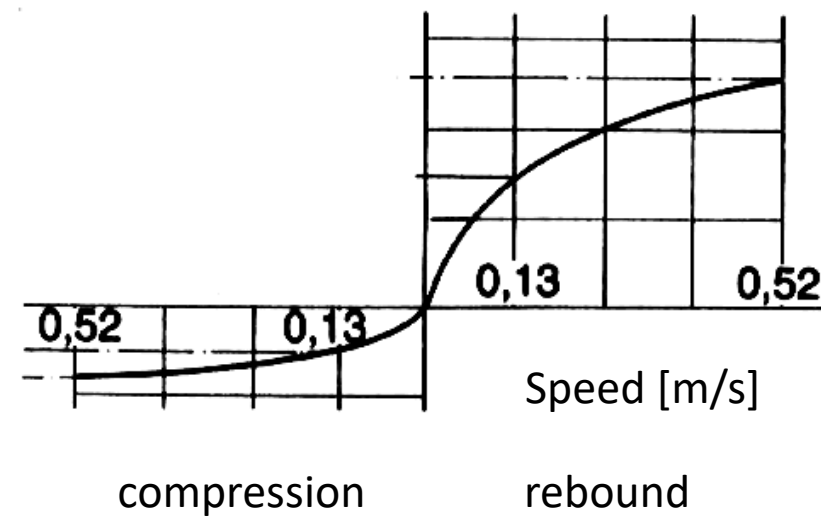


# Damper characterization

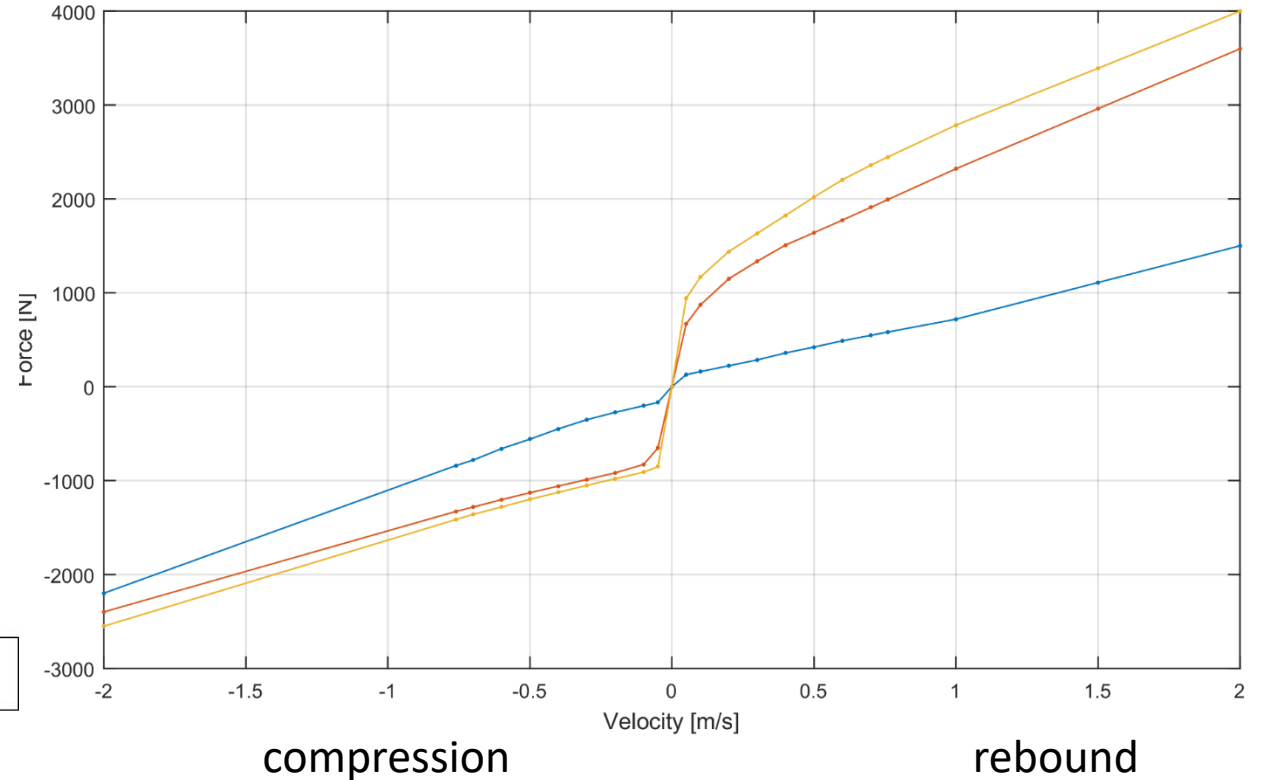
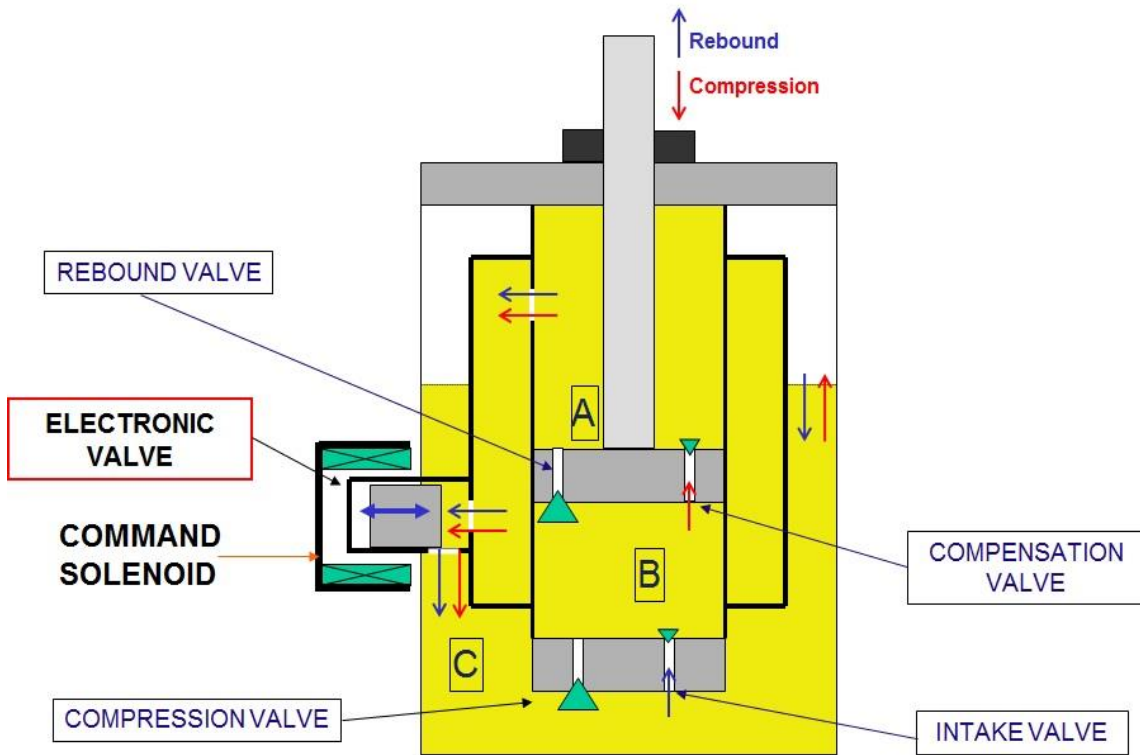
Force – travel diagram



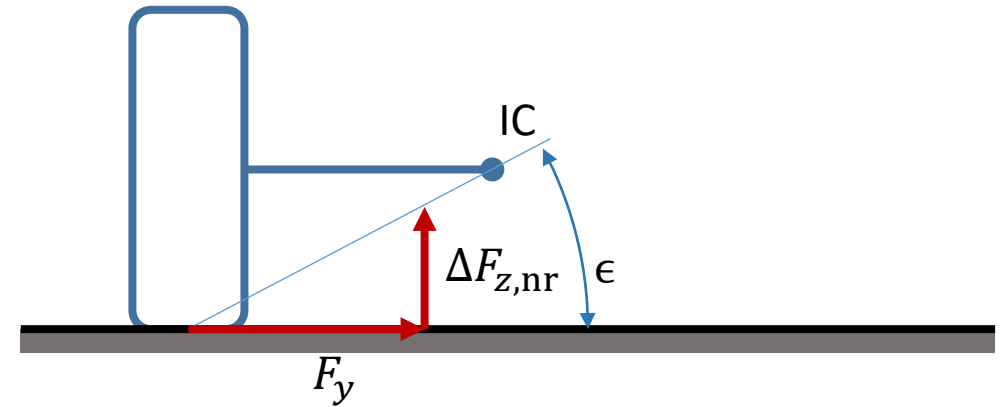
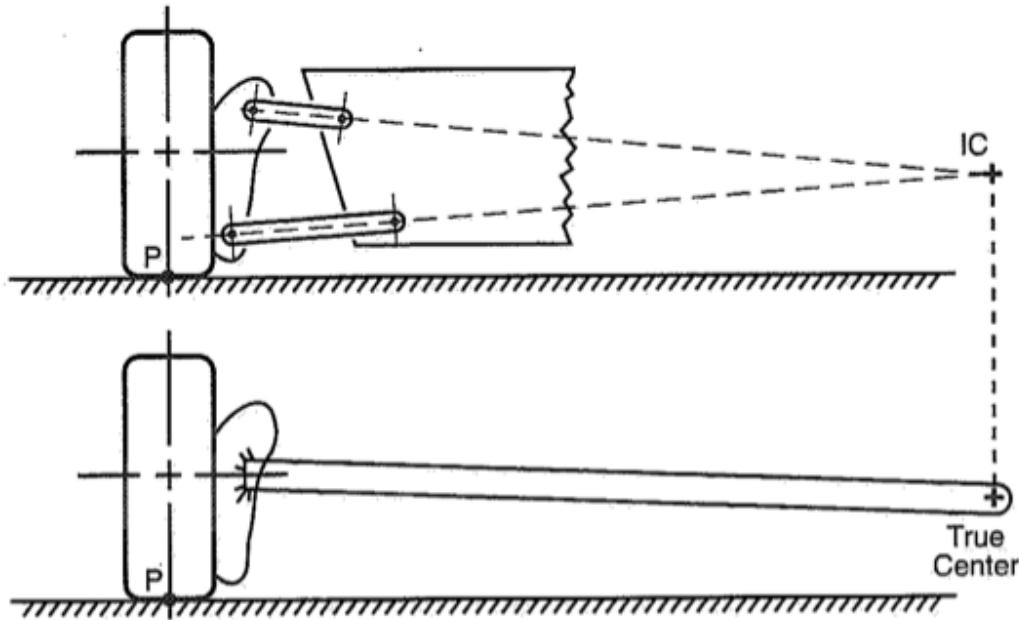
Force-speed diagram



# Three tube – continuous damping control



# Suspension kinematics – Instant center

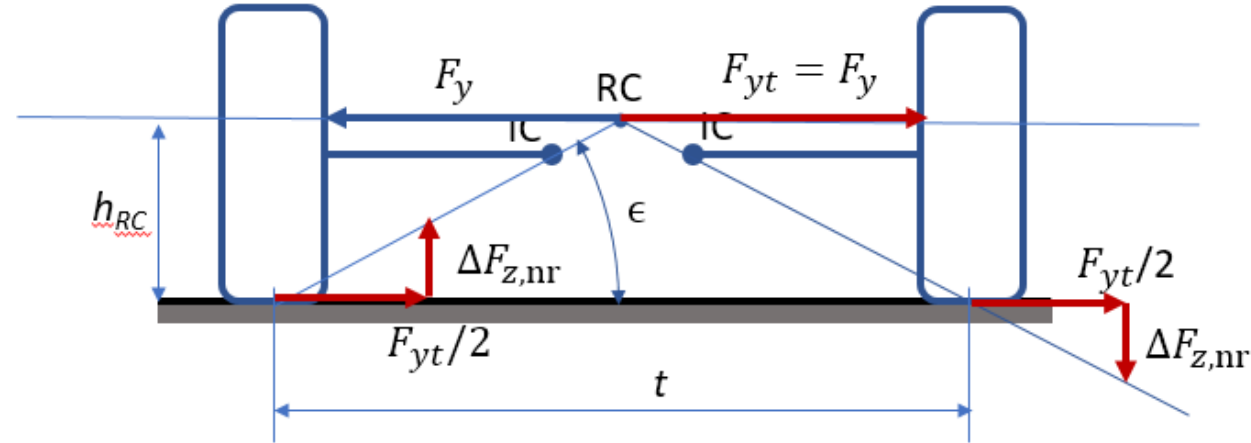


เอฟเฟกต์แรงผลัก

หากผลการเปลี่ยนแปลงของแรงยาง  $(F_y, \Delta F_{z,nr})$  ผ่าน IC, ระบบกันสะเทือนจะไม่เบี่ยง การถ่ายโอนโหลด  $\Delta F_{z,nr}$  เรียกว่า การถ่ายโอนโหลดแบบ "ไม่กลิ้ง"

$$\Delta F_{z,nr} = F_y \tan \epsilon$$

# Roll center height



Due to roll torque balance

$$F_y h_{RC} = \Delta F_{z,nr} t$$

Therefore

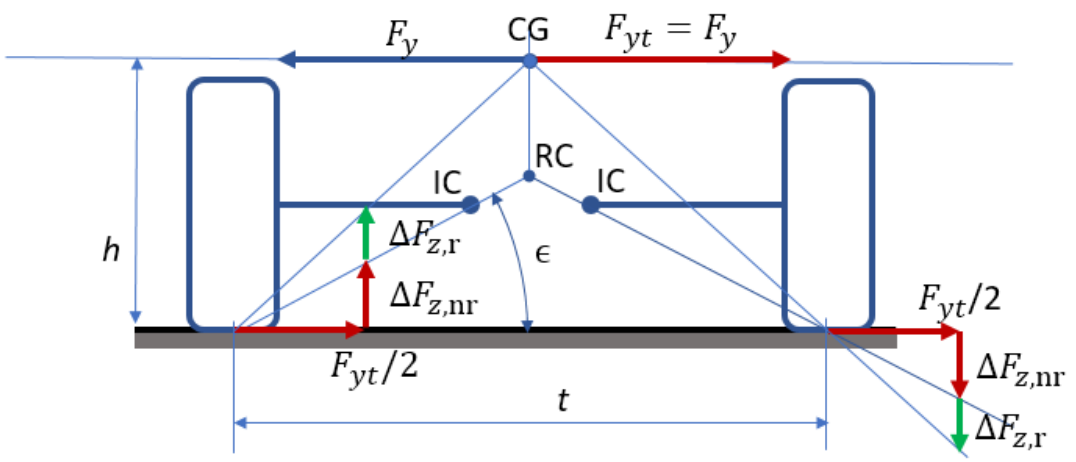
$$\frac{\Delta F_{z,nr}}{F_y} = \frac{h_{RC}}{t}$$

And

$$\tan \epsilon = \frac{h_{RC}}{t/2} = \frac{\Delta F_{z,nr}}{F_y/2}$$

If the lateral force acts on RC the tire forces pass through the IC. The suspensions do not deform. The load transfer is indicated as non rolling.

# Roll center height



In general the lateral force acts on the CG that is not located in the RC. Due to roll torque balance

$$F_y h = (\Delta F_{z,r} + \Delta F_{z,nr}) t$$

Therefore

$$\frac{(\Delta F_{z,r} + \Delta F_{z,nr})}{F_y} = \frac{h}{t}$$

And

$$\Delta F_{z,r} = F_y \frac{h}{t} - \Delta F_{z,nr} = F_y \frac{h}{t} - \frac{F_y}{2} \tan \epsilon = \frac{F_y}{t} (h - h_{RC})$$

The deformation of the suspension is just related to the rolling contribution to the load transfer.

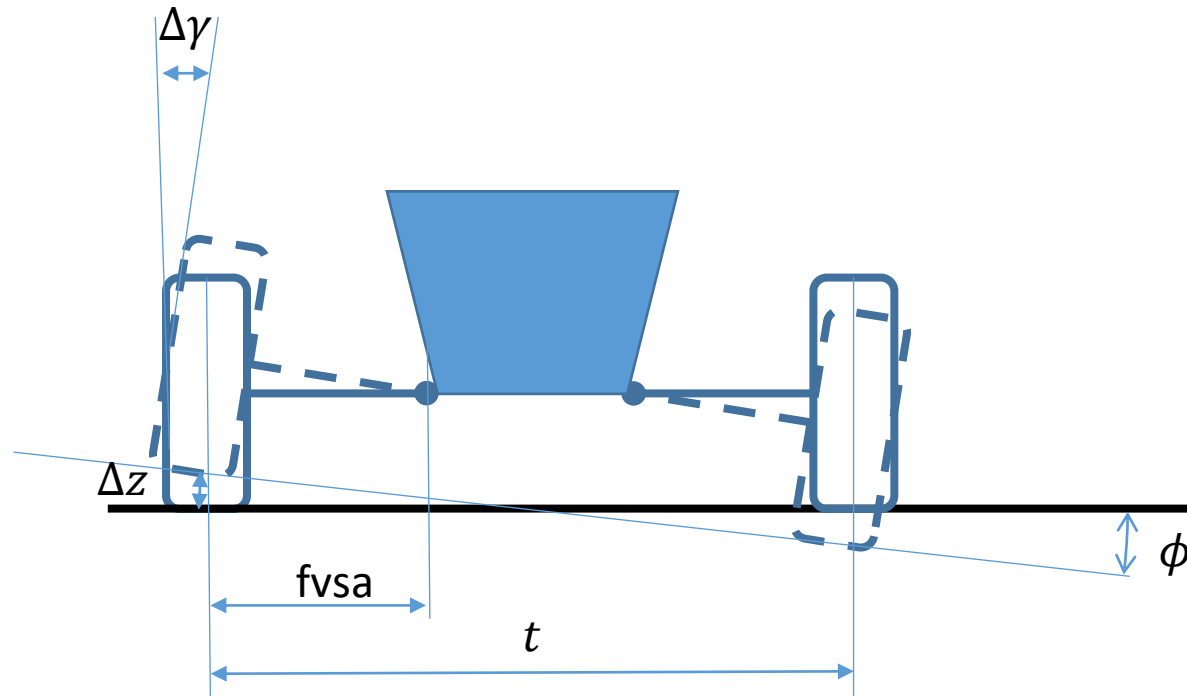
$$\Delta F_{z,r}$$

We can then define a “anti-roll” factor as the ratio between the non rolling to the total load transfer

$$A_r = \frac{\Delta F_{z,nr}}{\Delta F_z} = \frac{F_y/2 \tan \epsilon}{F_y h/t} = \frac{h_{RC}}{h}$$



# Camber gain



เมื่อพิจารณาถึงการกระจัดขนาดเล็ก การเดินทางของล้อตรงข้าม จะทำให้เกิดมุมการหมุนของตัวรถ

$$\phi = \frac{\Delta z}{t/2}$$

การเดินทางของล้อเดียวกันสอดคล้องกับการเปลี่ยนแปลงของมุมแคมเบอร์ (การคี่นตัวของแคมเบอร์)

$$\Delta \gamma = \frac{\Delta z}{fvsa}$$

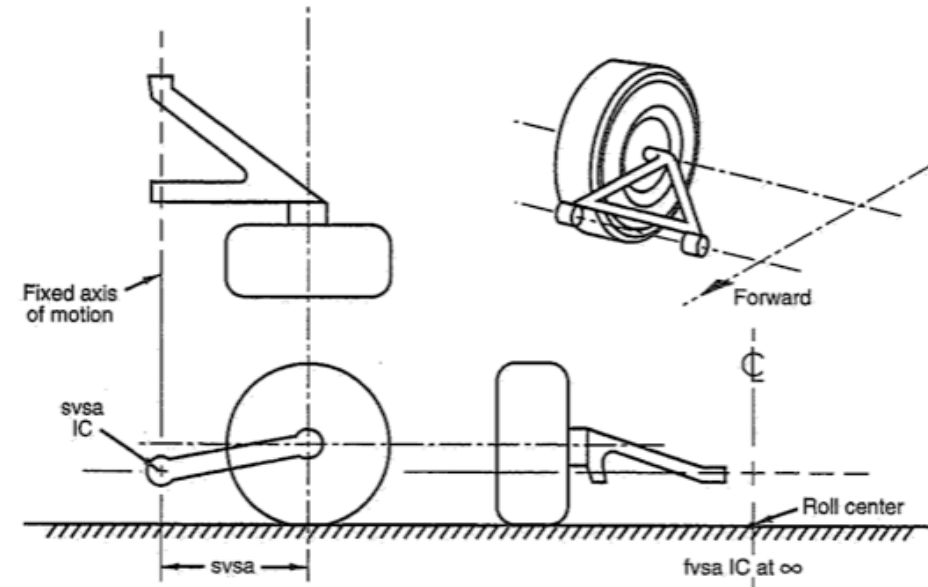
ระยะขยายแคมเบอร์คืออัตราส่วนระหว่างระยะคี่นตัวของแคมเบอร์กับระยะม้วน

$$\frac{\Delta \gamma}{\phi} = \frac{t/2}{fvsa}$$

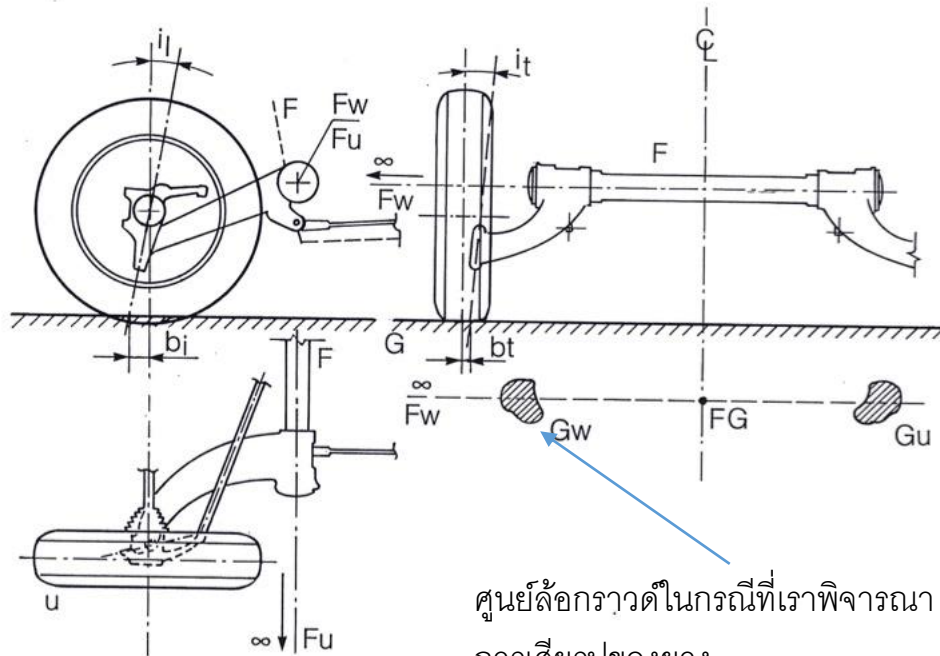
ถ้ามุมแคมเบอร์  $\frac{\Delta \gamma}{\phi} \approx 1$  ระบบกันกระเทือนคี่นความสูญเสียของแคมเบอร์ เนื่องจากการหมุน.

# Trailing arm

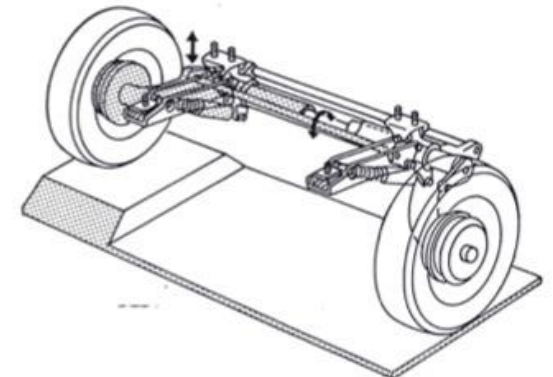
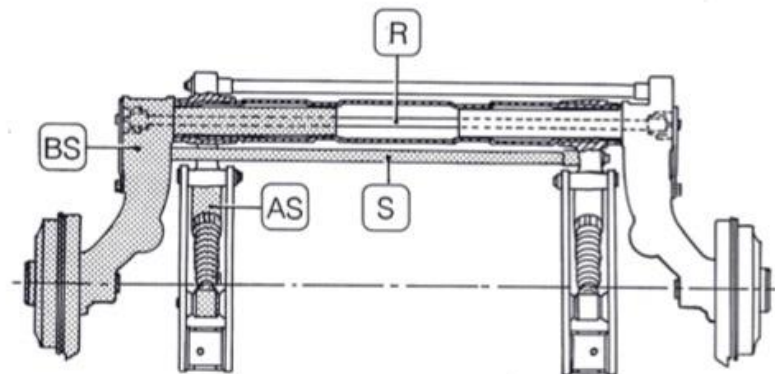
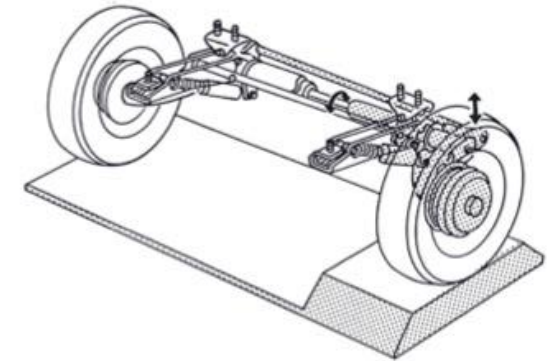
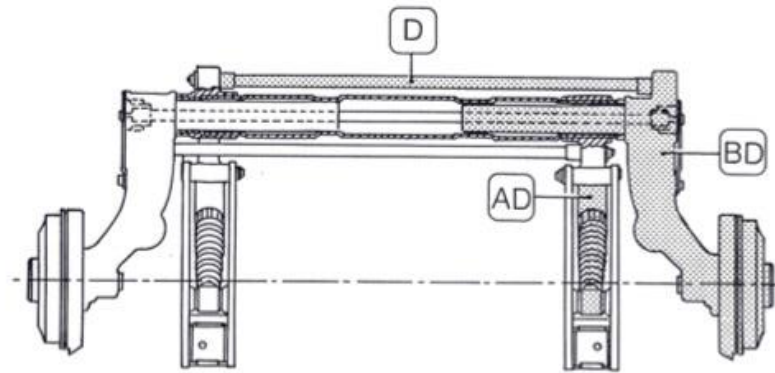
- มุมมองด้านหน้า
  - การเคลื่อนไหวในแนวตั้งล้วนๆ IC ที่  $\infty$  ตามแกนบูชและ RC บนพื้นดิน.
  - ไม่มีการเปลี่ยนแปลงแคมเบอร์กับการเดินทางของล้อ
  - **Body roll** แปลเป็นการเปลี่ยนแปลงเดียวกันใน **camber** (ใน **camber recovery**)
  - ไม่ต้องเปลี่ยน
- มุมมองด้านข้าง
  - IC คือแกนบูช ตำแหน่งแนวตั้งของ IC ต้องเว้นระยะห่างจากพื้นดินที่เหมาะสม.
  - สำหรับระบบกันสะเทือนหน้า ล้อจะเคลื่อนที่ด้านสิ่งกีดขวาง.
- มุมมองด้านบน
  - ไม่มีการเปลี่ยนแปลงเนื่องจากการเดินทางของล้อ
  - แรงต้านข้างทำให้ล้อออกทางโค้ง (ทำให้ระบบกันสะเทือนหลังไม่เสถียร)



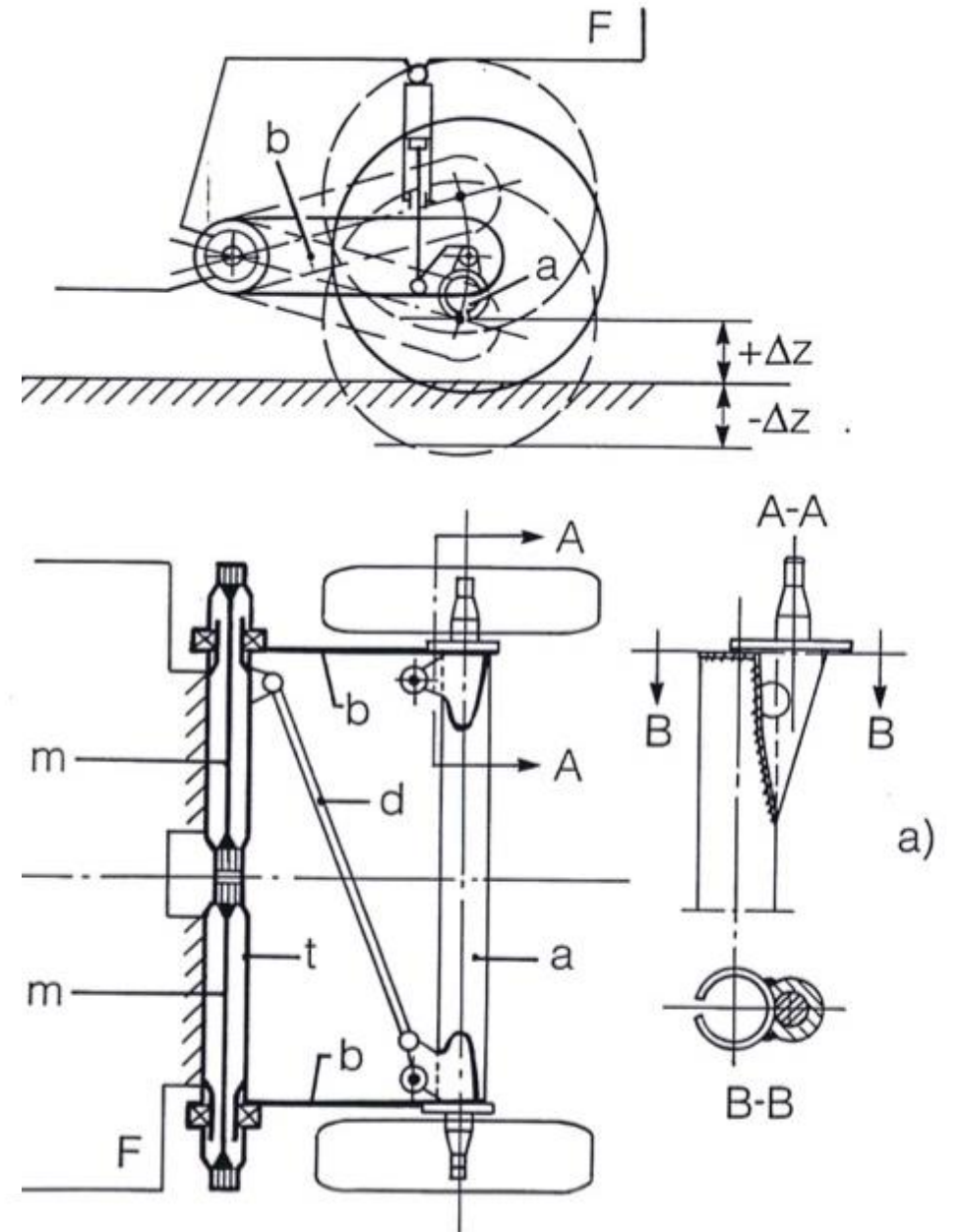
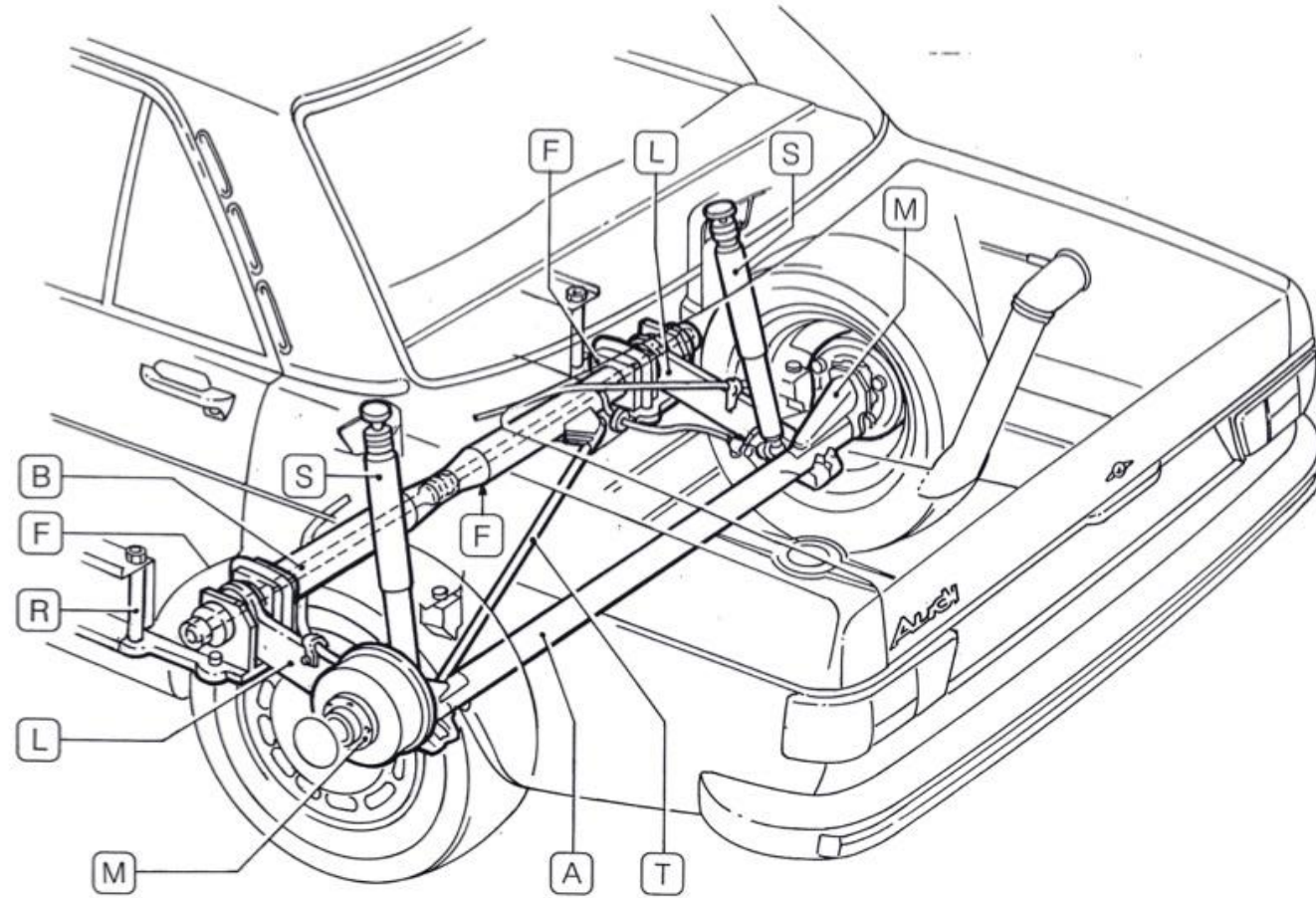
# Trailing arm – construction



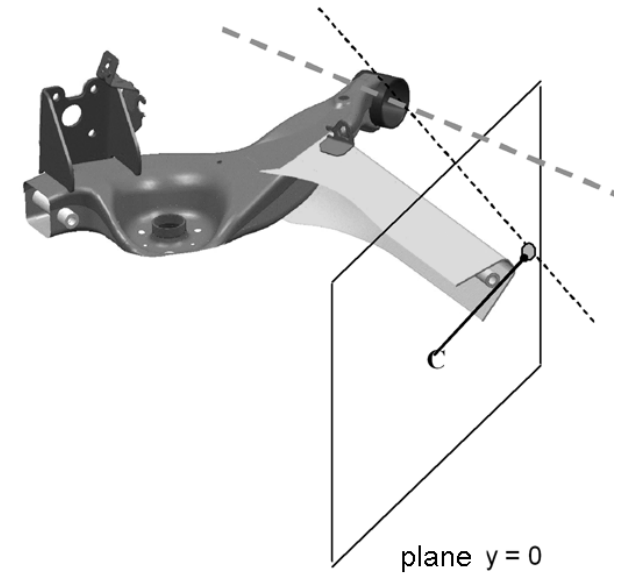
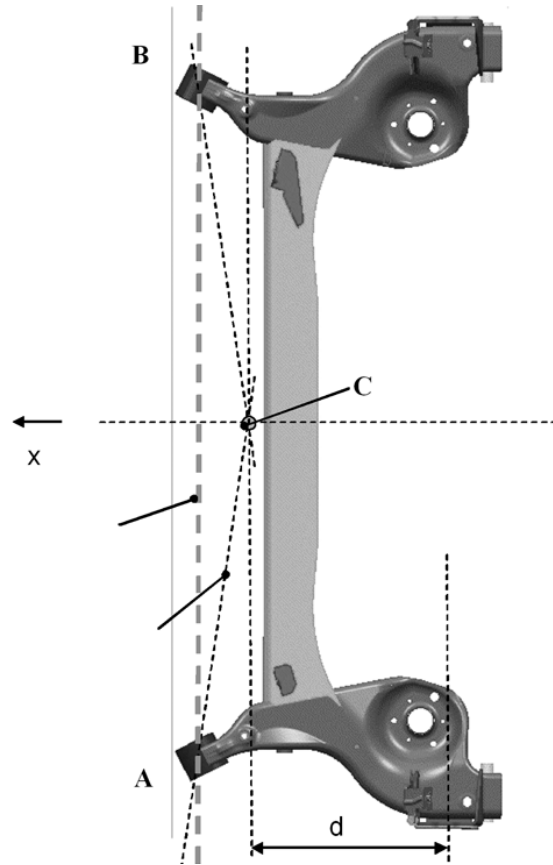
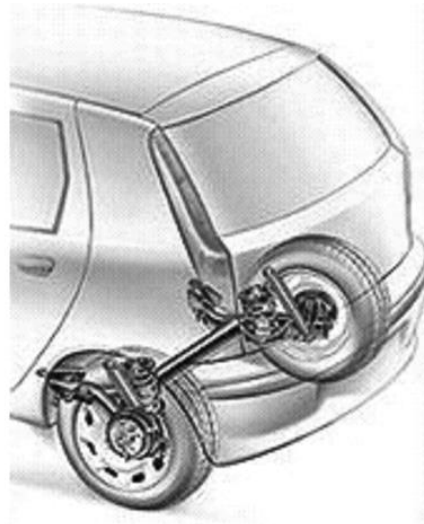
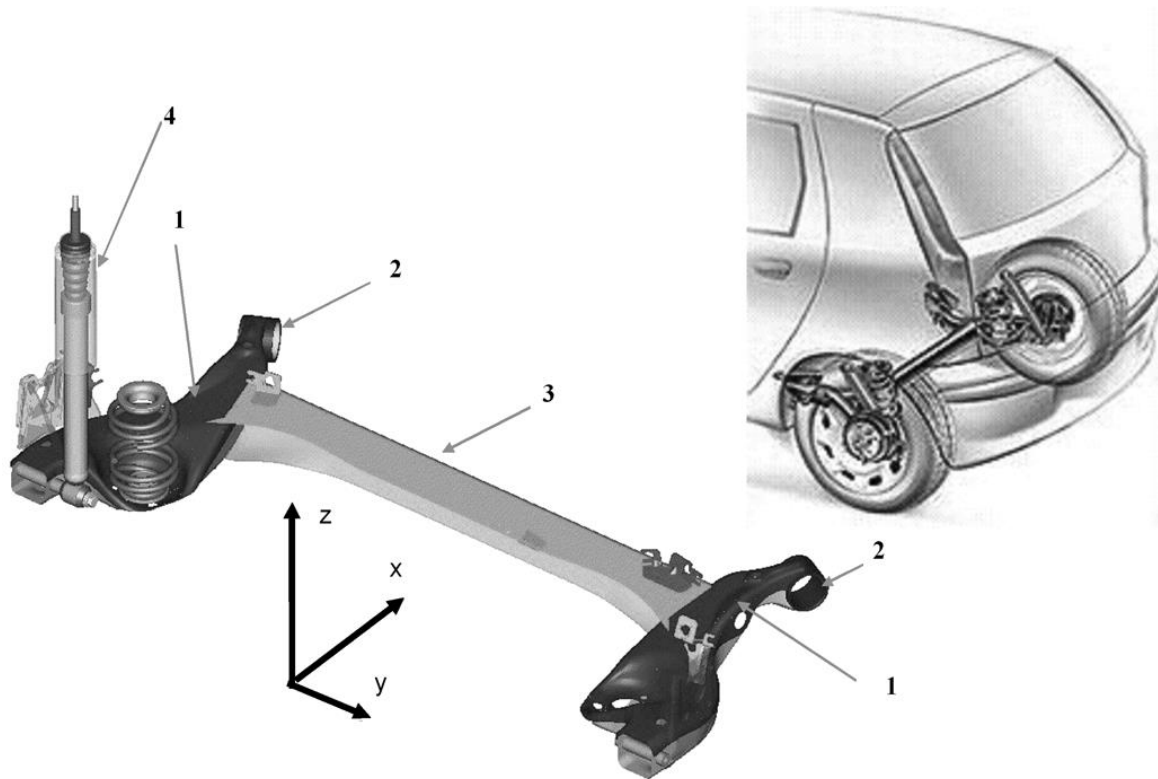
ศูนย์ล้อกรวดในกรณีที่เราพิจารณา  
การเสียรูปของยาง



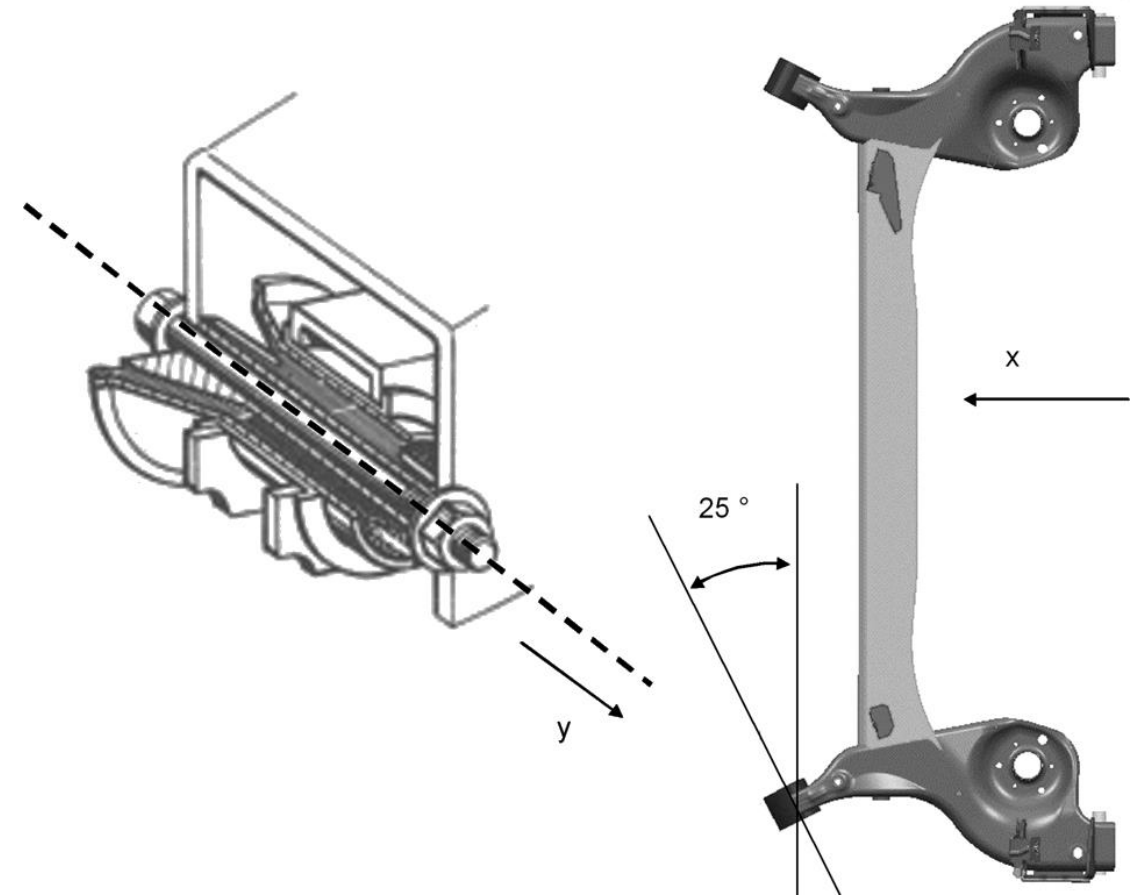
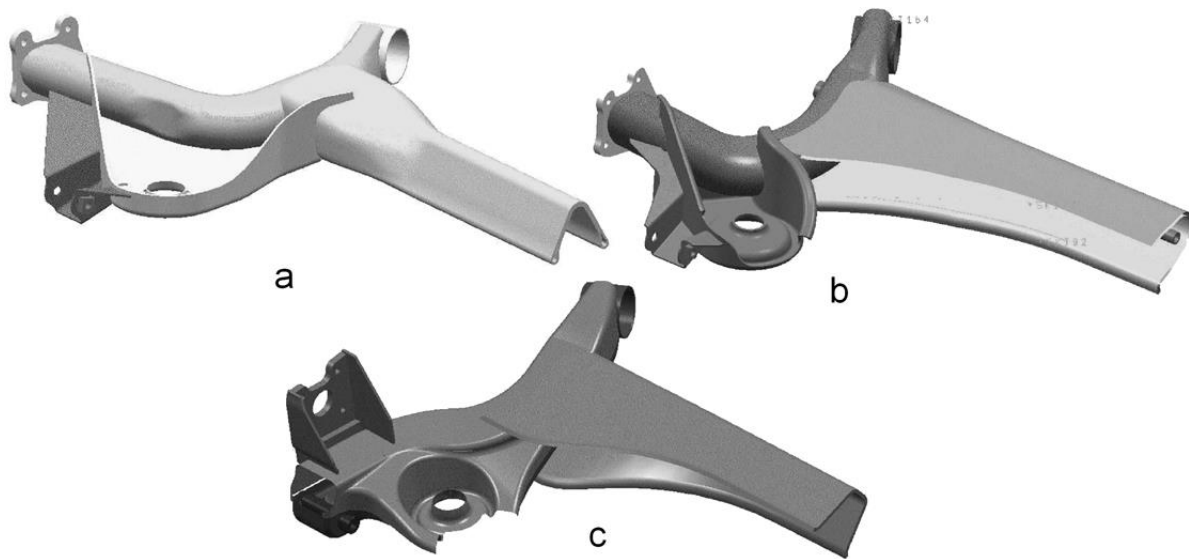
# เพลากานบิค



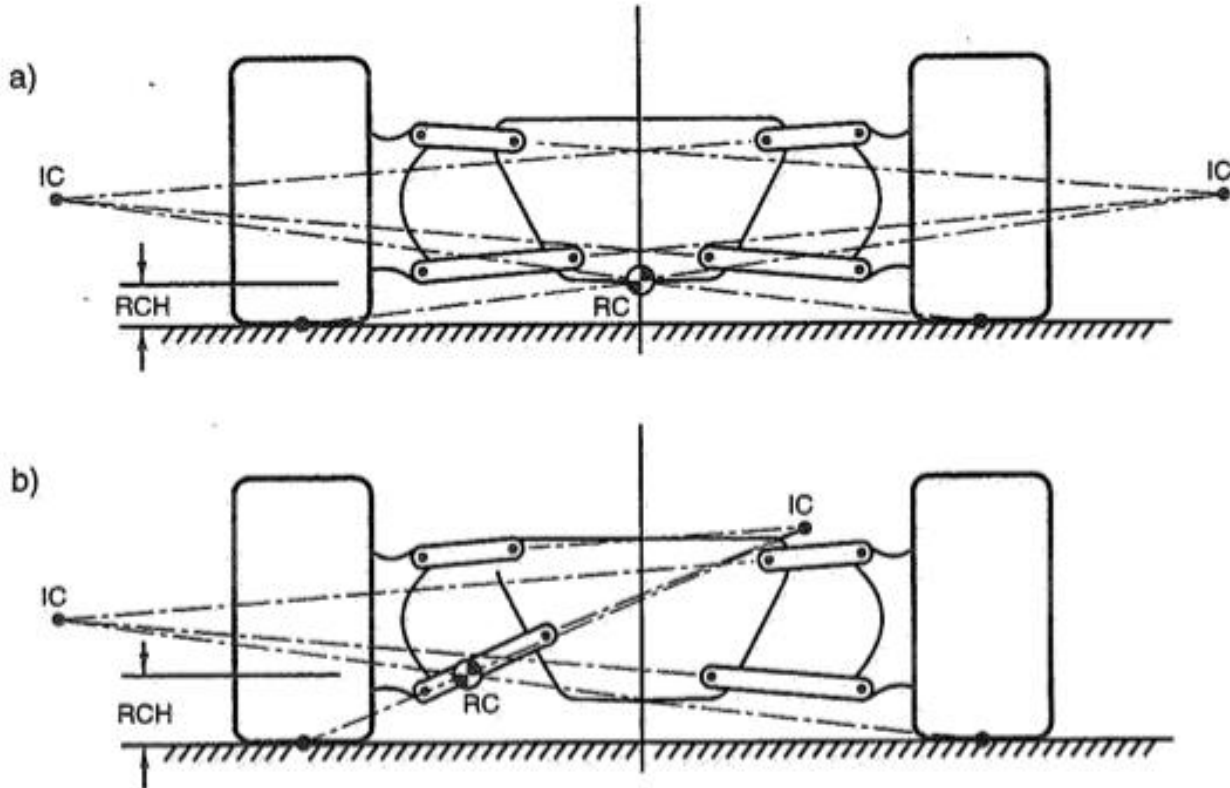
# ระบบกันสะเทือนแบบบิดเบี้ยว



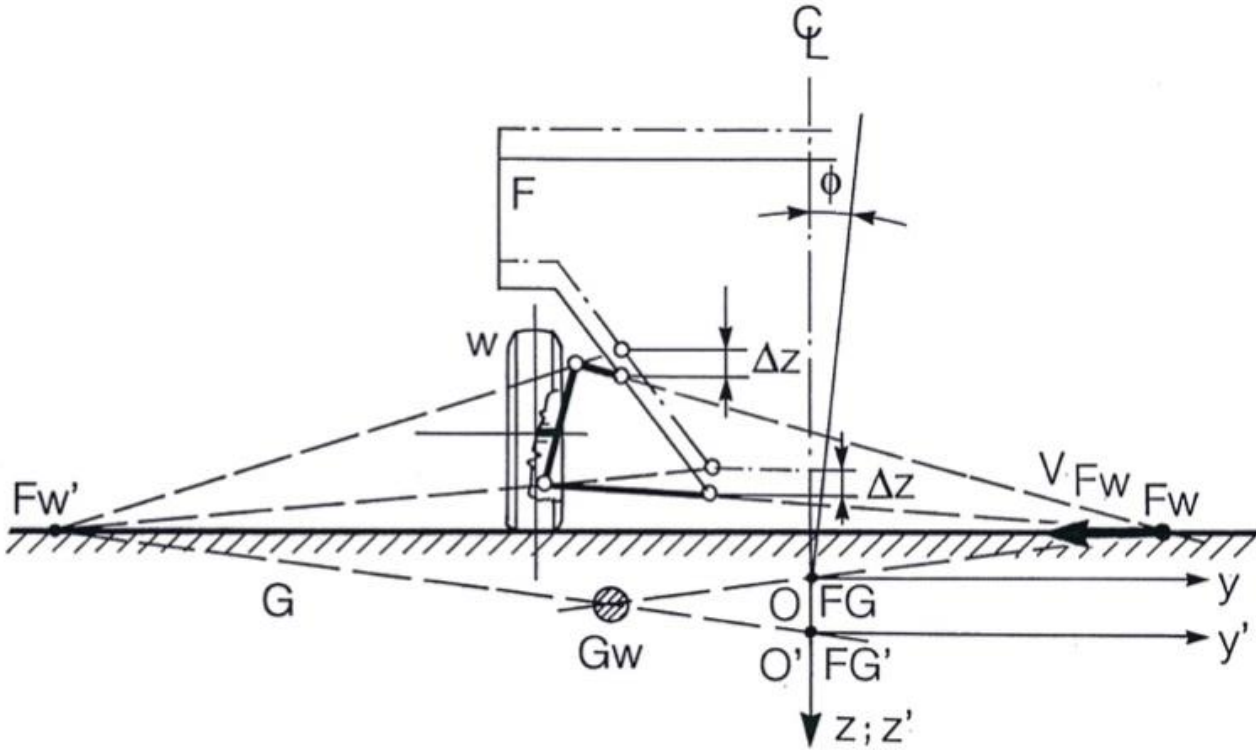
# ระบบกันสะเทือนแบบบิดเบี้ยว



# Double wishbone

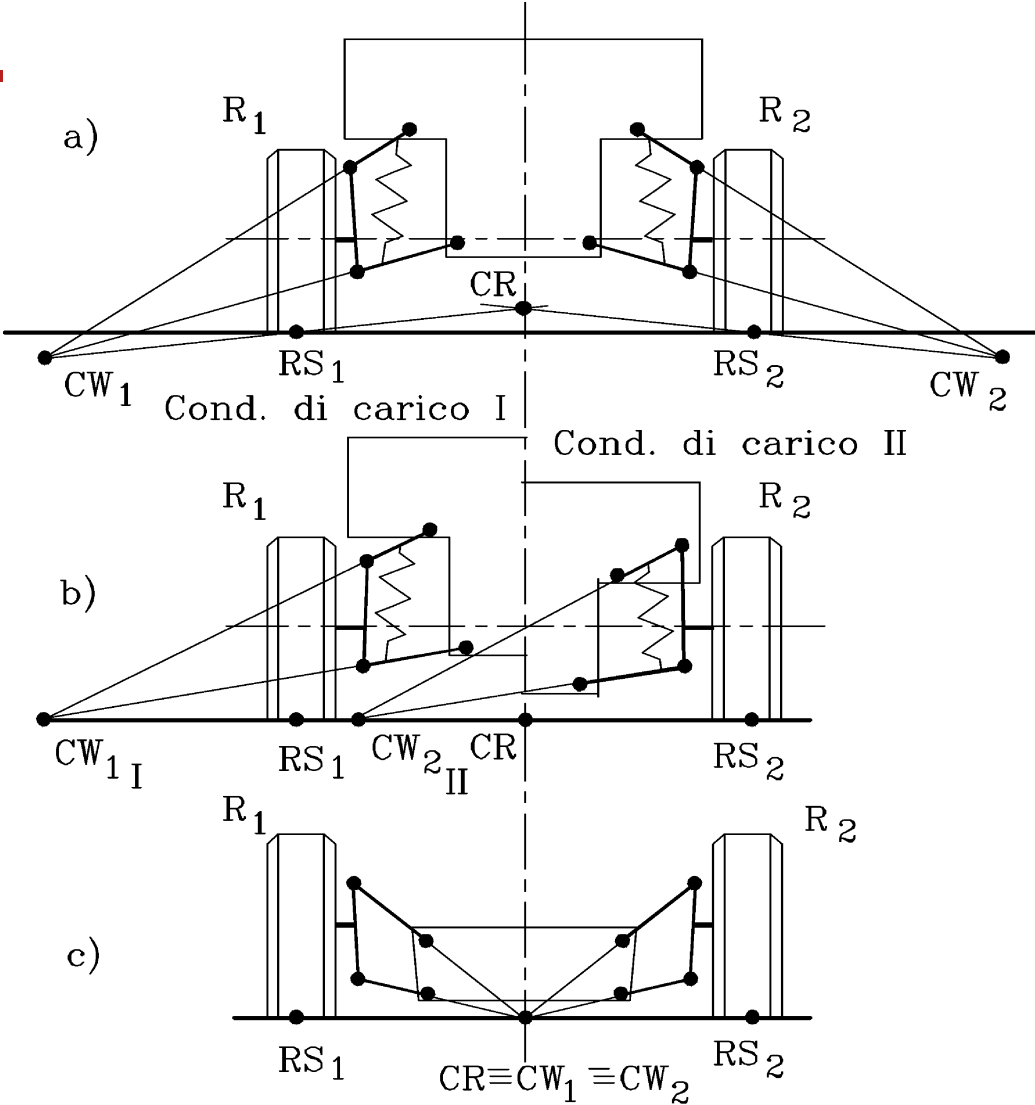
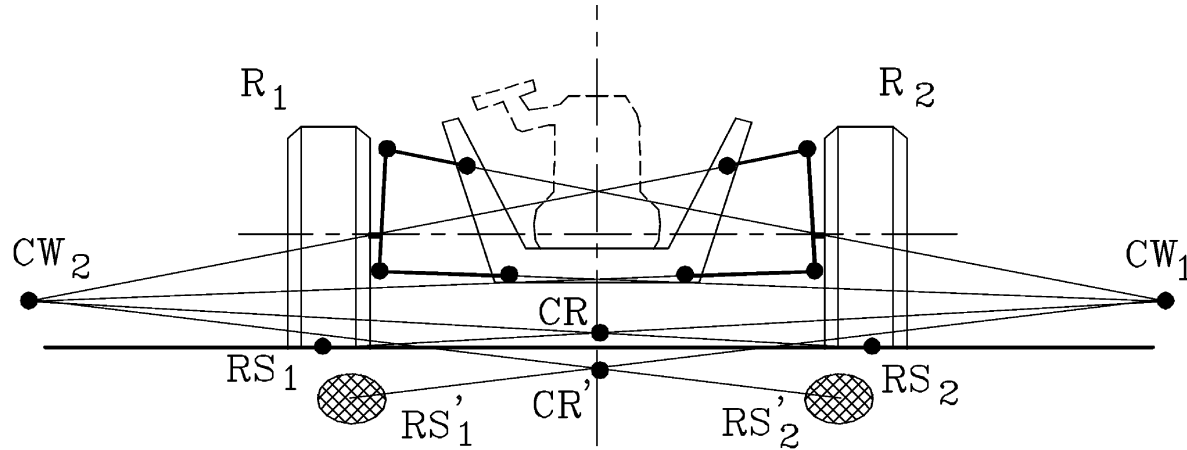


# Double wishbone IC migration

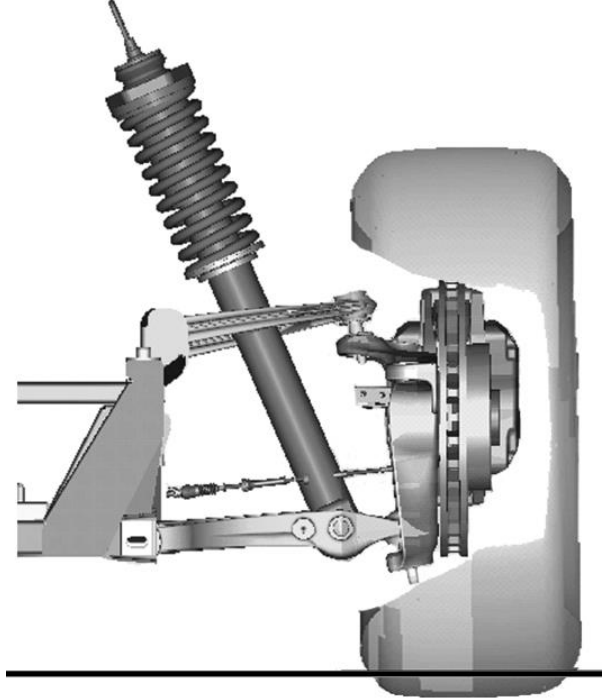
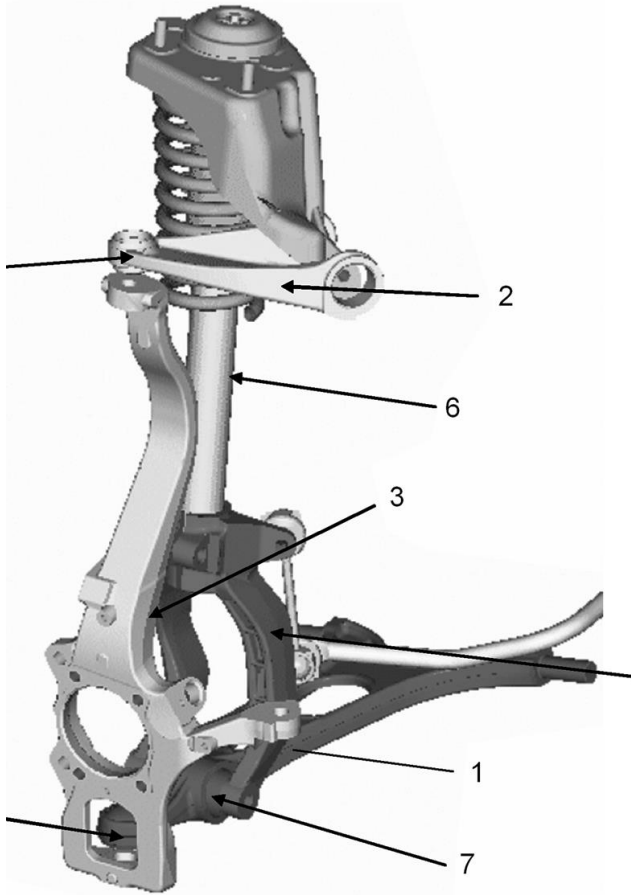
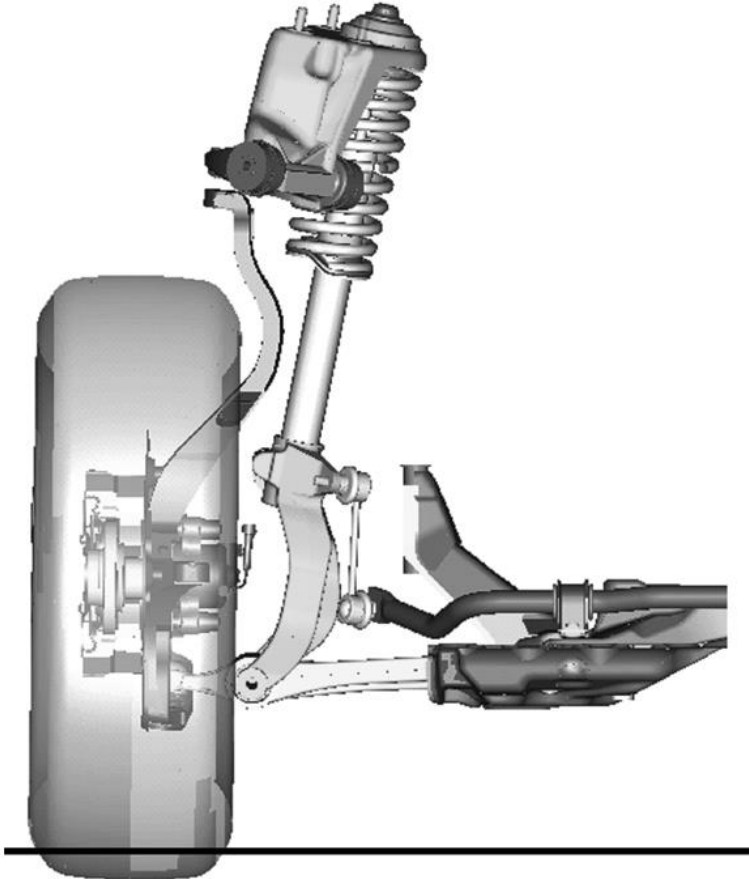




# Double whishbone – IC migration



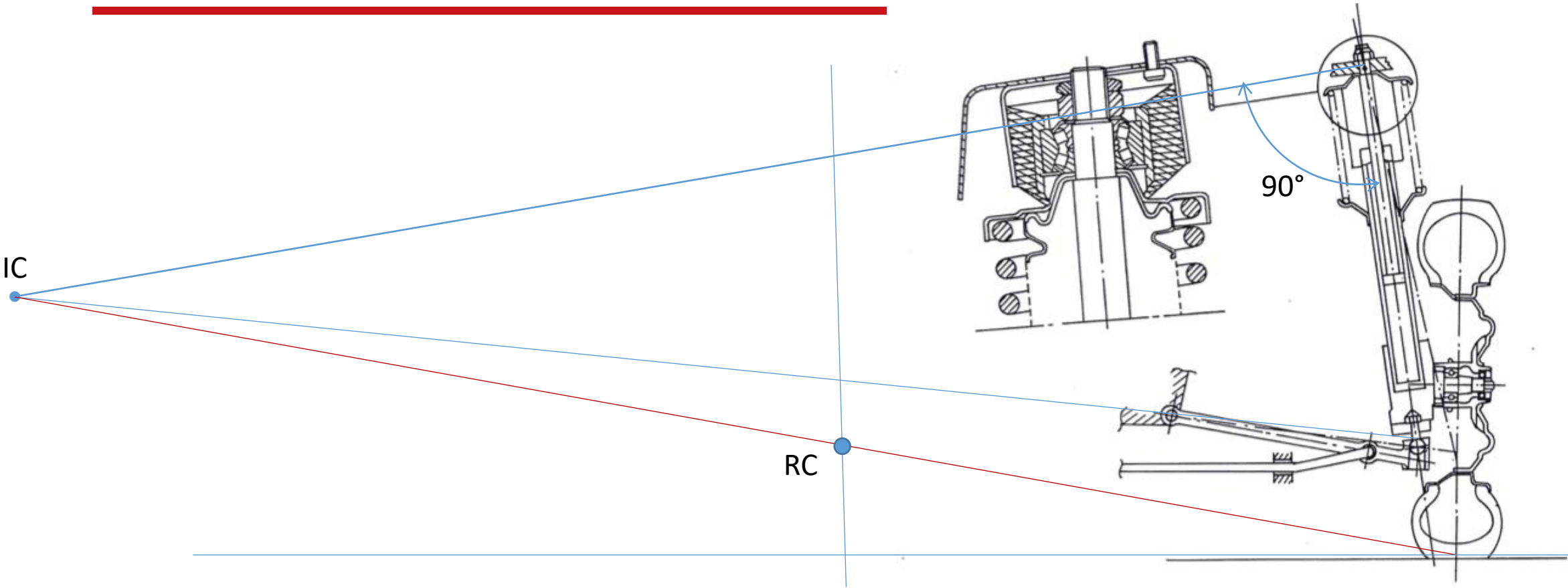
# Double wishbone



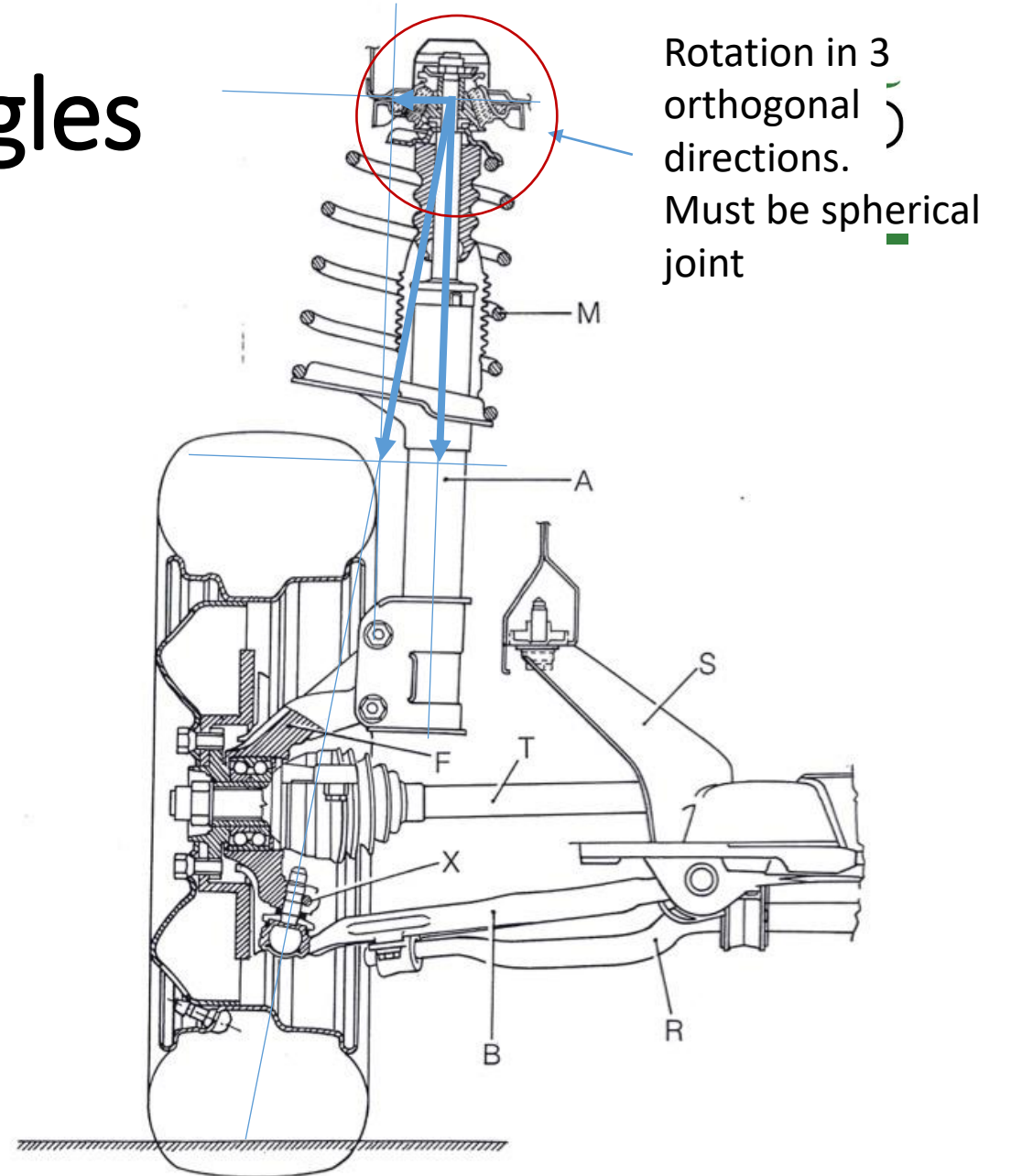
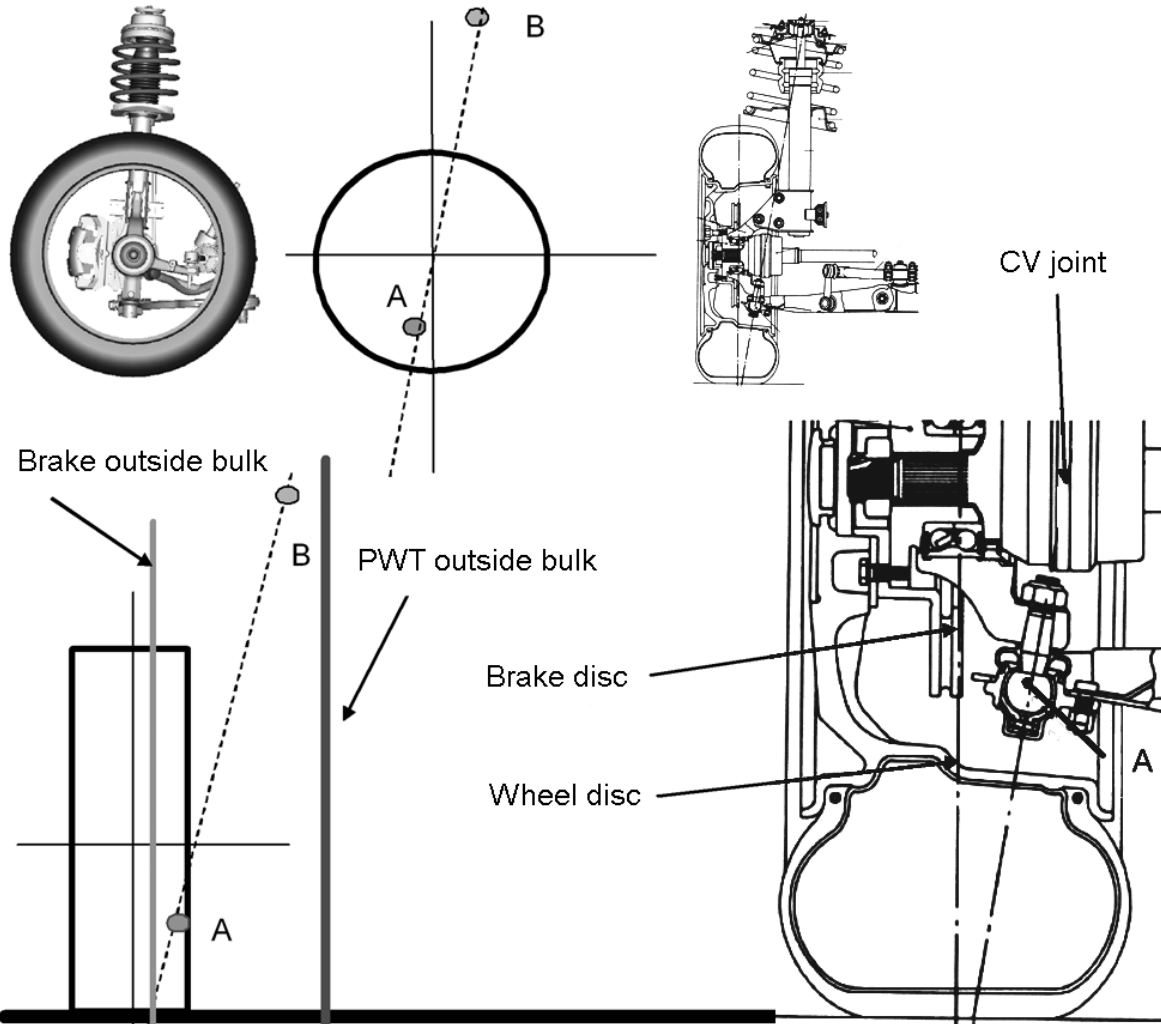
Short strut

Long strut

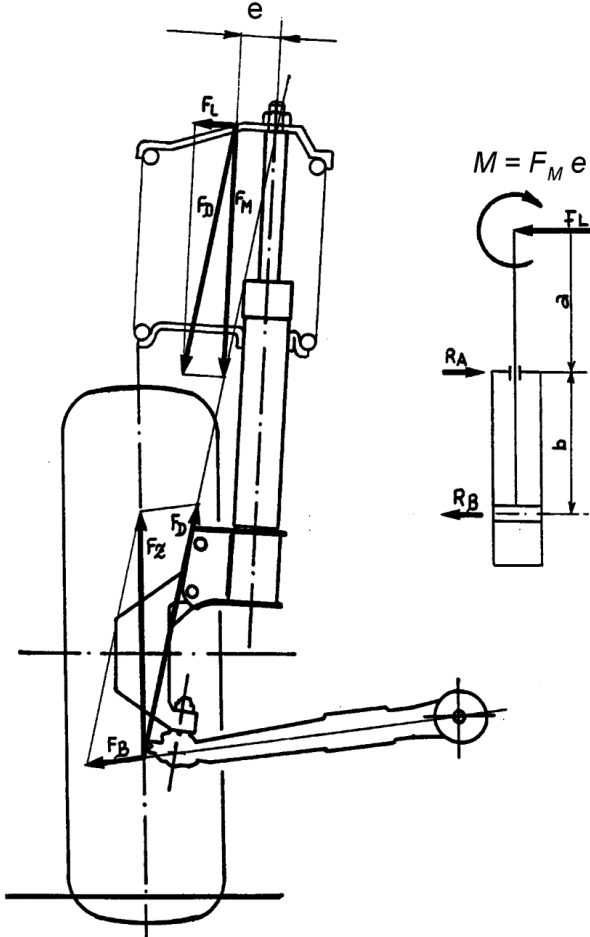
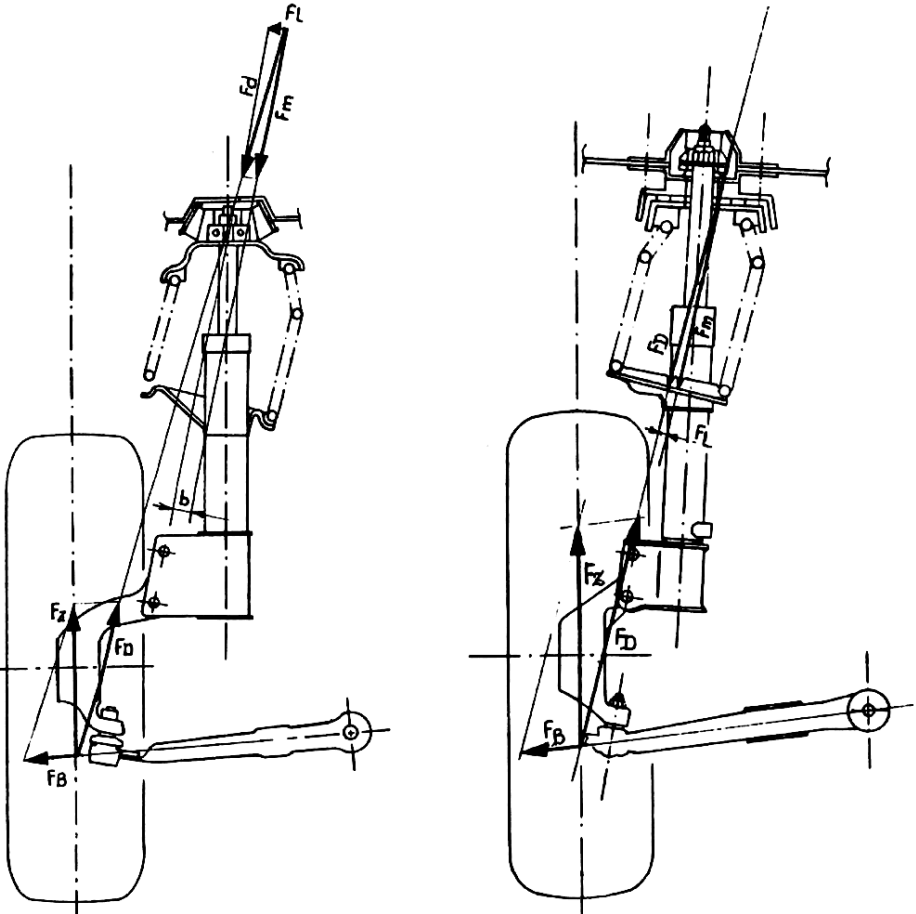
# Mc Pherson IC and RC



# Mc Pherson – steering angles



# Mc Pherson spring offset



# SLOT 6: ระบบควบคุม



- ระบบควบคุมการปรับความสูง
- ระบบควบคุมช่วงล่างแบบหมุนเวียน
- การควบคุมม้วนแบบแอ็คทีฟ



## ระบบควบคุมช่วงล่างปรับความสูง



# โครงร่าง



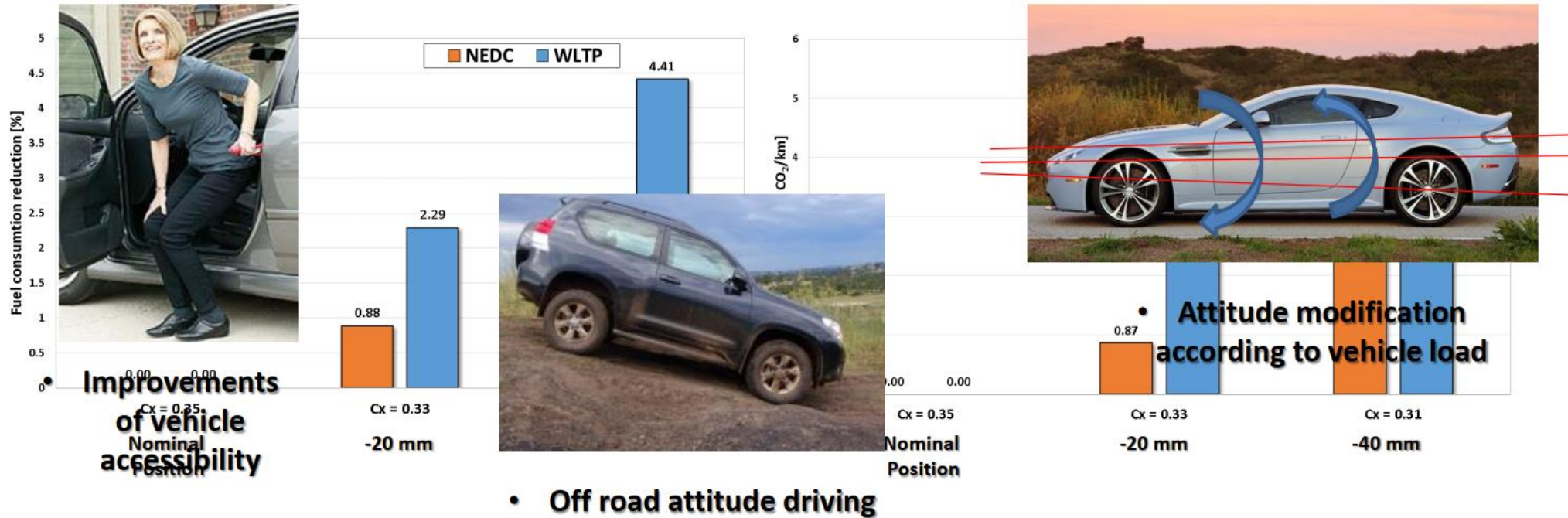
- ทำไมระบบปรับความสูงในรถยนต์นั่งส่วนบุคคล?
- อุตสาหกรรมที่ทันสมัยและเทคโนโลยี/สถาปัตยกรรมใหม่ที่เป็นไปได้.
- คุณสมบัติหลักของระบบกันสะเทือนปรับความสูงด้วยระบบไฟฟ้า.
- กรณีศึกษา.
- บทสรุป.





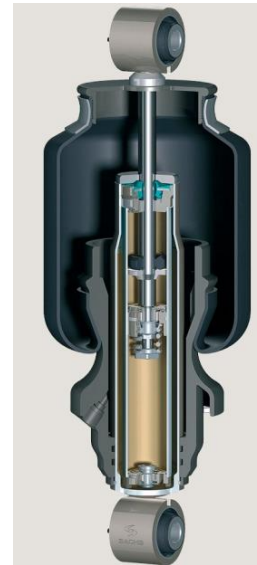
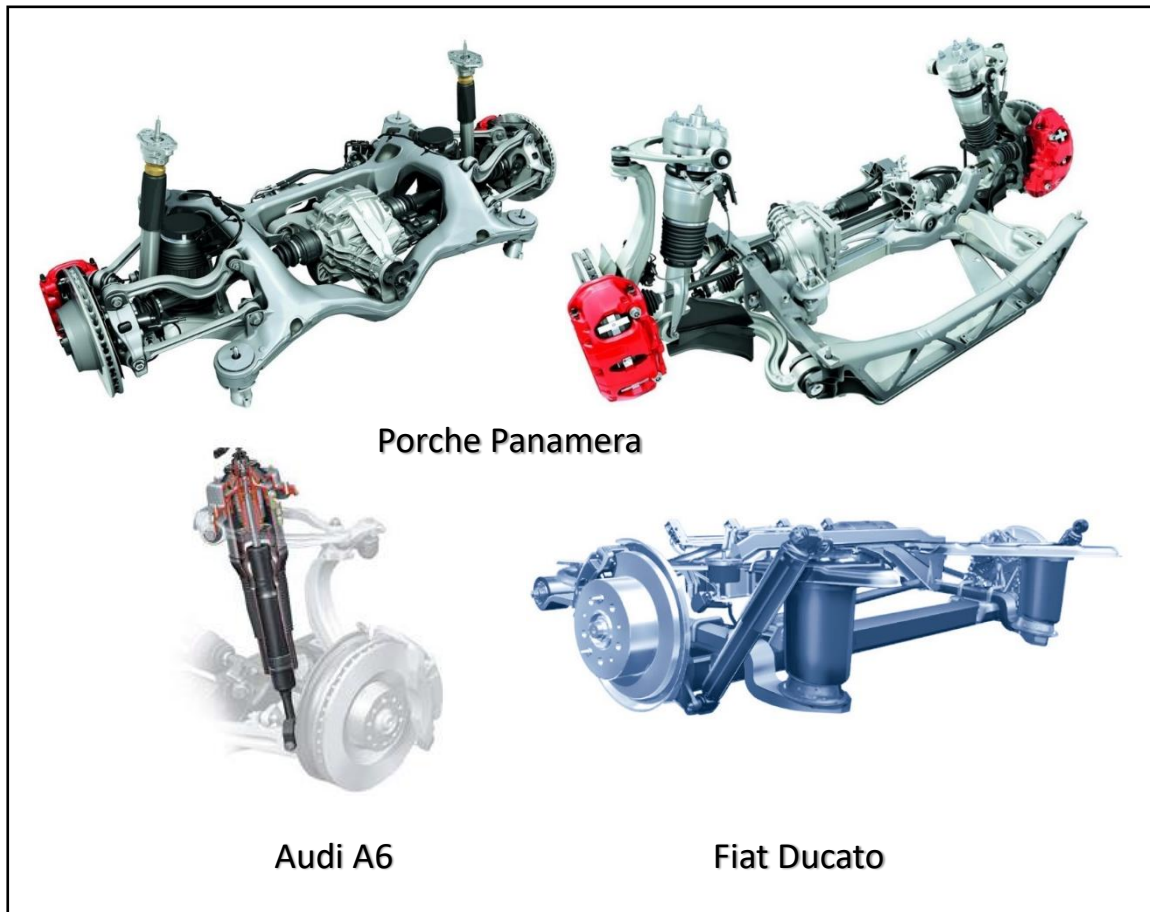
## FUEL CONSUMPTION AND gCO<sub>2</sub>/km REDUCTION

C<sub>x</sub> reduction only in extra urban - A Segment Car

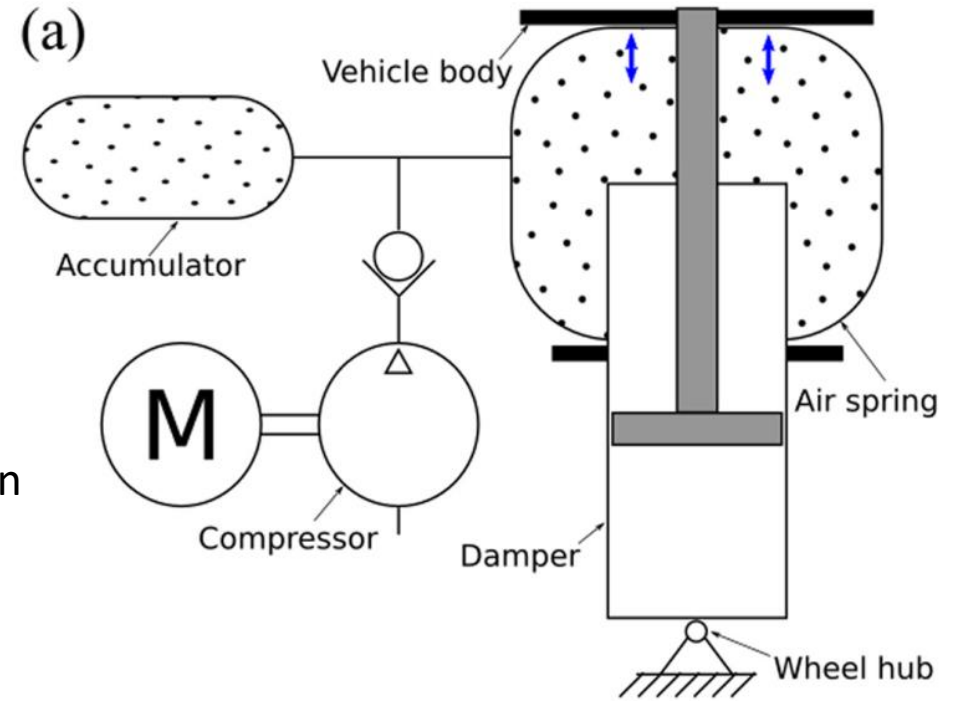


**2015 – 2020 → from 130 to 95 gCo<sub>2</sub>/km → -35 gCO<sub>2</sub>/km (NEDC)**

# ระบบปรับความสูงด้วยลม



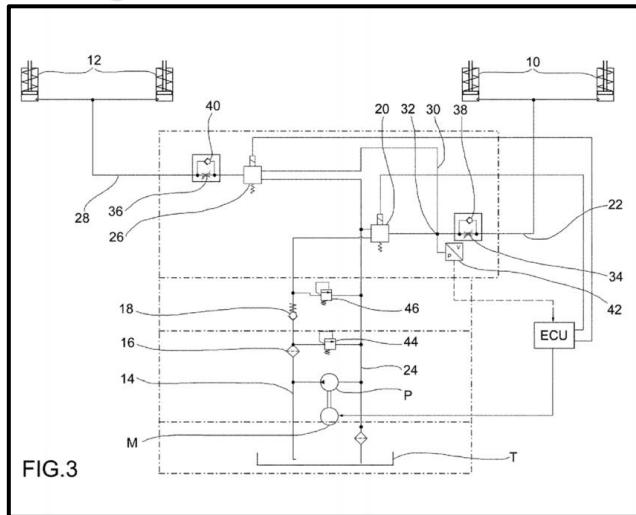
ZF Air suspension



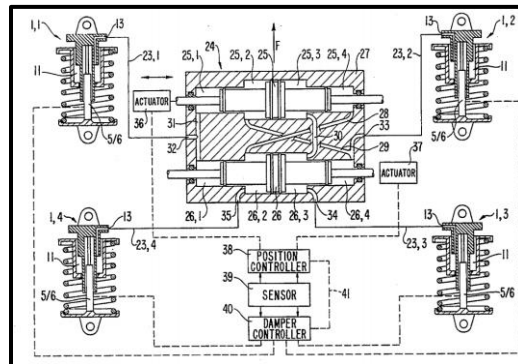
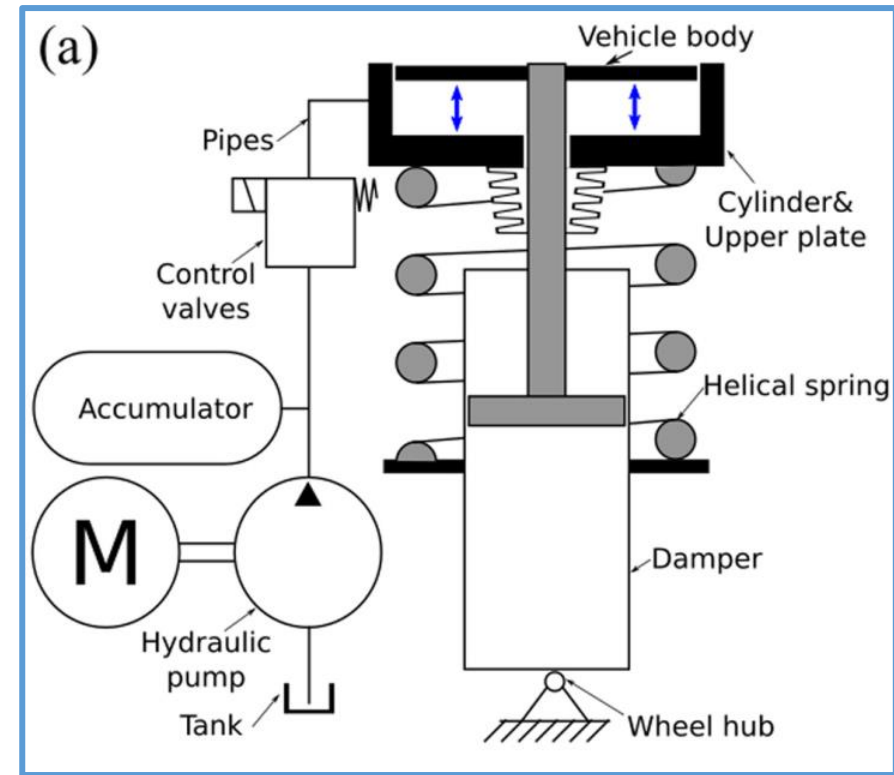
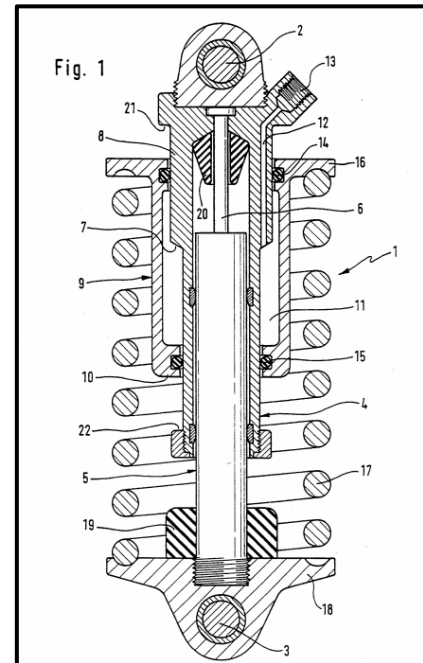
# ระบบปรับความสูงไฮดรอลิก

การเคลื่อนที่ของจานล่างไฮดรอลิก

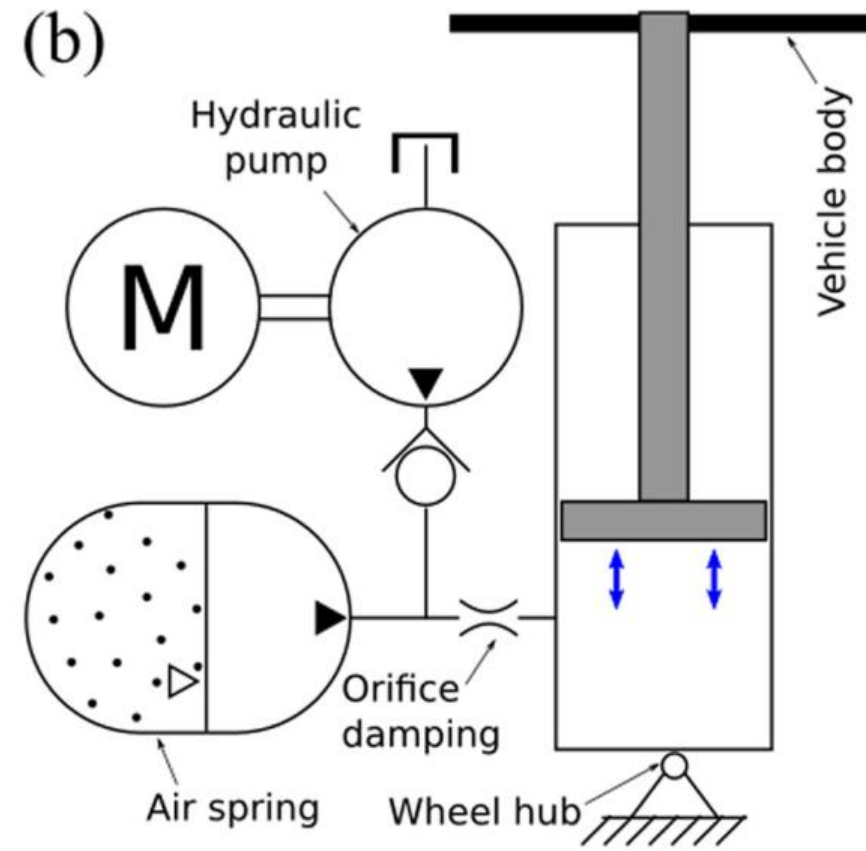
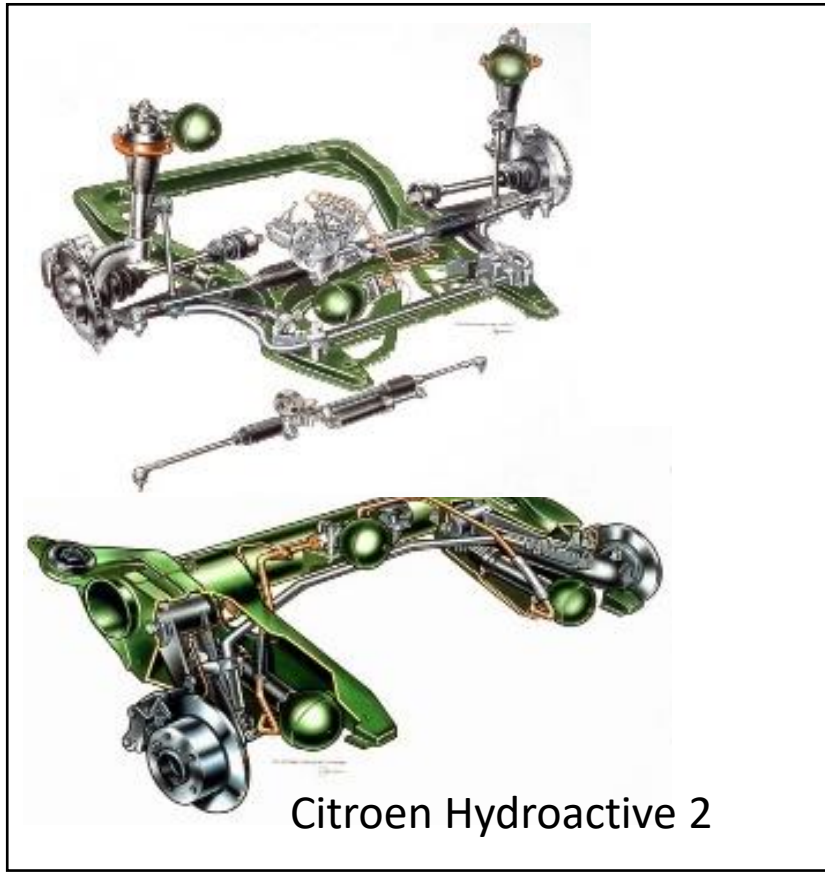
Magneti Marelli S.P.A., US 2015/0028552 A1, 2015



**Hydraulic Upper Plate Movimentation**  
Mercedes, US 5401053A, 1995



# ระบบปรับความสูงด้วยพลังน้ำ

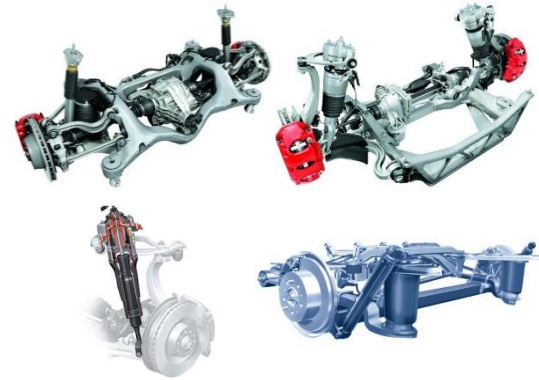


# Available Solutions on Market

ระบบกันสะเทือนไฮดรอลิก

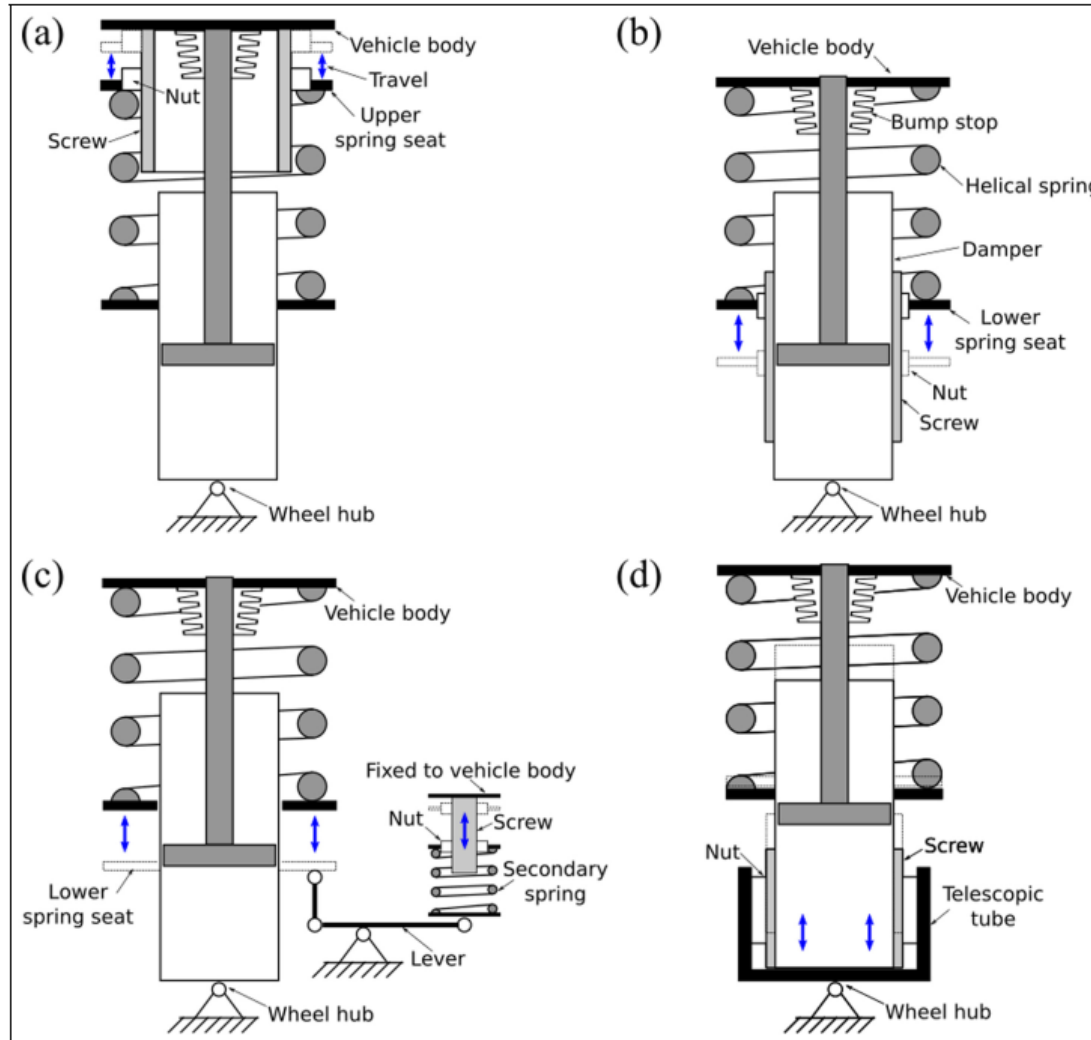
ระบบกันสะเทือนของอากาศ

ระบบกันสะเทือนแบบไฮโดรนิวแมติก



- ความซับซ้อนของระบบและต้นทุนสูง;
- ต้องการพื้นที่ขนาดใหญ่ ไม่เหมาะกับรถคอมแพ็ค;
- สปริงลมทำงานควบคู่ไปกับโช้คอัพ (ระยะยุบตัว);
- รถยนต์ระดับไฮเอนด์.

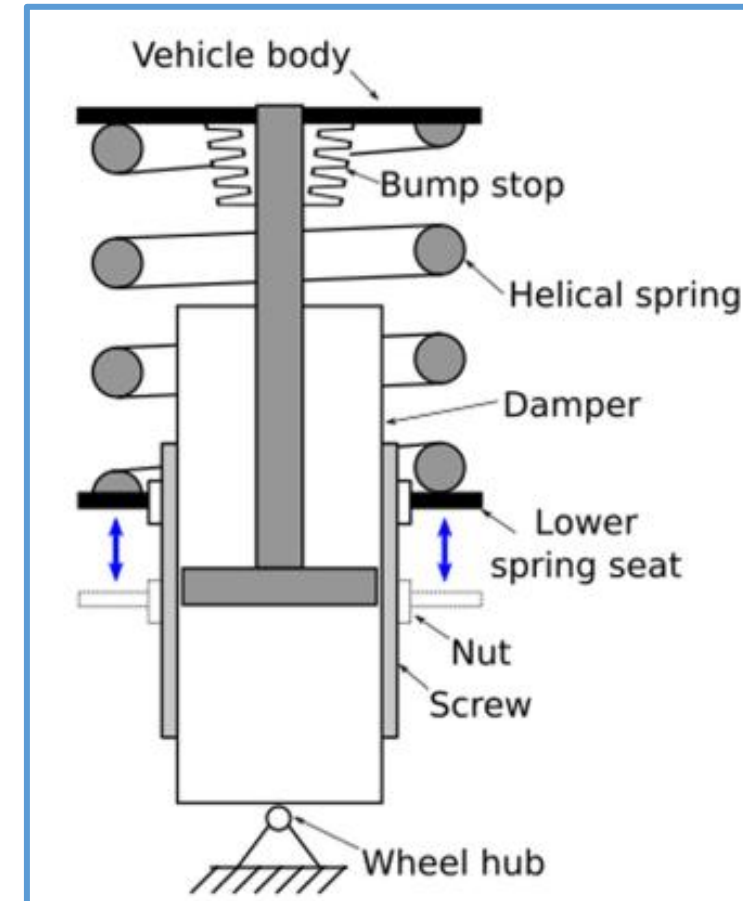
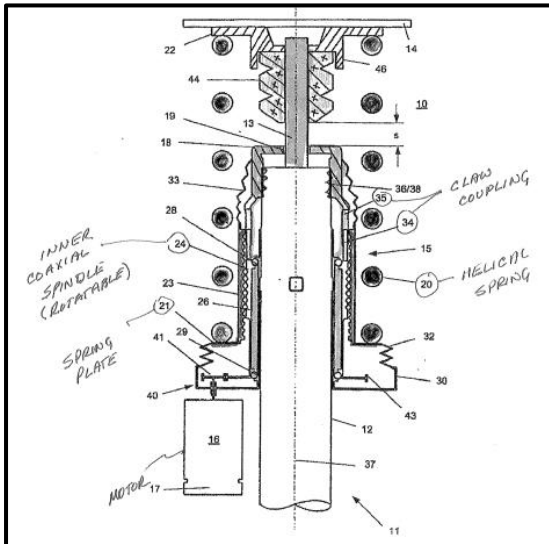
# ระบบปรับความสูงของเครื่องกลไฟฟ้า



- ความเรียบง่ายของระบบ;
- ต้นทุนค่อนข้างต่ำ;
- ขนาดกะทัดรัด;
- ความเป็นโมดูล;
- ความน่าเชื่อถือสูง;
- ส่วนรถต่ำ.

# การกำหนดค่าที่เป็นไปได้: การเคลื่อนที่ของแผ่นด้านล่าง

- การเคลื่อนที่ของจานล่างโดยตรงทางกล
  - Audi AG, US 2009/0146385A1, 2009



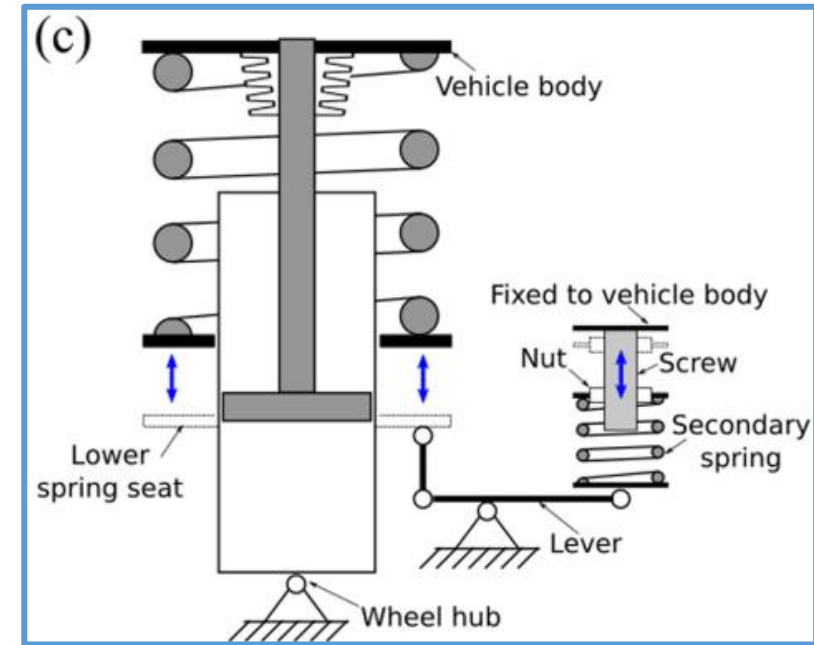
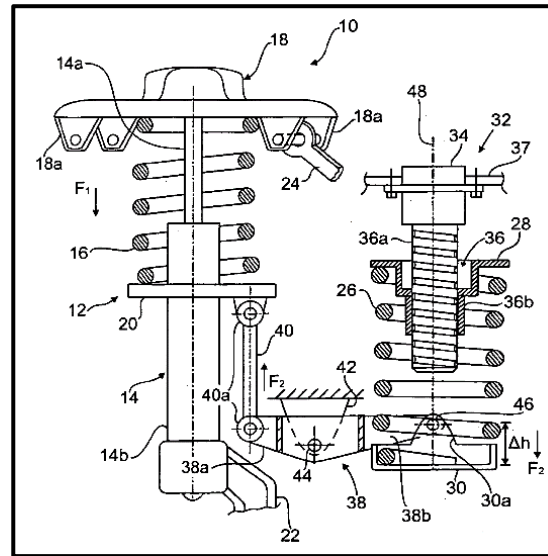
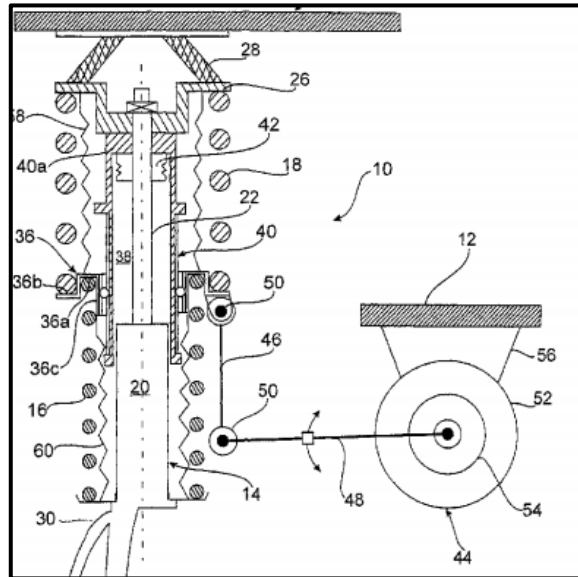
# การกำหนดค่าที่เป็นไปได้: การเคลื่อนที่ของแผ่นด้านล่าง



- การเคลื่อนที่ของจานล่างด้วย

## Leverages

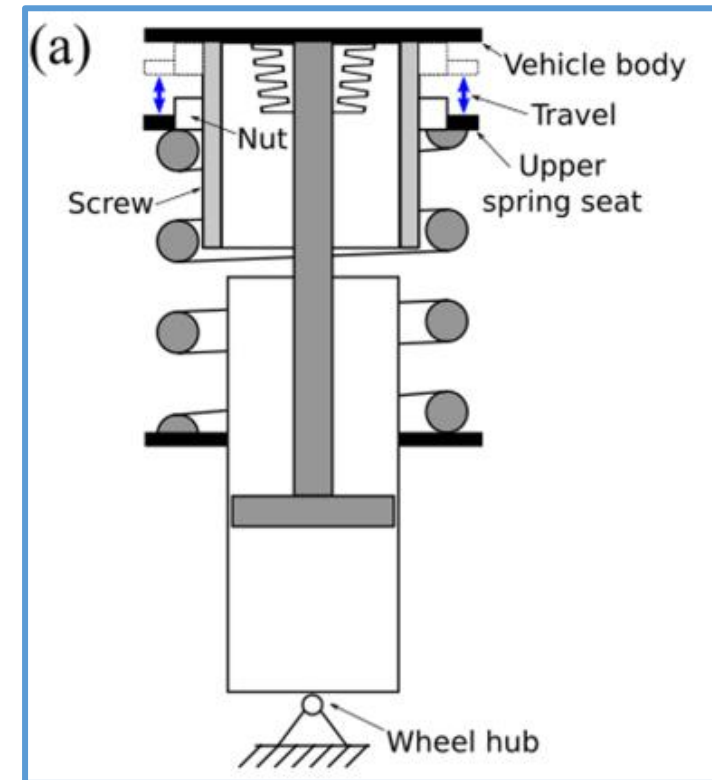
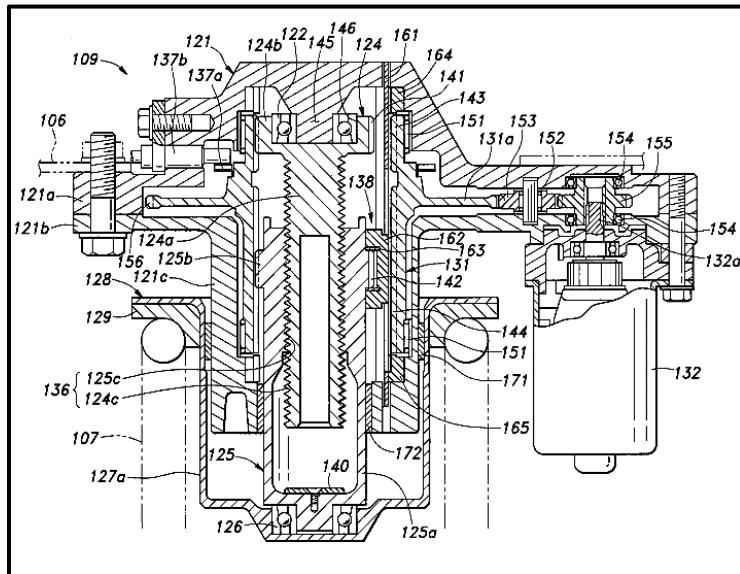
- Audi AG, US 8317003B2, **2012**
- Audi AG, EP 2199121B1, **2014**





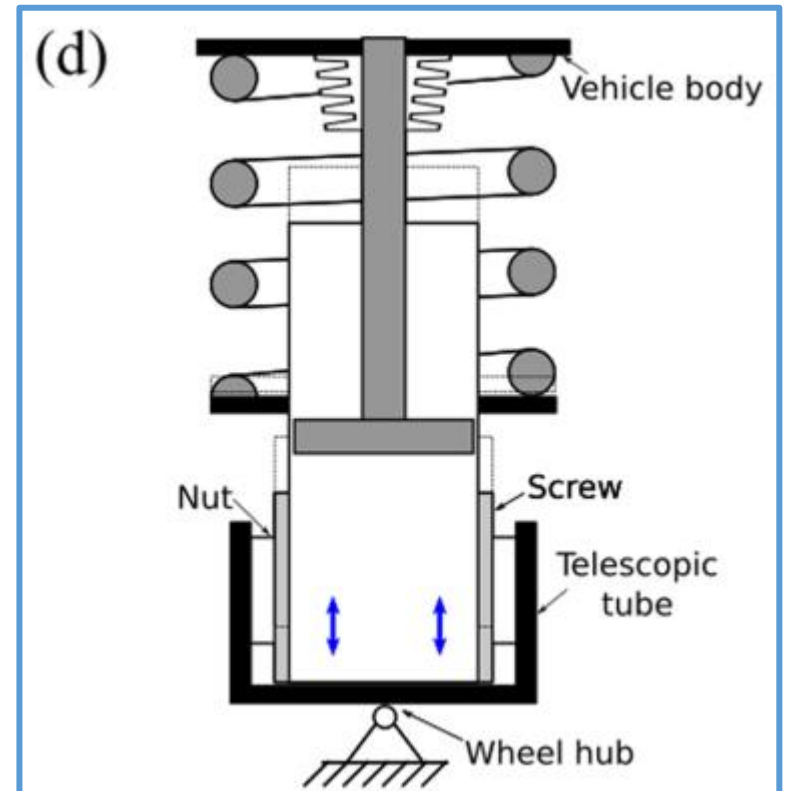
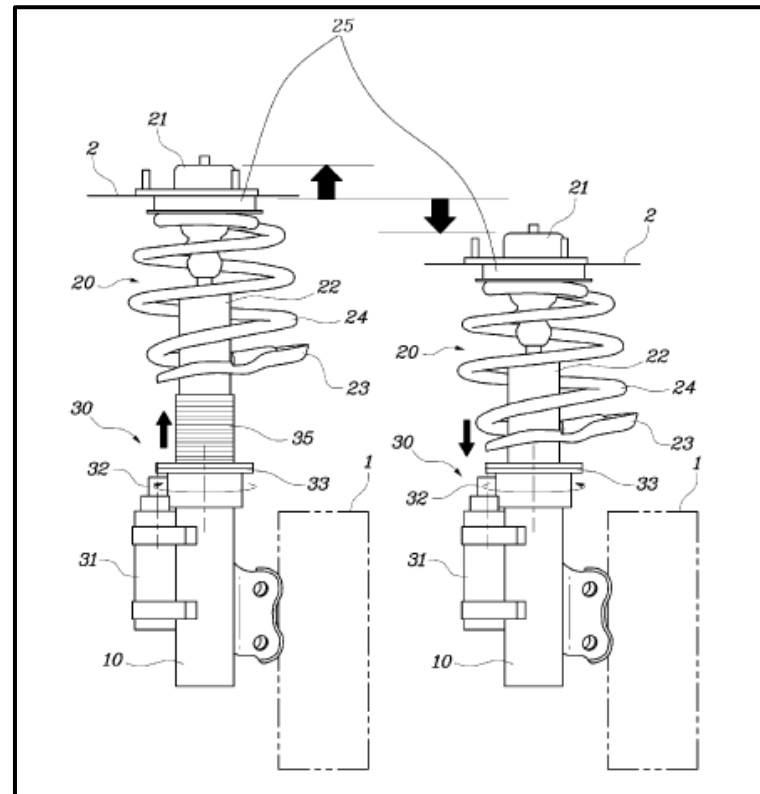
# การกำหนดค่าที่เป็นไปได้: การเคลื่อนที่ของแผ่นด้านบน

- การเคลื่อนย้ายเพลาบนเครื่องกล
  - Audi AG, EP 1970227A2, **2007**
  - Honda, US7922181B2, **2011**



# การกำหนดค่าที่เป็นไปได้

- การเคลื่อนที่ของท่อใช้คัพ
  - Hyundai, US 8833775B2, **2014**



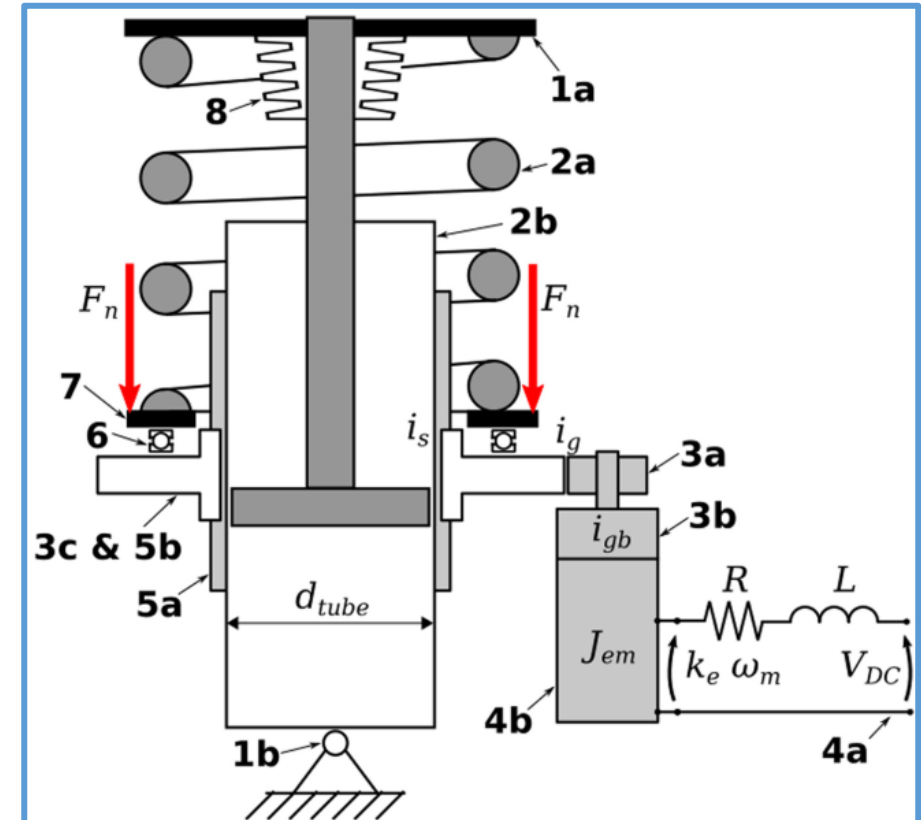
# สรุป



Type	Features	Efficiency	Mechanical Complexity	Packaging	Additional Mass (S/US)	Modifications of suspension characteristics	Attitude for Slow active	Score
Spring holder, Mechanical		★	★ ★ ★	★ ★	US	★ ★	no	8
Lower Plate, Hydraulic		★ ★	★ ★	★	US	★ ★	yes	7
Spring holder, eccentric actuation		★ ★	★ ★	★	US	★ ★	no	7
Upper Plate, Mechanical		★ ★	★	★	S	★ ★	no	6
Upper Plate, Hydraulic		★ ★	★ ★	★	S	★ ★	yes	7
S.A. Tube		★	★	★ ★	US	★ ★ ★	no	7

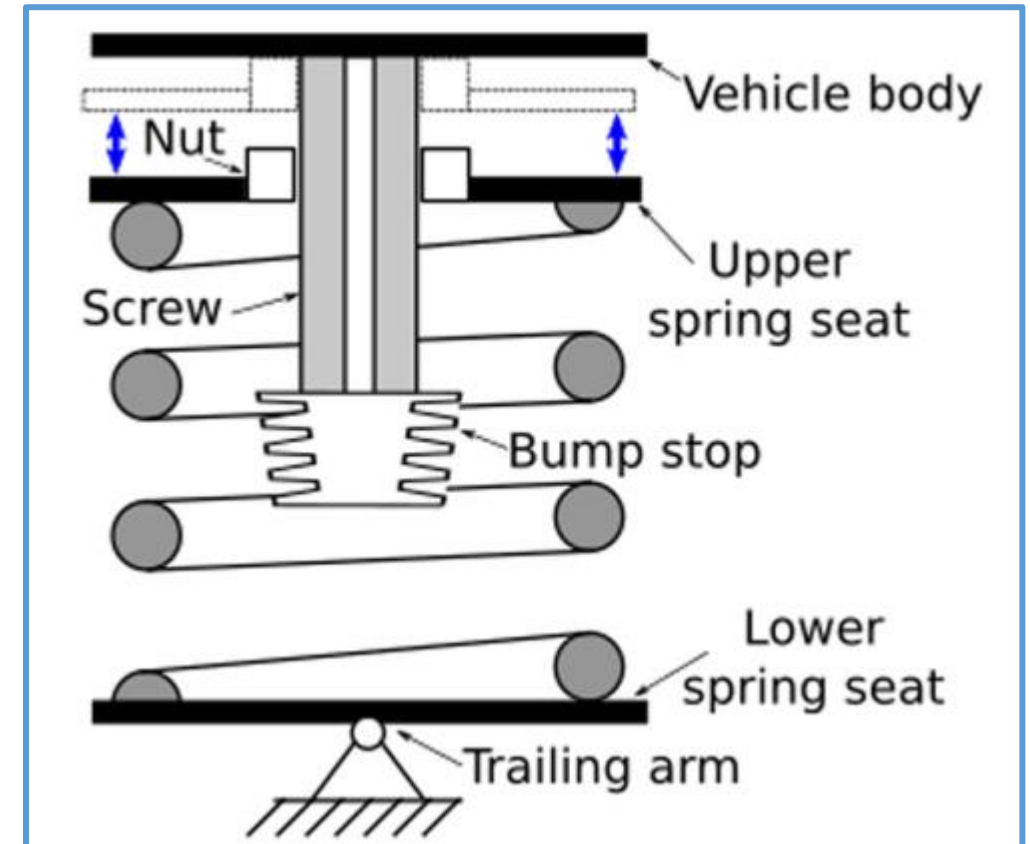
# วิธีแก้ปัญหาที่เสนอ: ด้านหน้า

- ไอเดียพื้นฐาน:
  - ลดลง/ยกแผ่นสปริงด้านล่างขึ้นโดยใช้ตัวกระตุ้นไฟฟ้า
  - ตำแหน่งปลายทางไม่ได้รับการแก้ไข:
    - ไม่มีการปรับเปลี่ยนจังหวะทั่วโลก
    - ไม่มีการหยุดไหลดบนกลไก
    - ปัญหาความสบายเนื่องจากตำแหน่งศูนย์ที่แตกต่างกันเมื่อเทียบกับจังหวะโลก

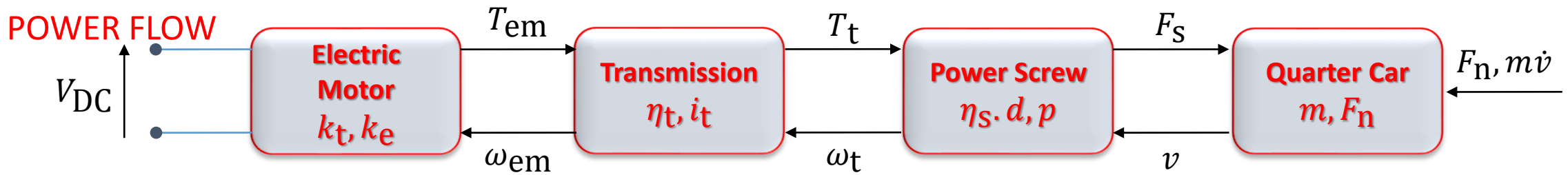


# วิธีแก้ปัญหาที่เสนอ: ด้านหลัง

- ไอเดียพื้นฐาน:
  - ลดลง/ยกแผ่นสปริงด้านล่างขึ้นโดยใช้ตัวกระตุ้นไฟฟ้า
  - ตำแหน่งปลายทางไม่ได้รับการแก้ไข:
    - ไม่มีการปรับเปลี่ยนจังหวะทั่วโลก
    - ไม่มีการหยุดไหลดบนกลไก
    - ปัญหาความสบายเนื่องจากตำแหน่งศูนย์ที่แตกต่างกันเมื่อเทียบกับจังหวะโลก



# ขั้นตอนการออกแบบ



- นิยามประสิทธิภาพ
  - ความยาวจังหวะ -  $s$  [mm]
  - เวลาเปิดใช้งาน -  $t$  [s]
  - โหลด -  $F_n$  [N]
  - กำลังรวมสูงสุด -  $P_{max}$  [W]
- EM การคำนวณกำลังไฟฟ้า

$$\begin{Bmatrix} \dot{\omega}_{em} \\ \omega_{em} \\ i \end{Bmatrix} = \begin{bmatrix} 0 & 0 & \frac{k_t}{J_{eq}} \\ 1 & 0 & 0 \\ -\frac{k_e}{L} & 0 & -\frac{R}{L} \end{bmatrix} \begin{Bmatrix} \omega_{em} \\ \theta_{em} \\ I \end{Bmatrix} + \begin{bmatrix} 0 & -\frac{1}{J_{eq}} \\ 0 & 0 \\ \frac{1}{L} & 0 \end{bmatrix} \begin{Bmatrix} V_{DC} \\ T_r \end{Bmatrix}$$

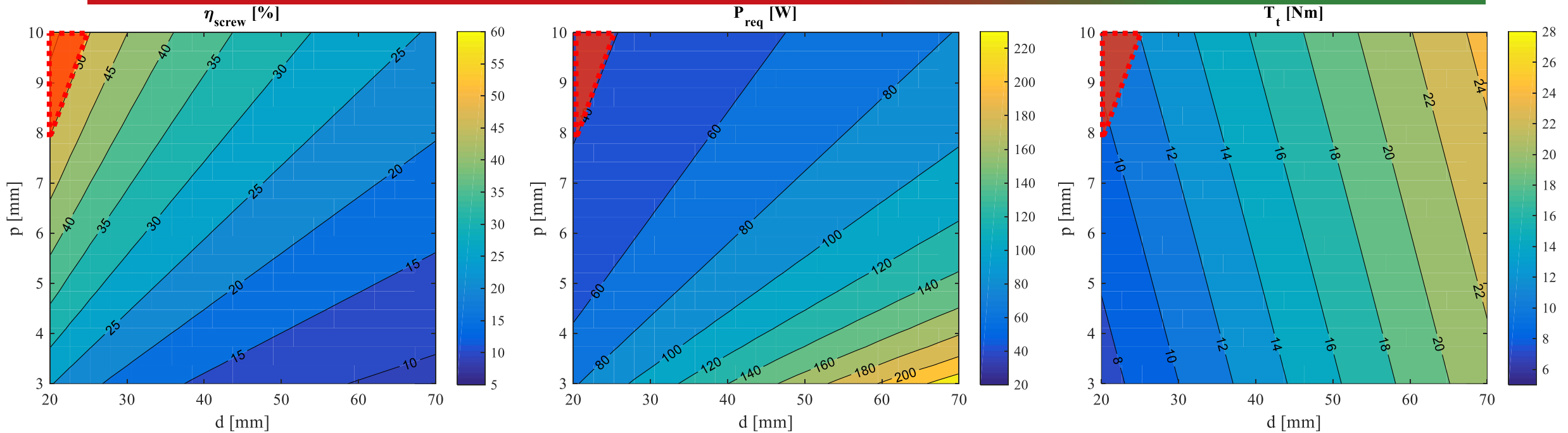
$$P_{req,EM} = \frac{F_n}{\eta_{tot}} \cdot \frac{s}{t}$$

- ประสิทธิภาพการส่งสัญญาณสามารถประมาณได้
- ประสิทธิภาพของสกรูสามารถคำนวณได้จากค่าต่างๆ ของเส้นผ่านศูนย์กลางและระยะพิทช์

# ขั้นตอนการออกแบบ



## การคำนวณตัวแปร



- ยิ่งเส้นผ่านศูนย์กลางใหญ่เท่าไร ประสิทธิภาพก็ยิ่งเล็กลงเท่านั้น กำลังและแรงบิดที่ต้องการเพิ่มขึ้น;
- การเลือกกำลังมอเตอร์ไฟฟ้า;
- การเลือกอัตราส่วนลดการส่ง.



ข้อจำกัดที่ไม่สามารถย้อนกลับได้

# ขั้นตอนการออกแบบ

ปัญหาการเพิ่มประสิทธิภาพ – ช่วงล่างด้านหน้า (McPherson)

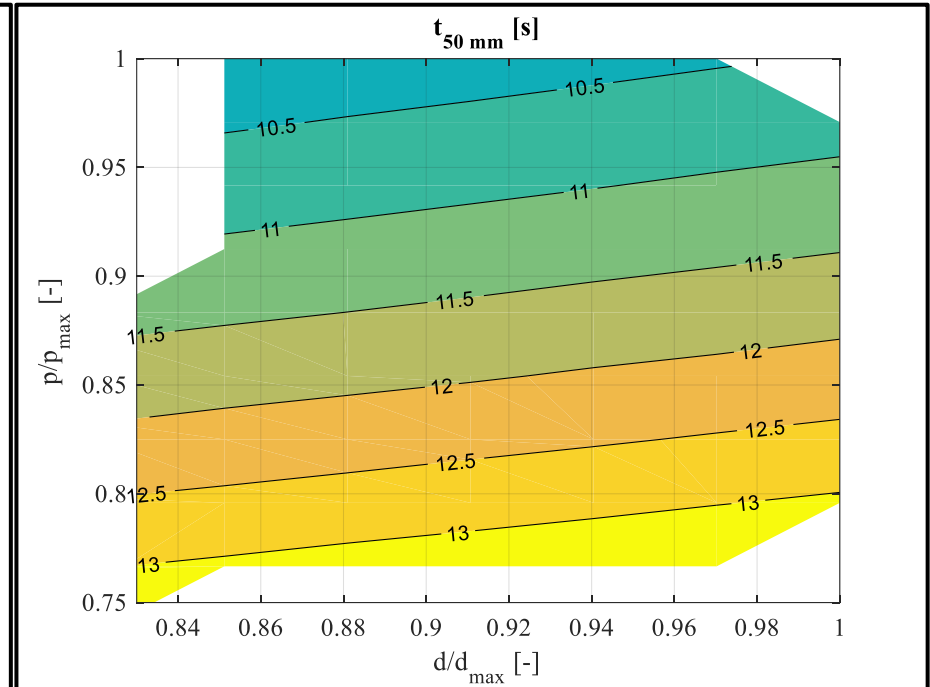
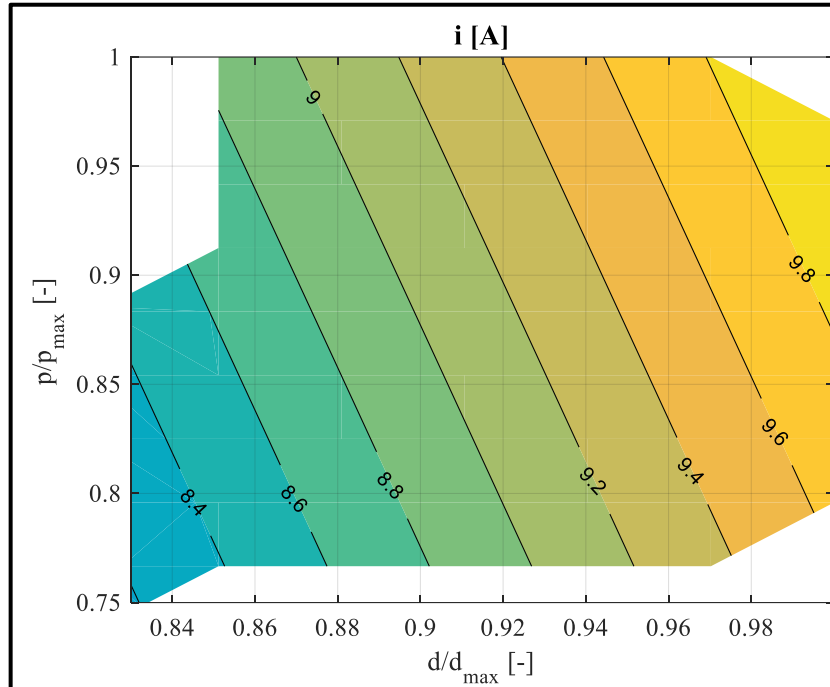
ข้อจำกัด

$$\eta_s < 50\%$$

$$d_{in,s} > d_{tube}$$

$$i < i_{th}$$

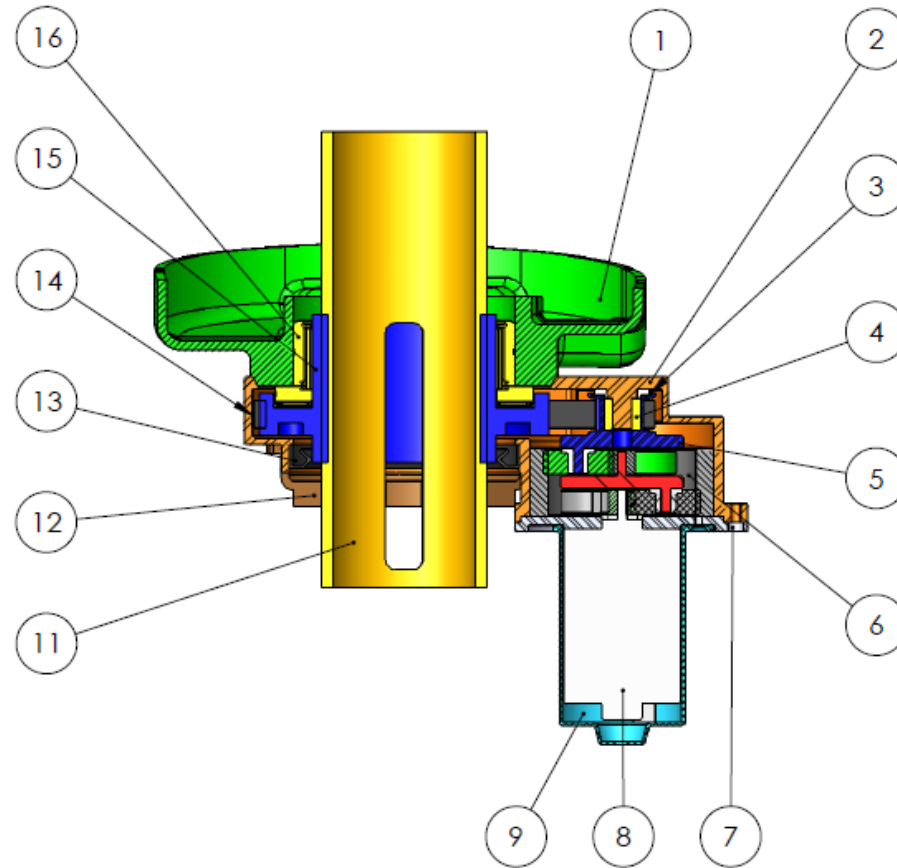
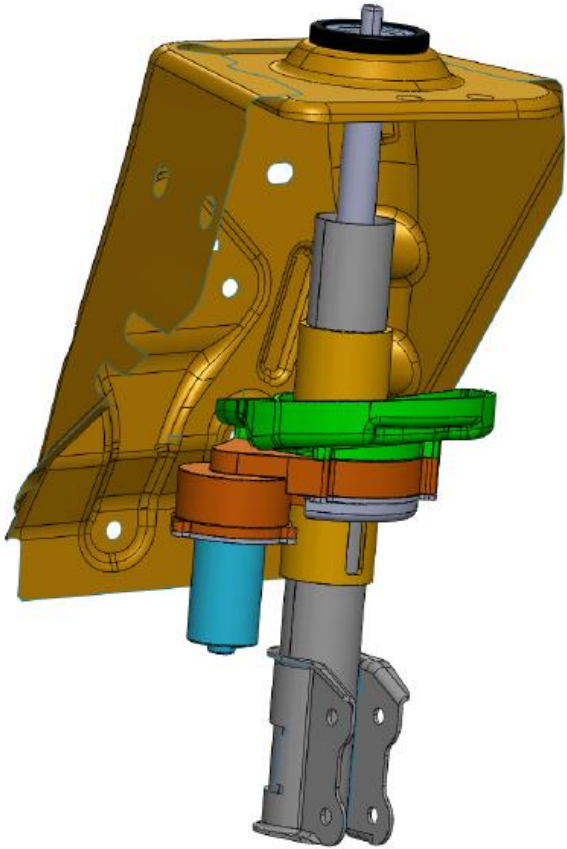
$$t_{50\text{ mm}} < t_{max}$$





# การออกแบบต้นแบบ

ช่วงล่างด้านหน้า (McPherson)

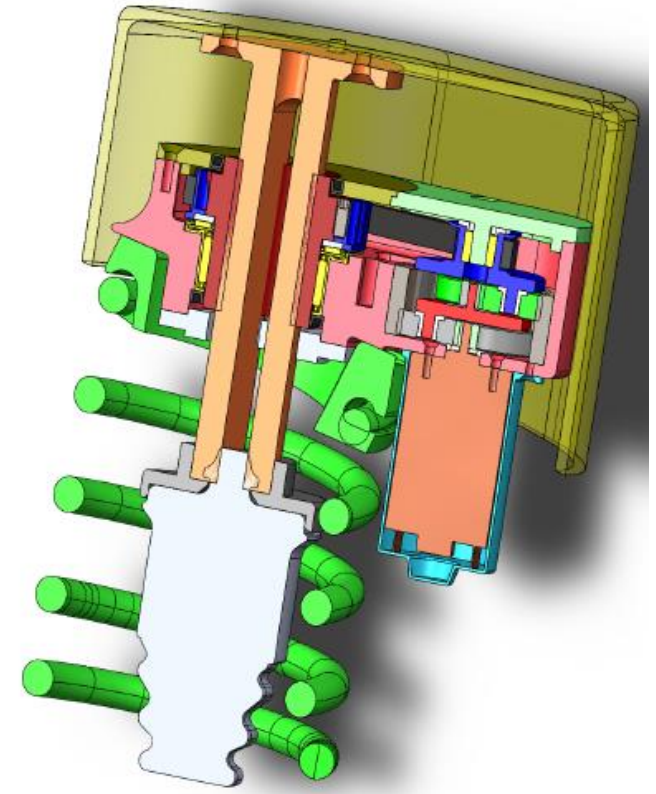
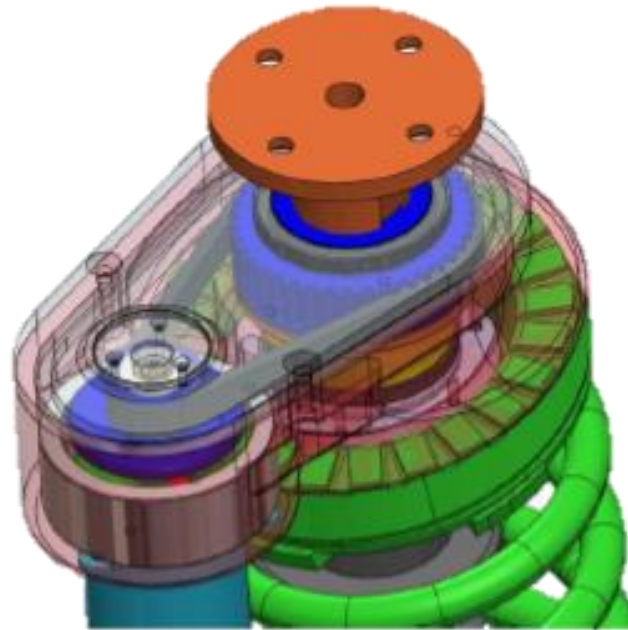
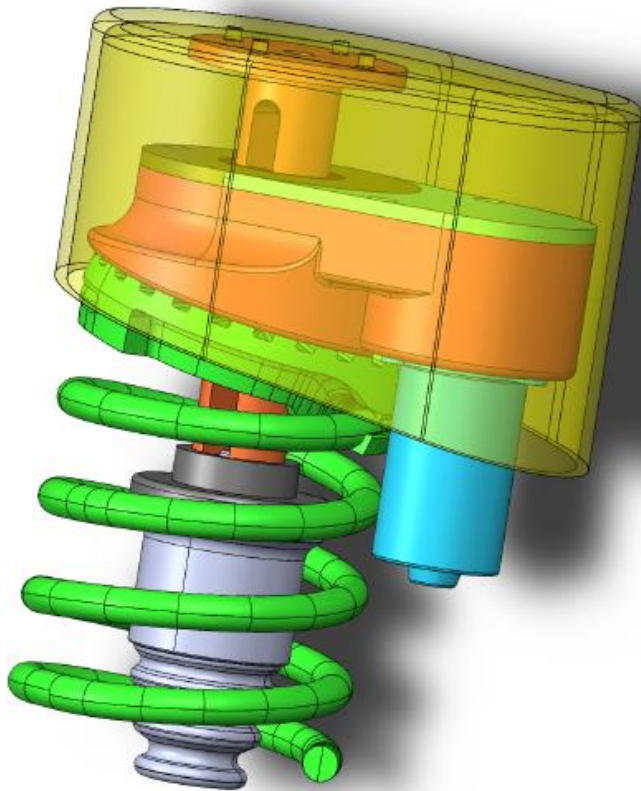


ITEM NO.	PART NUMBER	QTY.
1	Spring holder	1
2	Motor support	1
3	Pulley bushing	1
4	Needle bearing	1
5	Small pulley+carrier	1
6	Geartrain assembly	1
7	Motor support cover	1
8	DC electric motor	1
9	Motor cover	1
10	Shock absorber tube	1
11	Power screw	1
12	Anti rotation system	2
13	Sealing ring	1
14	Timing HTD Belt	1
15	Large pulley	1
16	Combined bearing	1



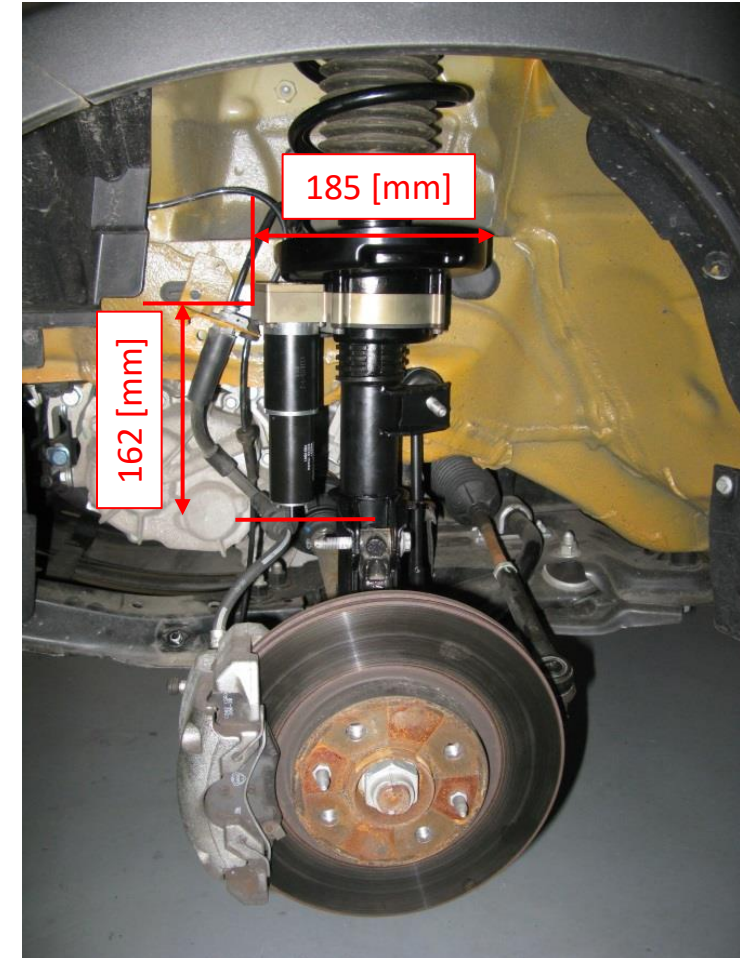
Co-funded by the  
Erasmus+ Programme  
of the European Union

# ระบบกันสะเทือนหลัง



# การสร้างต้นแบบ

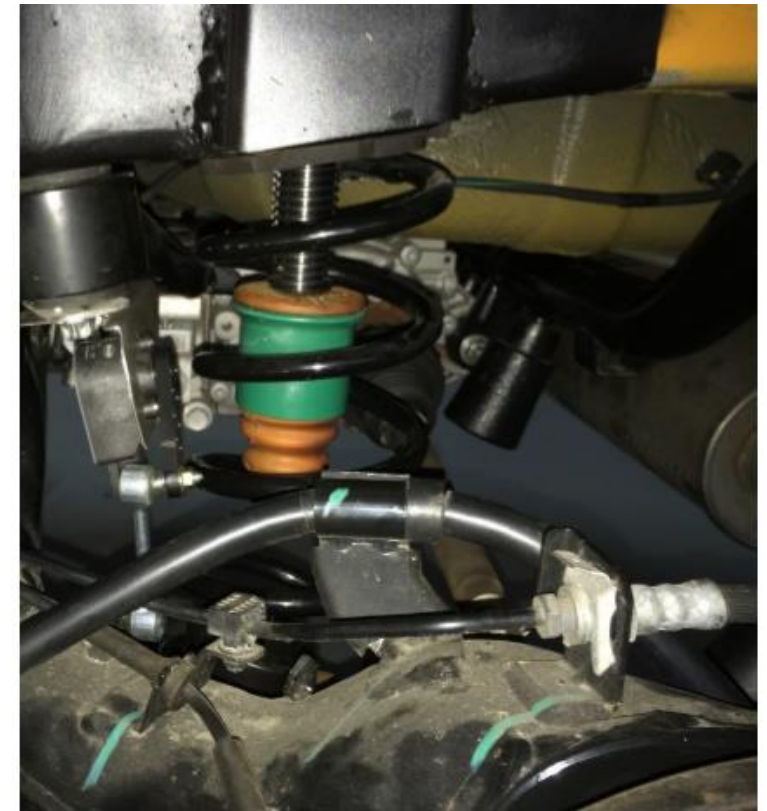
ส่วนประกอบช่วงล่างด้านหน้า



- มวลเพิ่มทั้งหมด = 2.2 kg (unsprung mass)

# การสร้างต้นแบบ

ส่วนประกอบช่วงล่างด้านหลัง

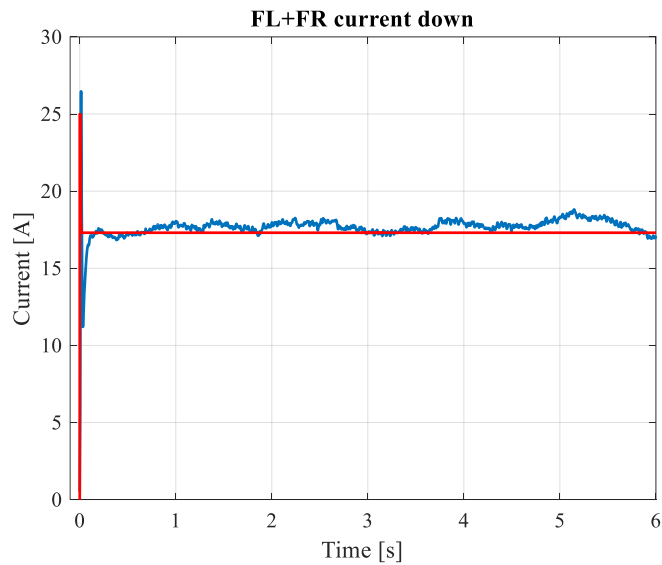


- Total added mass= 2.1 kg (sprung mass)

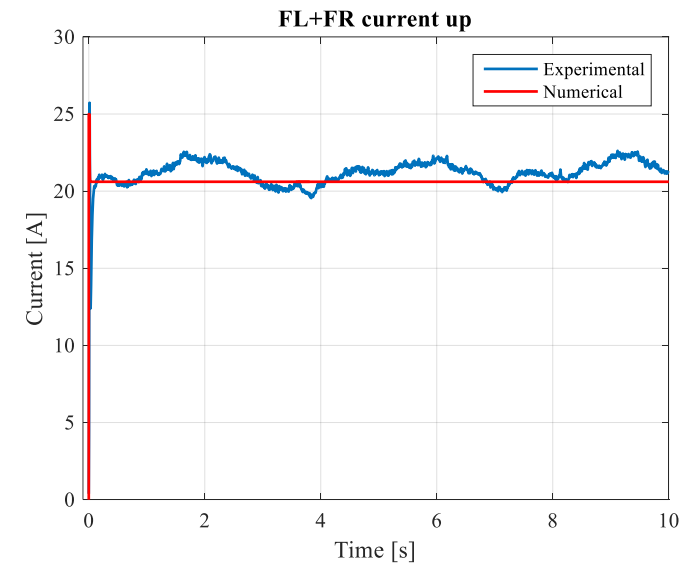
# การตรวจสอบการทดลอง



การดูระดับกระแสไฟช่วงล่างด้านหน้า



$$i_{mean} = 17 A$$
$$P_{mean} = 200 W$$



$$i_{mean} = 21 A$$
$$P_{mean} = 250 W$$

# บทสรุป



- ระบบกันสะเทือนแบบปรับความสูงดูเหมือนจะเป็นเทคโนโลยีที่มีแนวโน้มว่าจะลดการใช้เชื้อเพลิงและการปล่อยมลพิษ โดยเพิ่มคุณสมบัติอย่างเช่น การออกแบบออฟโรด และการเข้าถึงได้;
- ระบบกระตุ้นการทำงานของเครื่องกลไฟฟ้าแสดงให้เห็นถึงการประเมินประนีประนอมที่ดีที่สุดระหว่างผลประโยชน์และต้นทุนในอุปกรณ์ปรับความสูง;
- จำเป็นต้องมีการออกแบบแบบบูรณาการเพื่อให้เกิดความสมดุลระหว่างขนาด น้ำหนัก และการใช้พลังงาน;
- การทดสอบทดลองที่ดำเนินการกับต้นแบบได้เน้นถึงประเด็นสำคัญ เช่น ประสิทธิภาพของสกรู อุปกรณ์ป้องกันการหมุน และบรรจุภัณฑ์;
- การกระตุ้นที่แตกต่างกันดูเหมือนจะเป็นสร้างความสมดุลที่ดีในแง่ของประสิทธิภาพ ความทนทาน และบรรจุภัณฑ์

# การปรับปรุง

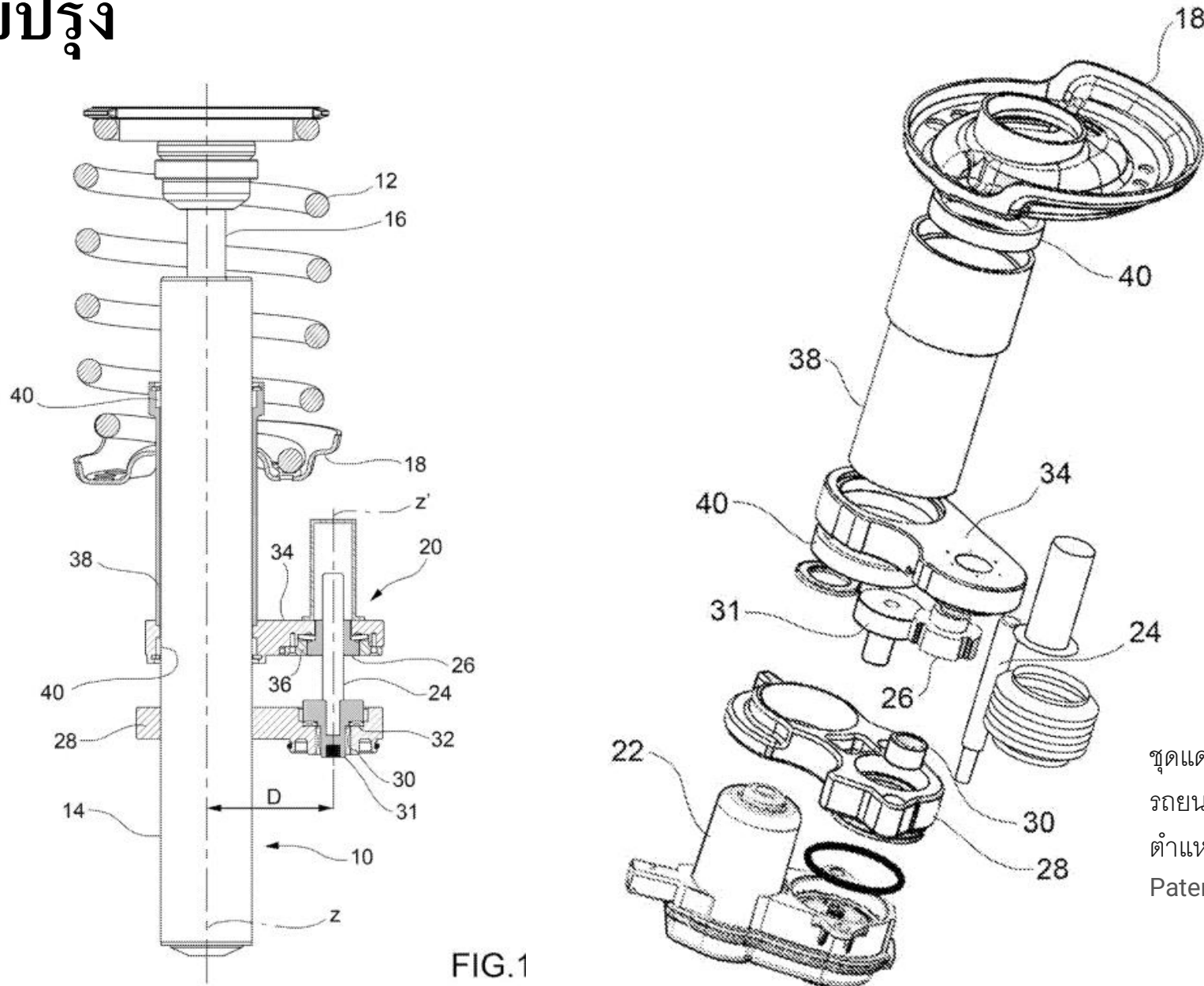


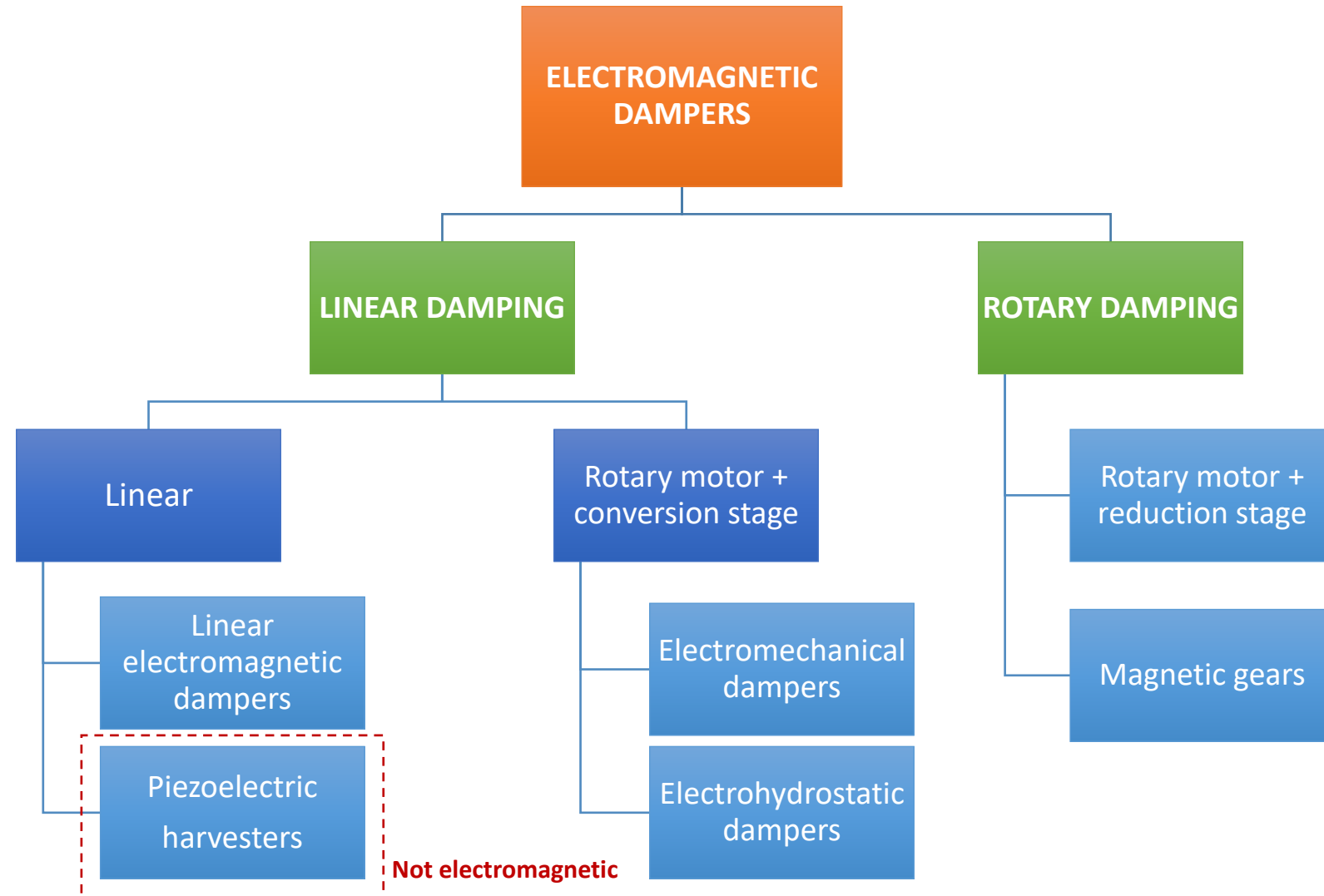
FIG.1

ชุดแอดมเปอร์และสปริงสำหรับระบบกันสะเทือนรถยนต์ที่มีอุปกรณ์ปรับทางกลไฟฟ้าสำหรับปรับตำแหน่งแนวตั้งของสปริง  
Patent: WO2019097461A1

## ระบบควบคุมช่วงล่างแบบหมุนเวียน

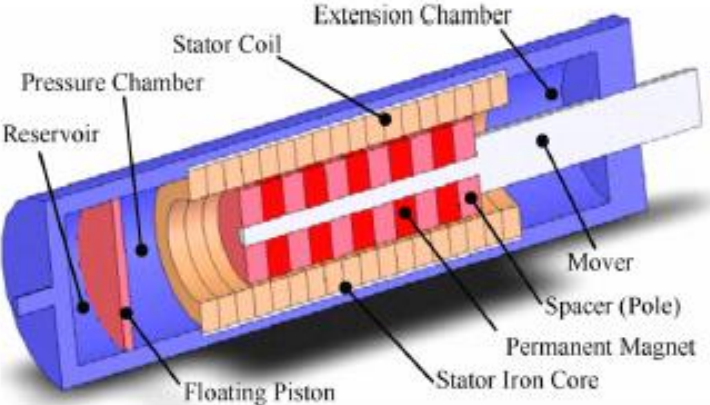


# การจำแนกประเภทของแดมเปอร์แม่เหล็กไฟฟ้า

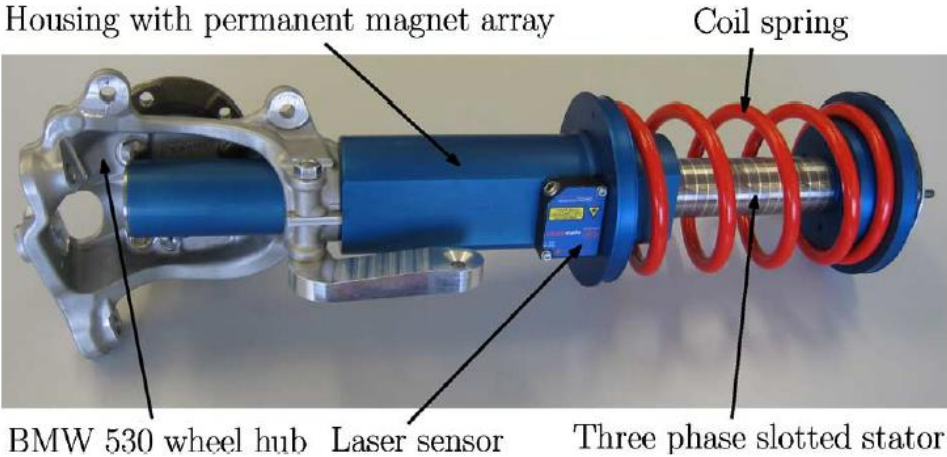


# Dampers แม่เหล็กไฟฟ้าเชิงเส้น

**Ebrahimi et al.** เสนอตัวลดแรงสั่นสะเทือนเชิงเส้นที่มีความหนาแน่นของพลังงานต่ำ เนื่องจาก 80% ของการทำ **damping** เกิดขึ้นด้วยวิธีการแบบ **passive** ในขณะที่อีก 20% ที่เหลือเป็นแบบ **active** แม่เหล็กไฟฟ้าแบบ **active** .

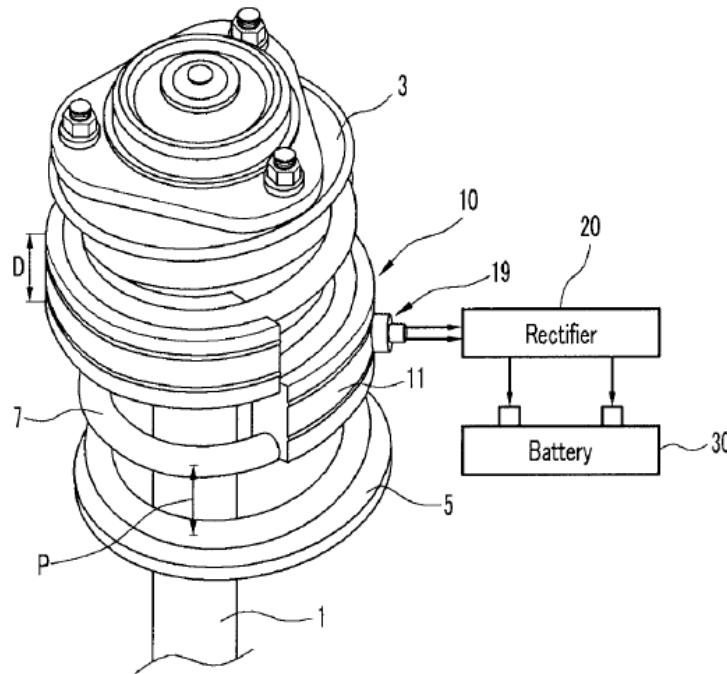


**Paulides et al.** เสนอตัวหน่วงเชิงเส้นเพื่อใช้ควบคุมไปกับองค์ประกอบที่กระจายตัว พวกเขาสามารถให้แรง **RMS** ที่ **1 kN** และ **2.5 kN** ของแรงสูงสุด อุปกรณ์ต้องการพลังงานไฟฟ้า **40-50 W** เนื่องจากการควบคุมแบบ **active**.

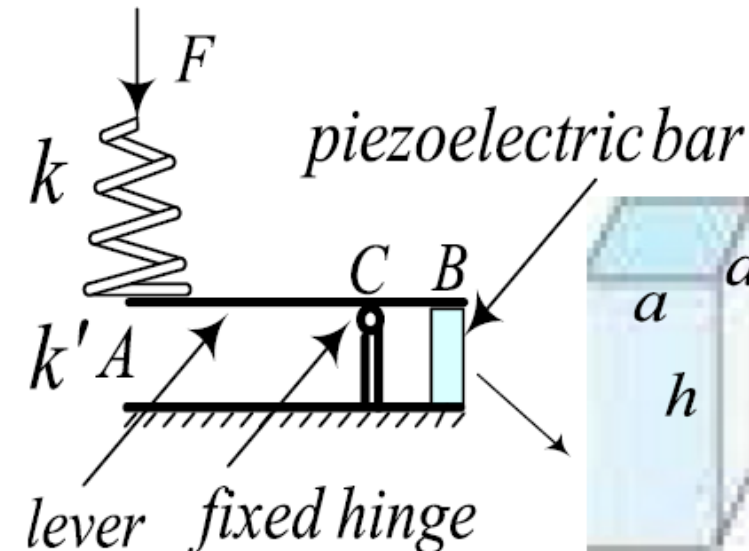


# Piezoelectric Harvesters

**Hyundai** จดสิทธิบัตรโซลูชันอาเรย์แบบเพียโซอิเล็กทริก สำหรับติดตั้งบนคอยล์สปริงและเก็บเกี่ยวกำลังจากการเคลื่อนที่เชิงเส้น พวกเขาไม่ให้ข้อมูลเกี่ยวกับพลังที่เก็บเกี่ยว



**Xie and Wang** ขอแนะนำให้ใช้แท่งเพียโซอิเล็กทริกระหว่างมวลสปริงและแขนช่วงล่างเพื่อเก็บเกี่ยวพลังงานจากการเคลื่อนที่ของช่วงล่างด้วยหนึ่งแถบขนาด  $15 \times 15 \times 100$  mm, อุปกรณ์สามารถรับกำลัง RMS 738 W ที่วิ่งผ่าน ISO D profile at 35 km/h.



# Electromechanical Dampers

## Ball screw solutions

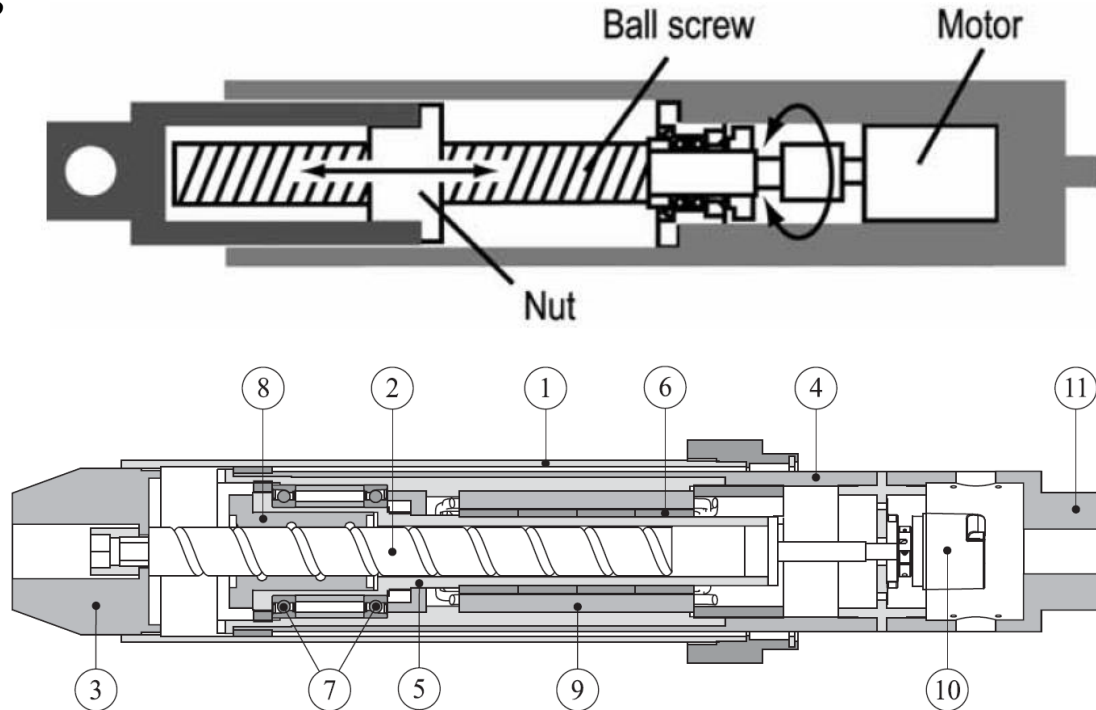


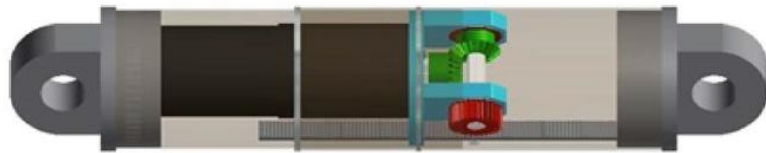
Figure 3. Shock absorber detailed section view. (1) Outer housing, (2) screw, (3) bottom cap, (4) inner housing, (5) rotor, (6) permanent magnets, (7) ball bearings, (8) nut, (9) stator, (10) encoder, (11) top cap.

**Kawamoto et al.** rotating screw solution for passenger cars.

**Tonoli et al.** rotating nut solution for off road vehicles.

# Electromechanical Dampers

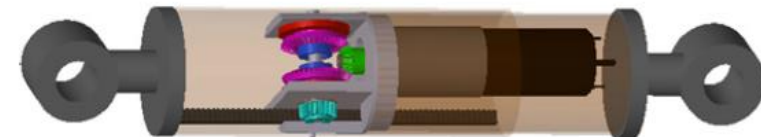
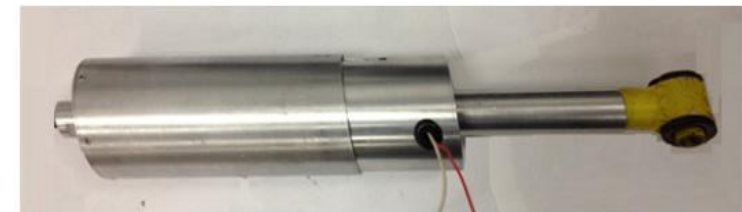
## Rack pinion solutions (Zuo et al.)



**Non-rectified solution** ให้กำลังเฉลี่ย 19.2 วัตต์เมื่อวิ่งด้วยความเร็ว 48 กม./ชม. บน "ถนนในมหาวิทยาลัยที่ค่อนข้างราบรื่น" (probably between ISO B and ISO C).

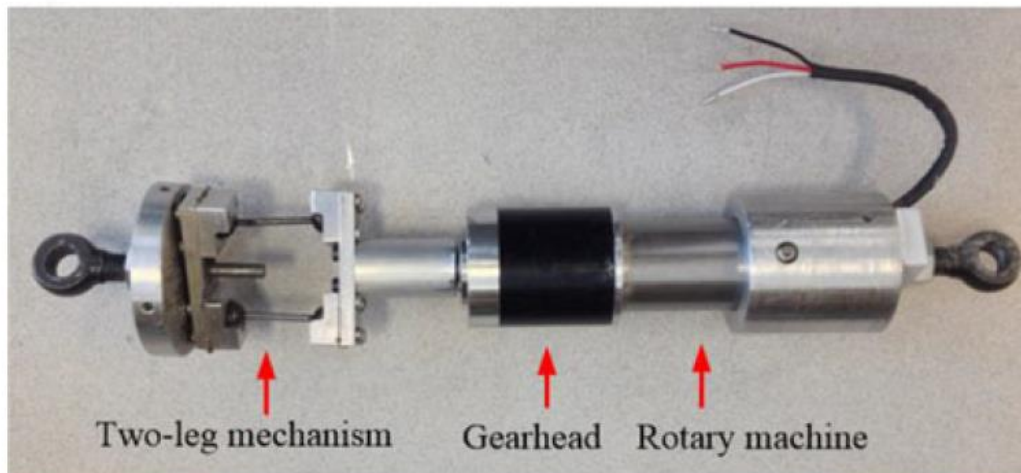


**Rectified solution** ให้กำลังเฉลี่ย 15.2 วัตต์เมื่อวิ่งด้วยความเร็ว 25 กม./ชม. บน "ถนนในมหาวิทยาลัยที่ค่อนข้างราบเรียบ" (probably between ISO B and ISO C).



# Electromechanical Dampers

## กลไกสองขา



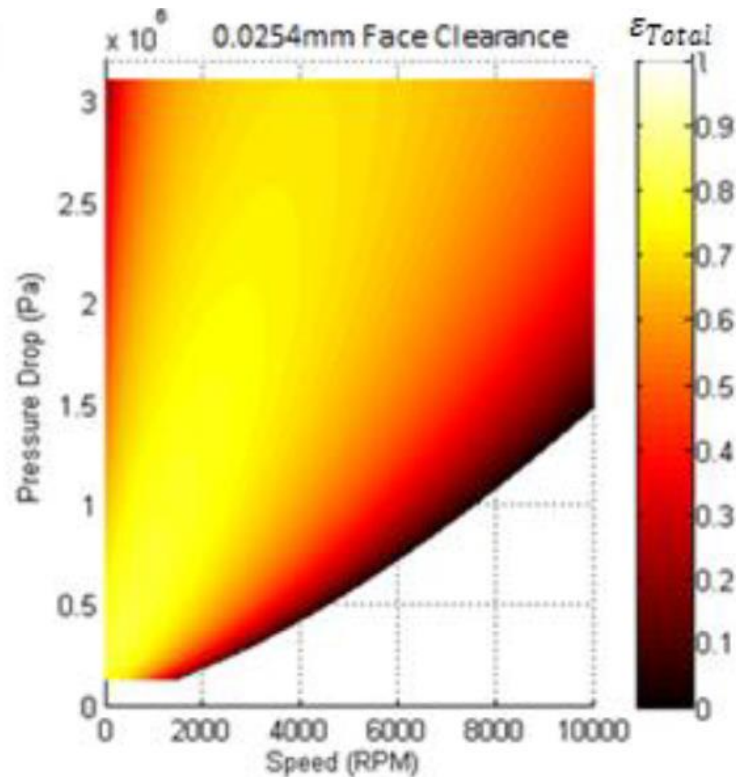
**Maravandi et al.** นำเสนอกกลไกคันโยกสองขาเพื่อแปลงเชิงเส้นเป็นการเคลื่อนที่แบบหมุน.

การทดสอบด้วยเครื่องปั่นแสดงให้เห็นถึงประสิทธิภาพการแปลงโดยรวมของ 0.59.

อย่างไรก็ตาม อุปกรณ์ต้องใช้เกียร์เพื่อขยายการหมุนและจังหวะถูกจำกัดโดยความเอียงของขาทั้งสองข้าง.

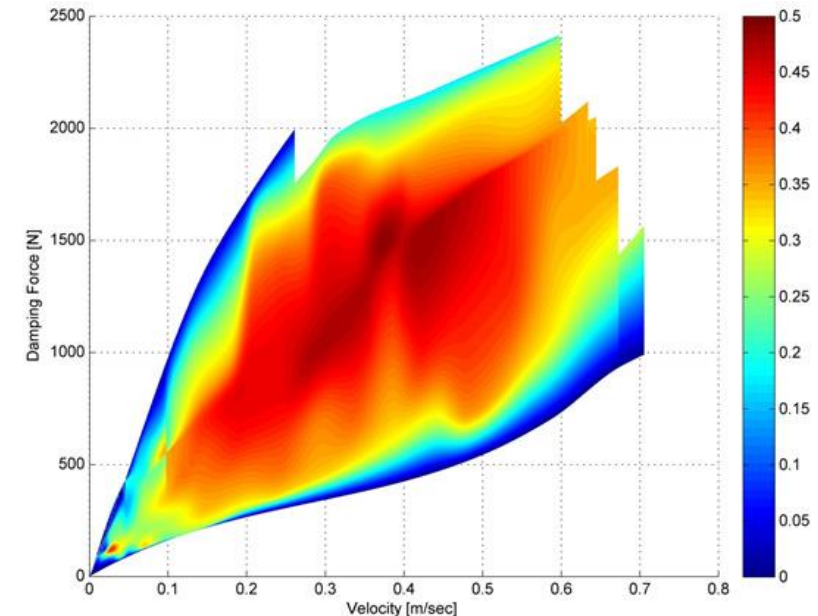
# Electrohydrostatic Dampers

- **Levant Power** นำเสนอสิทธิบัตรจำนวนมากและเอกสารการประชุมบางส่วนในบริบทของ electrohydrostatic dampers.



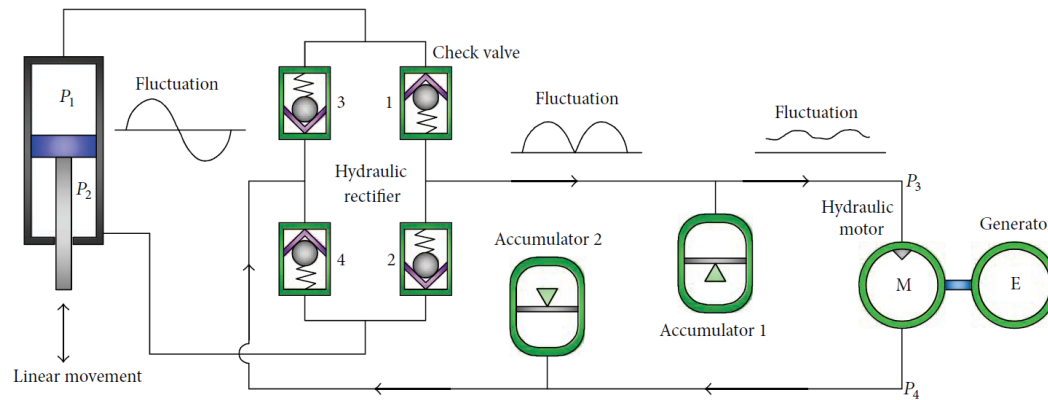
กระดาษของพวกเขาแสดงประสิทธิภาพของปั๊มสูง (สูงสุด 0.8 ทางกล + ไฮดรอลิก) ที่ได้รับการจำลอง.

อย่างไรก็ตาม เว็บไซต์ของพวกเขาแนะนำพล็อตประสิทธิภาพโดยรวมต่อไป นี้ โดยที่ **max.** ค่า 0.5.

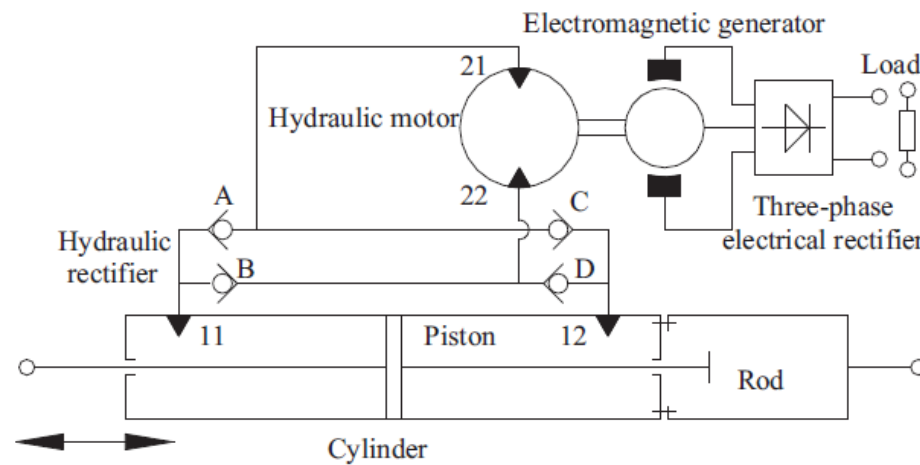


# Electrohydrostatic Dampers

## Rectified solutions



**Fang et al.** นำเสนอผู้สําคัญเทคโนโลยีที่สามารถให้ประสิทธิภาพการแปลงโดยรวมของ 16.5%.

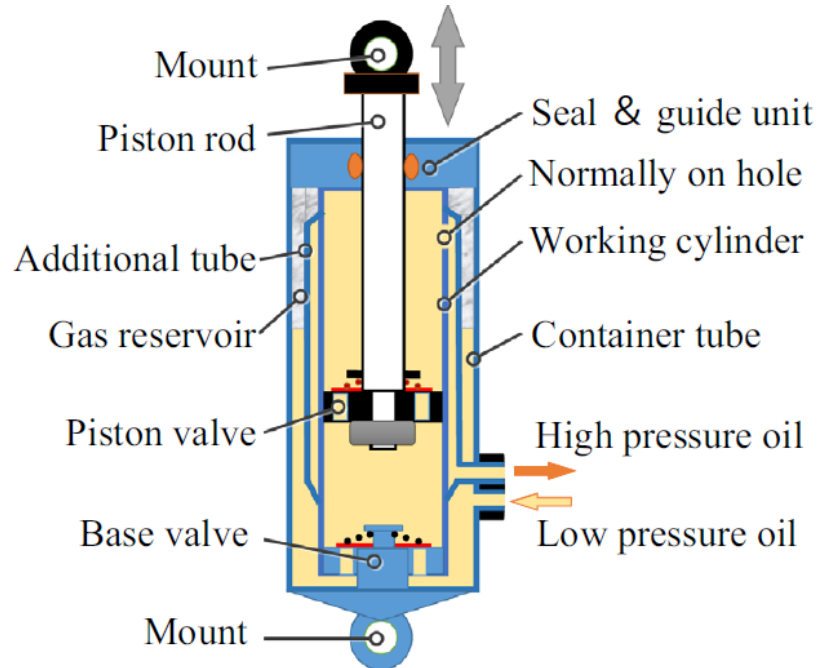


**Li et al.** นำเสนอต้นแบบที่มีประสิทธิภาพการแปลงรวมของ 39%



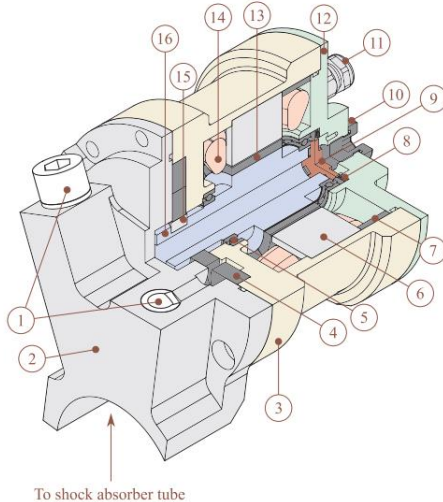
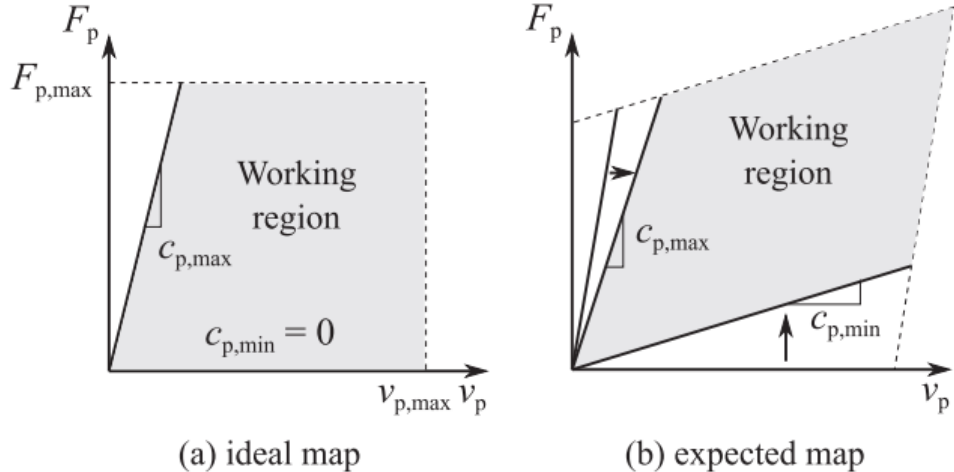
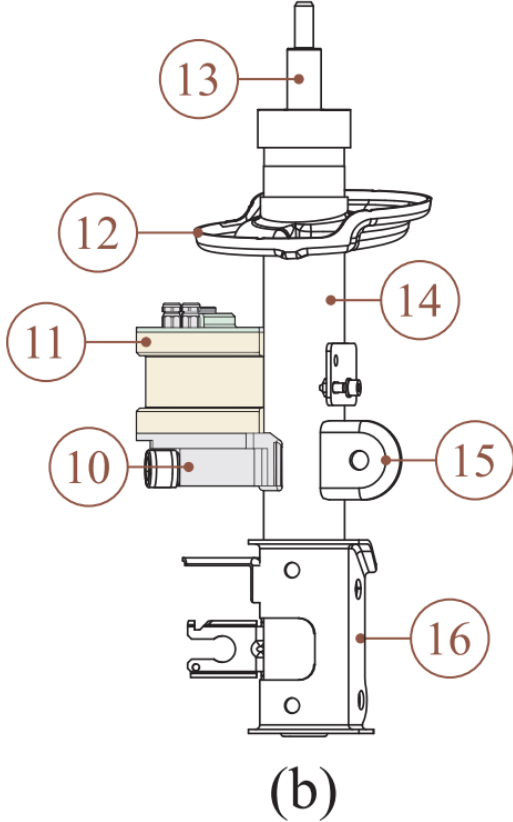
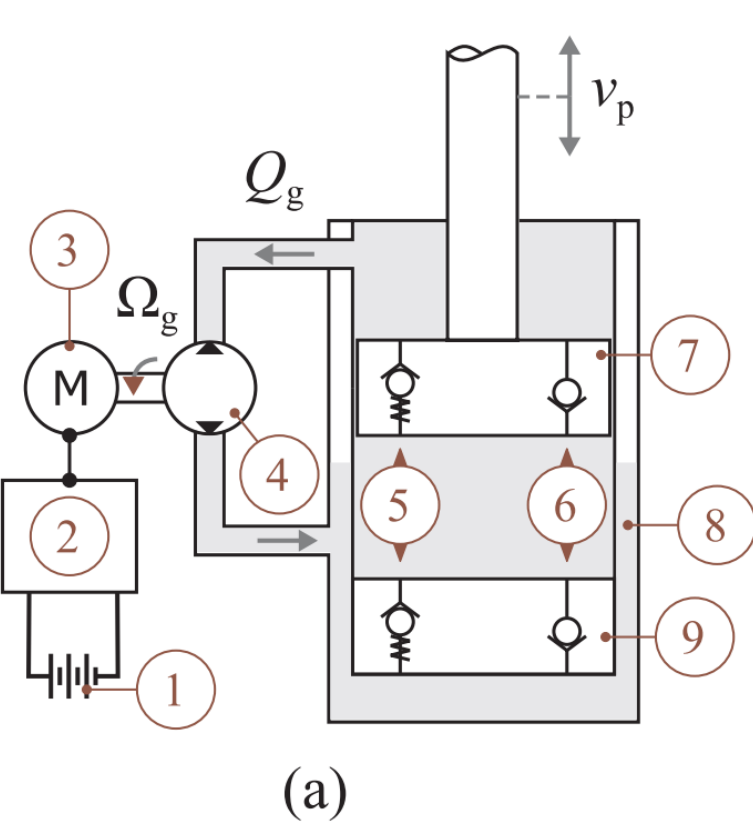
# Electrohydrostatic Dampers

## *Rectified solutions*



**Zhang et al.** กำหนดประสิทธิภาพไฮดรอลิกที่ดีที่สุดของใช้อัฟแบบสามท่อ (73%) ผ่านการสร้างแบบจำลองและการจำลองโดยละเอียดเมื่อใช้กับเลย์เอาต์แดมเปอร์แม่เหล็กไฟฟ้า.

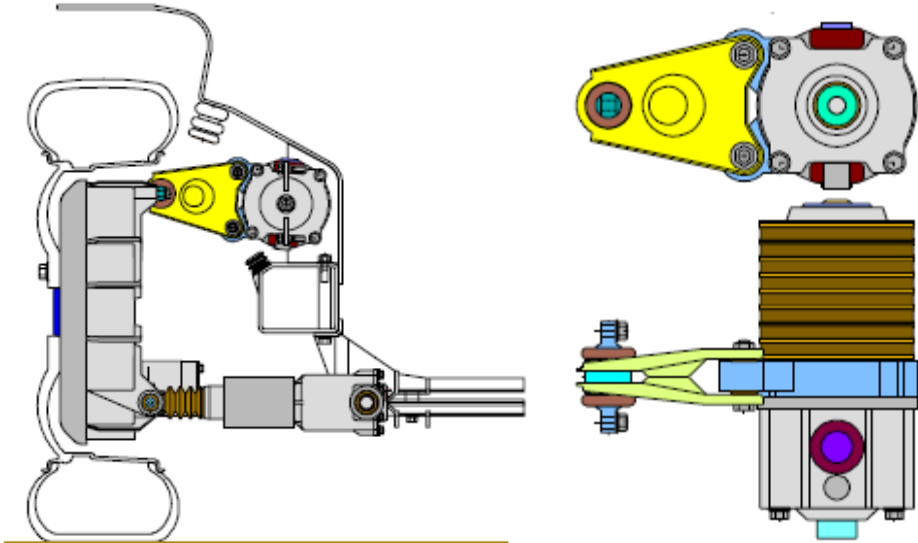
# Electrohydrostatic Damper



การออกแบบที่เหมาะสมที่สุดและการกำหนดคุณลักษณะของชุดมอเตอร์ปั๊มสำหรับใช้กับแบบหมุนเวียนพลังงาน

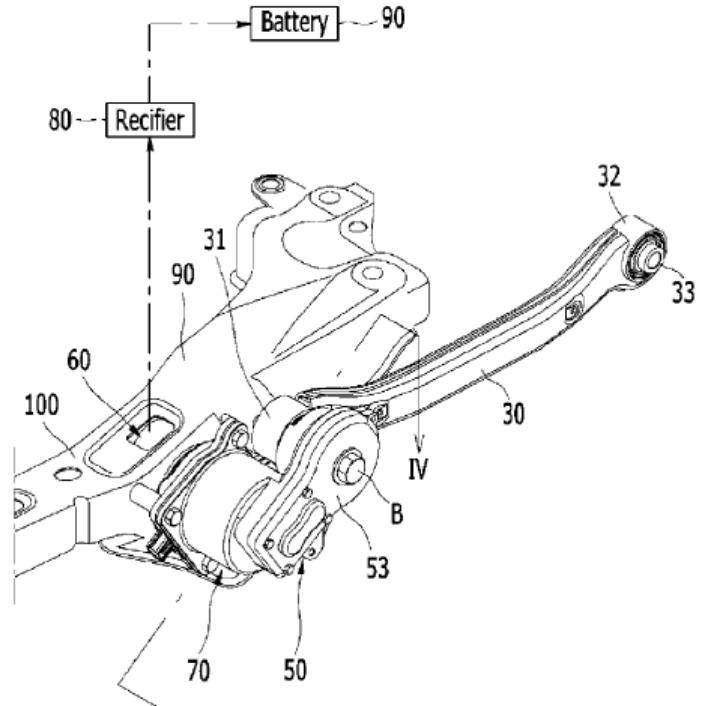
Renato Galluzzi, Yijun Xu, Nicola Amati, Andrea Tonoli

# Rotary Dampers



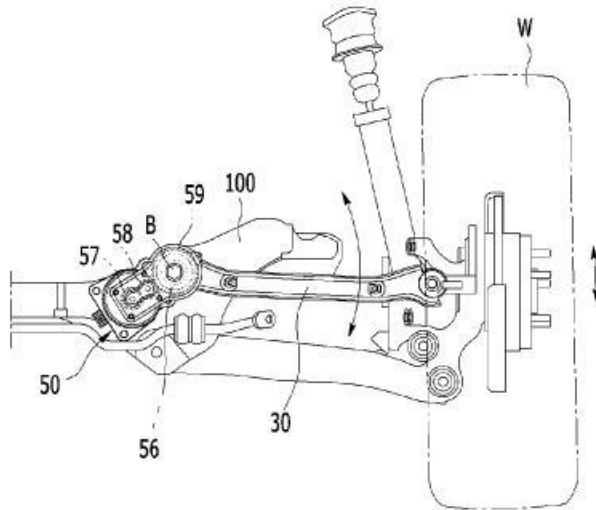
ชุดสปริงแตรเมอร์แบบหมุนของ **Volvo**  
**Damping** เป็นแบบกึ่งแอคทีฟ (ของเหลว MR) หนึ่งในรูปแบบ **rotary** แรกๆ.

**Hyundai** rotary damper unit.  
**Motor + Reduction Stage.**

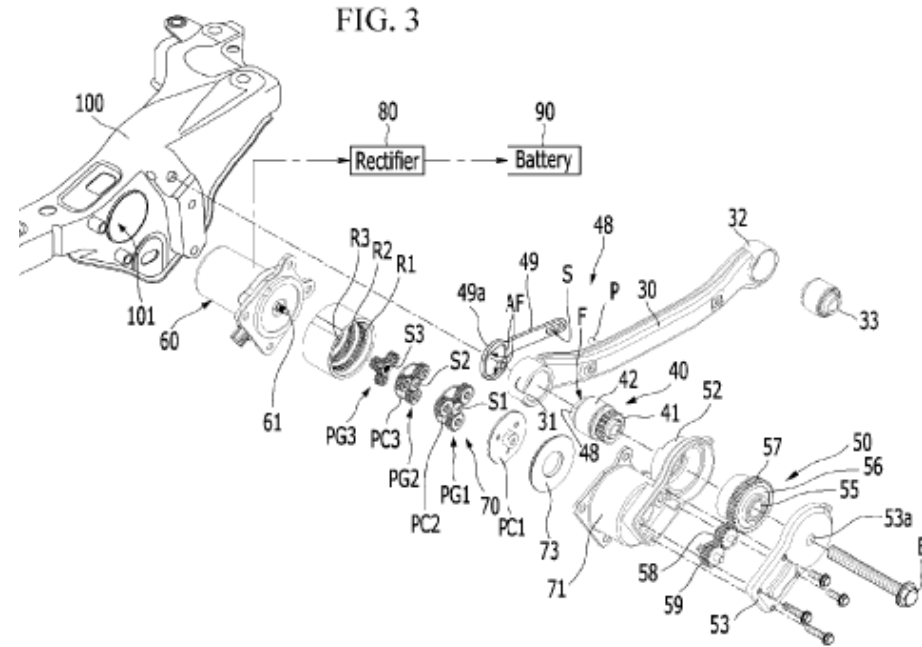


# State of Art – Electromechanical Rotary Damper

Hyundai [DE102013225356]

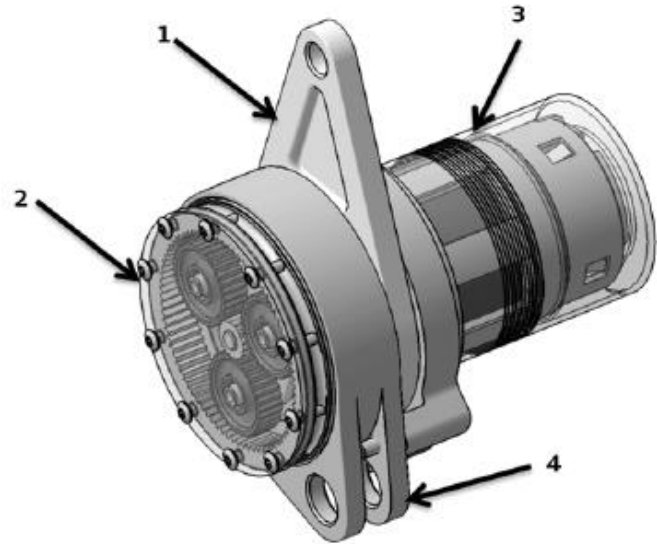


- คลัตช์ทางเดียว 56. อาจกำหนดค่าให้ส่งกำลังในการกระแทกหรือดีดตัวกลับได้



- กระจุกเกียร์:
  - 1 สเตจแกนขนาน (57, 59)
  - +
  - 3 planetary set Stages (PC1-PG3)

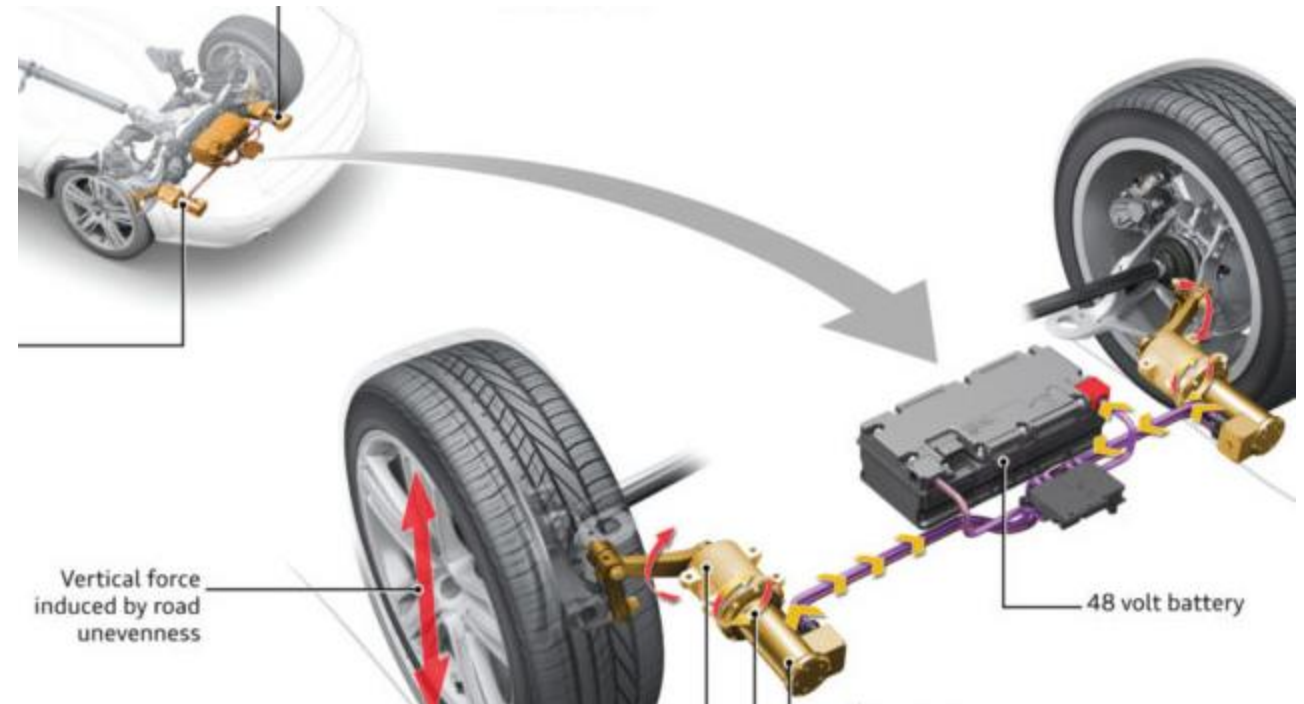
# Rotary Dampers (Motor + Reduction Stage)



## Audi eROT

1. คันบังคับ
2. กระจุกเกียร์ดาวเคราะห์สองขั้นตอน
3. เครื่องจักรไฟฟ้า

AUDI อ้างว่ากำลัง 100-150 W จาก 4 มุมที่  
วิ่งบนถนนในเยอรมัน โดยประหยัดการปล่อย  
ก๊าซเรือนกระจก 3 gCO<sub>2</sub>/km



# ระบบควบคุมการหมุนแบบแอคทีฟ



# วิเคราะห์ระบบ ARC

- ระบบแอกชูเอเตอร์ไฟฟ้าไฮดรอสแตติกเชิงเส้น
- ระบบตัวกระตุ้นไฟฟ้าไฮดรอสแตติกโรตารี
- ระบบตัวกระตุ้นเครื่องกลไฟฟ้าแบบหมุน
- ระบบตัวกระตุ้นแบบเครื่องกลไฟฟ้าเชิงเส้นตรง
- ระบบตัวกระตุ้นแบบเครื่องกลไฟฟ้าเชิงเส้นตรงที่ไม่ใช่เชิงเส้น



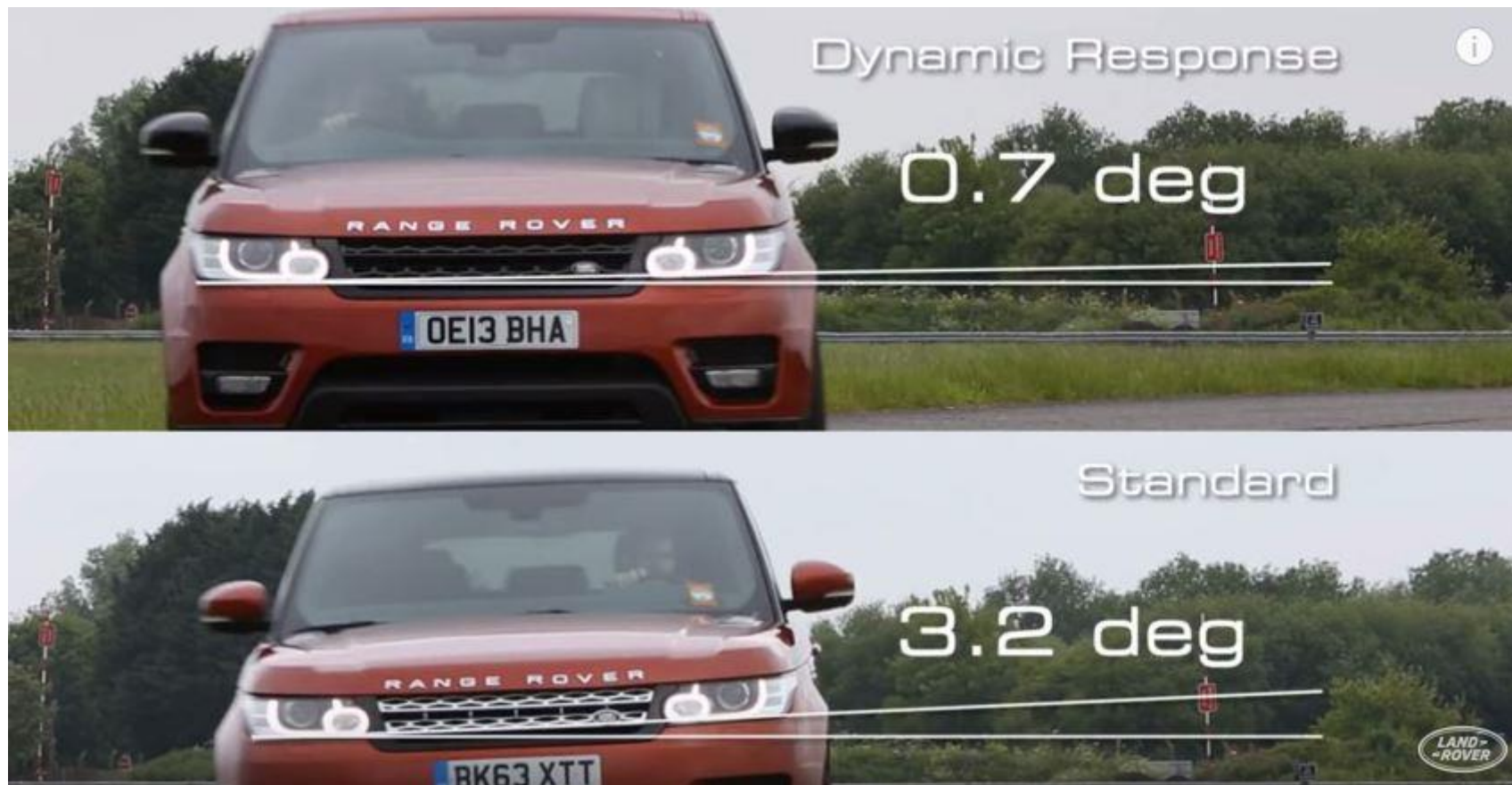
# ระบบ ARC Hydrostatic ไฟฟ้า



Land Rover Range Rover (2016 model) “Dynamic Response” system. Rotary Electric Hydrostatic ARC system by Delphi.



แรงดันสูงสุด = 185 บาร์  
อัตราการาด = 400 บาร์/วินาที  
ความเร็วปั๊ม = 11250 RPM  
ระยะยุบตัวล้อหน้า 260 มม.



Co-funded by the  
Erasmus+ Programme  
of the European Union

<https://youtu.be/XulkFsUnw64>



# ระบบไฮดรอลิก ARC



BMW X5 M และ X6 M มีคุณสมบัติ  
ระบบ BMW Dynamic Drive (เวอร์ชันเก่า)  
ซึ่งประกอบด้วยตัวกระตุ้นไฮดรอลิกแบบโรตารีที่วาง  
อยู่ตรงกลางของเหล็กกันโคลง



Co-funded by the  
Erasmus+ Programme  
of the European Union

Source: BMW

# ระบบ ARC เครื่องกลไฟฟ้าแบบหมุน - Schaeffler



## Schaeffler Design 1 – 12 V

ปีเอ็มดับเบิลยู ซีรีส์ 7 ระบบ Schaeffler ARC (รุ่น BMW Dynamic Drive ใหม่) แทนที่ระบบ ARC แบบโรตารีไฮดรอลิกของรุ่นก่อนหน้า



นอกจากนี้ Rolls-Royce Phantom ยังติดตั้งระบบ Schaeffler ARC Design 1



Source: BMW



Co-funded by the  
Erasmus+ Programme  
of the European Union

# ระบบ ARC เครื่องกลไฟฟ้าแบบหมุน - Schaeffler



Schaeffler Design 2 – 48 V

ระบบ ARC ติดตั้ง Audi SQ7 พร้อมด้วย Bentley Bentayga และ Bentley Mulsanne



Co-funded by the  
Erasmus+ Programme  
of the European Union

Source: Schaeffler

# ระบบ ARC แบบโรตารีไฟฟ้า - ZF



ระบบ ARC profile VI ได้รับการติดตั้งใน Porsche Cayenne และ Porsche Panamera และเป็นแกนหลักของ Porsche Dynamic Chassis Control (PDCC)



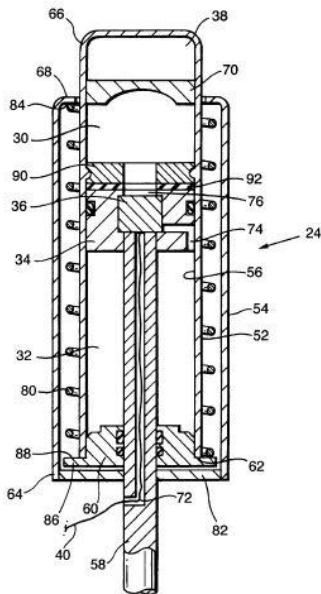
Co-funded by the  
Erasmus+ Programme  
of the European Union

Source: ZF

# ระบบแอกชูเอเตอร์ไฟฟ้าไฮดรอสแตติกเชิงเส้น



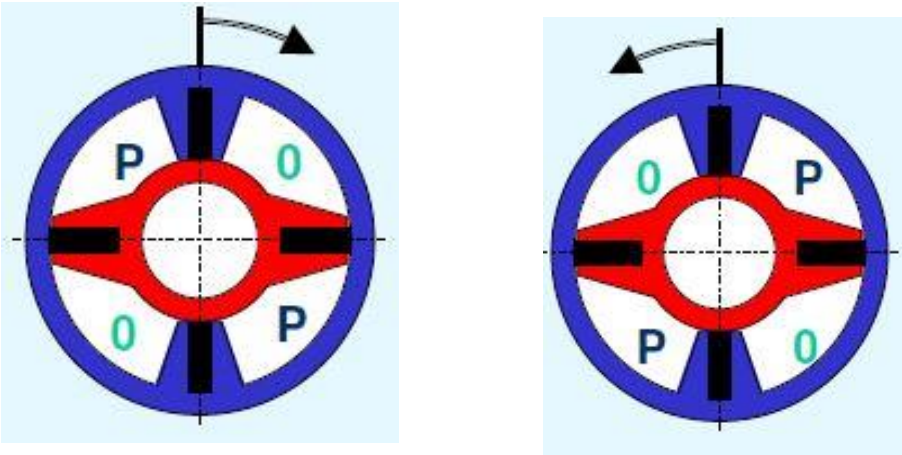
แท่งลูกตุ้มถูกแทนที่ด้วยแอกชูเอเตอร์เชิงเส้นตรงแบบไฮดรอลิกแบบคู่ซึ่งออกแรงแรงบิดบนเหล็กกันโคลง ทนทานต่อโมเมนต์การหมุนของตัวรถ



แอกชูเอเตอร์ของเดลฟีเป็นของตัวเองสำหรับระบบ **ARC** ซึ่งมีห้องอัดแก๊ส ลูกสูบลอย สปริงอัด วาล์วควบคุมด้วยไฟฟ้าระหว่างห้องอัดและรีบาวด์ และเจาะตามก้านลูกสูบ

# ระบบตัวกระตุ้นไฟฟ้าไฮดรอสแตติกโรตารี

ตัวกระตุ้นโรตารีแบบทำหน้าที่สองทางถูกวางไว้ตรงกลางของแถบป้องกันการหมุน แอคทูเอเตอร์จะหมุนทอร์ชันบาร์ทั้งสองส่วน โดยปรับแรงบิดที่ส่งมาจากบาร์เพื่อชดเชยการถ่ายเทโหลดระหว่างทางโค้ง



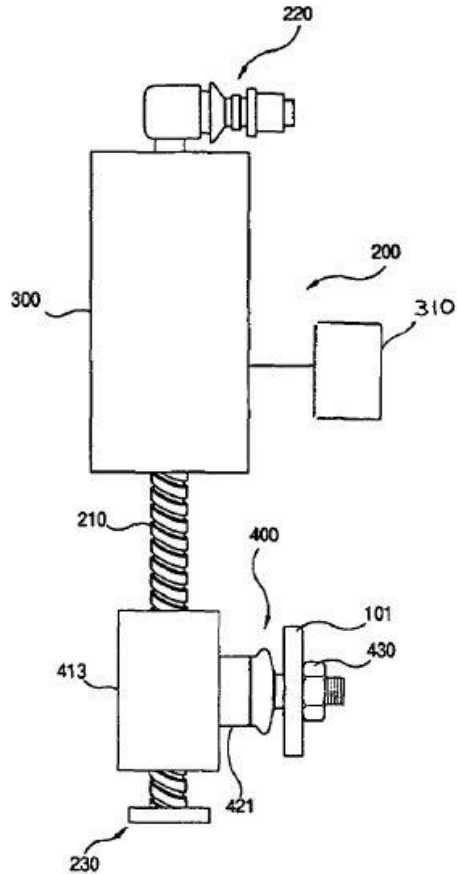
โมเมนต์ป้องกันการหมุนที่กระทำโดยตัวกระตุ้นแบบโรตารีในแถบป้องกันการหมุนเป็นฟังก์ชันของความแตกต่างของแรงดันภายในแอคทูเอเตอร์

# ระบบตัวกระตุ้นเครื่องกลไฟฟ้าแบบโรตารี

ระบบ ARC นี้มีมอเตอร์ไฟฟ้าที่เชื่อมต่อกับเกียร์ทดรอบเพื่อต่อต้านการเคลื่อนที่แบบหมุน มอเตอร์ไฟฟ้าและเกียร์ทดรอบจะรวมกันเป็นตัวกระตุ้นระบบกันโคลง ซึ่งอยู่ตรงกลางของเหล็กกันโคลง  
กลไกลดเกียร์ที่มีประสิทธิภาพมากที่สุดคือชุดเกียร์ไอโซไซโคลดัลแบบหลายขั้นตอน เช่นเดียวกับชุดเฟือง 3 ชั้น

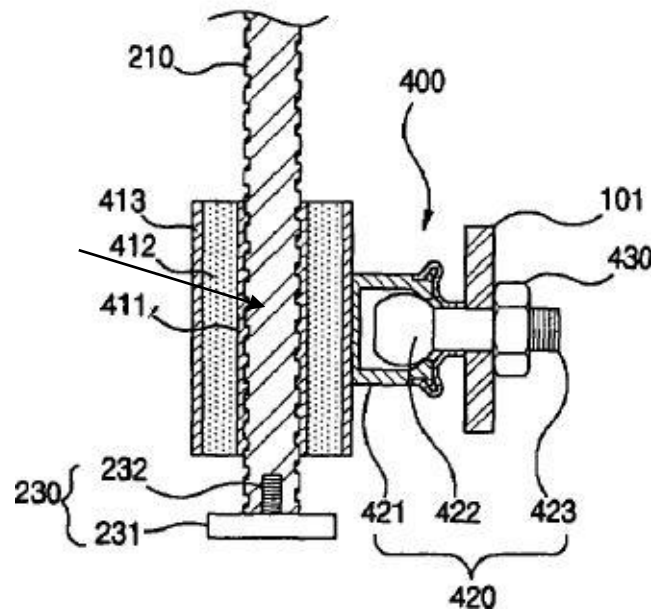


# ระบบตัวกระตุ้นทางกลไฟฟ้าเชิงเส้นตรง



ระบบของฮุนไดเอง

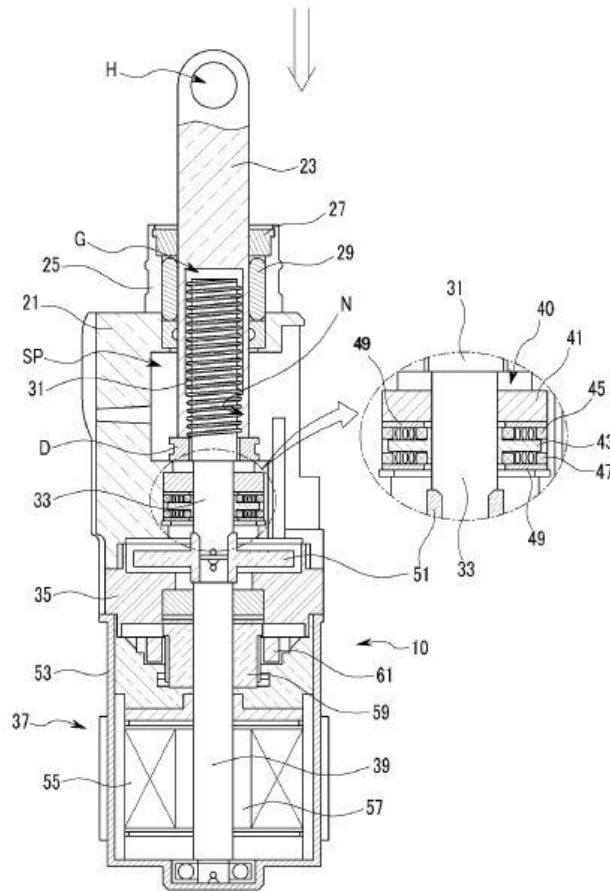
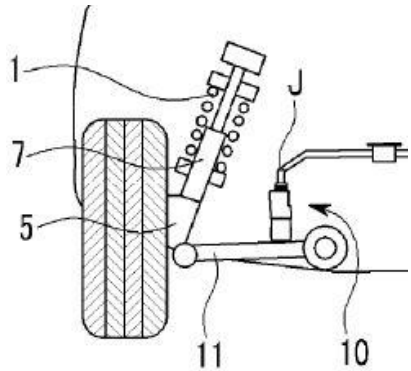
เหล็กกันโคลง (101) เชื่อมต่อกับรางกลไกข้อต่อแบบลูกปืน (420) กับตัวกระตุ้นแบบกลไกทางไฟฟ้าเชิงเส้น ซึ่งประกอบด้วยแกนสกรู (210) และมอเตอร์ไฟฟ้า (300) เชื่อมต่อกับข้อต่อรางสตรัทช่วงล่าง (220) .



เมื่อมอเตอร์ไฟฟ้าหมุน การเคลื่อนที่แบบหมุนของเฟืองขับของมอเตอร์จะถูกแปลงเป็นการเคลื่อนที่แบบสลับกันของแกนสกรู ซึ่งทำให้เกิดการโก่งตัวของปลายเหล็กกันโคลงที่สร้างโมเมนต์ป้องกันการหมุน



# ระบบตัวกระตุ้นทางกลไฟฟ้าเชิงเส้นตรง

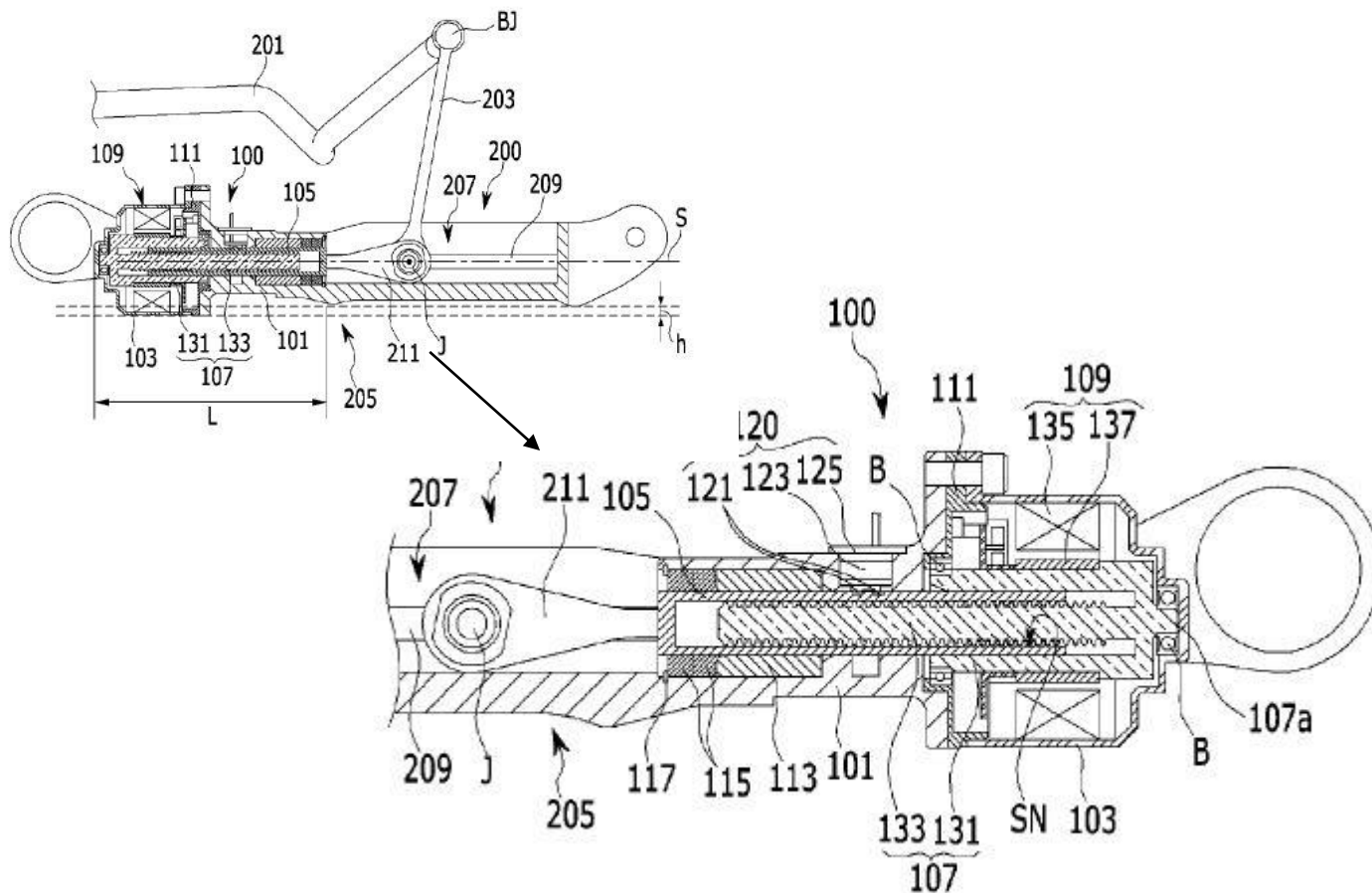


ระบบของฮุนไดเอง

แอกทูเอเตอร์ประกอบด้วยมอเตอร์ไฟฟ้าขับเคลื่อน (37) ที่ทำให้เพลาลมุน (39) ที่เชื่อมต่อกับเพลาลมุนสกรู (33) ผ่านคัปปลิ่ง (51) เพลาลมุนของสกรูเชื่อมต่อกับปลายด้านล่างของลีดสกรู (31) ตามแนวแกน

ลีดสกรูหมุนในเกลียวของร่องสกรู G ที่เกิดขึ้นในพื้นที่ผิวด้านในด้านล่างของตัวส่งสัญญาณกำลัง (23) ซึ่งเชื่อมต่อกับปลายเหล็กกันโคลงผ่านข้อต่อ J ที่วางไว้ในรูเชื่อมต่อกับ H

# ระบบตัวกระตุ้นทางกลไฟฟ้าเชิงเส้นตรงที่ไม่ใช่เชิงเส้น



ระบบของฮุนไดเอง

แอกชูเอเตอร์เชื่อมต่อกับเหล็กกันโคลง (201) รางข้อต่อแบบลูกหมากด้วยตัวเชื่อมกันโคลง (203) แอกชูเอเตอร์มียูนิตราง (200) ซึ่งคอนเนคเตอร์ (211) ที่เชื่อมโยงกับปลายด้านล่างของตัวกันโคลงสามารถเลื่อนได้ ข้อต่อเคลื่อนที่โดยเพลลาขับส่งกำลัง (105) ซึ่งแปลจากการหมุนของตัวโรตารีสกรู (107) ที่เกิดจากมอเตอร์ไฟฟ้า (109) แอกชูเอเตอร์ติดอยู่กับแขนช่วงล่างของสตรัทช่วงล่าง (205) และทำหน้าที่ตามขวางตามทิศทางของตัวรถ

# แลกเปลี่ยนตัวกระตุ้น



ARC actuator typologies	Linear Hydrostatic	Rotary Hydrostatic	Rotary Electro-mech	Linear Electro-mech	Non Linear Electro-mech
Layout	In place of pendulum bars	In the middle of stabilizer bar	In the middle of stabilizer bar	In place of one pendulum bar	In place of one pendulum bar
Energy demand	<p style="text-align: center;"><b>+</b></p> <p style="text-align: center;">&lt; hydraulic systems</p>	<p style="text-align: center;"><b>+</b></p> <p style="text-align: center;">&lt; hydraulic systems</p>	<p style="text-align: center;"><b>++</b></p> <p style="text-align: center;">possibility to recover energy</p>	<p style="text-align: center;"><b>+</b></p>	<p style="text-align: center;"><b>+</b></p>
Working angle	<p>Left/Right total free stroke function of suspension architecture</p> <p>1 actuator -</p> <p>2 actuators +</p>	<p>Left/Right total free stroke guaranteed. +/- 50° angles</p> <p style="text-align: center;"><b>+</b></p>	<p>Left/Right total free stroke guaranteed.</p> <p style="text-align: center;"><b>+</b></p>	<p>Left/Right total free stroke function of suspension architecture</p> <p>1 actuator -</p>	<p>Left/Right total free stroke function of suspension architecture.</p> <p>System rigidly attached to lower frame -</p>



# ปิดการขาย



ARC actuator typologies	Linear Hydrostatic	Rotary Hydrostatic	Rotary Electro-mech	Linear Electro-mech	Non Linear Electro-mech
Response time	-	-	+	+	+
Unsprung mass	-	+	+	++	++
Maintenance	- oil leakages, cavitation	- oil leakages, cavitation	+	+	+
Design and Installation	++	- big diameter	+	+	-
Performance	++	+++	+++	+	+
Fail safe characteristic	+ ≅ passive bar	+ ≅ passive bar	-	-	-
Cost	++	-	+	++	++



1. Genta G, Morello L. The automotive chassis: volume 1: Component design. Springer Science & Business Media; 2008.
2. Genta G, Morello L. The automotive chassis: volume 2: System design. Springer Science & Business Media; 2008.
3. Onori S, Serrao L, Rizzoni G. Hybrid electric vehicles: Energy management strategies. London: Springer; 2016.
4. Guzzella L, Sciarretta A. Vehicle propulsion systems. Springer-Verlag Berlin Heidelberg; 2007 Jun.
5. Dietsche K, Klingebiel M. Bosch Automotive Handbook. 7th Edition, Robert Bosch GmbH. 2007.
6. Amati N, Tonoli A, Castellazzi L, Ruzimov S. Design of electromechanical height adjustable suspension. Proceedings of the Institution of Mechanical Engineers, Part D: Journal of Automobile Engineering. 2018 Aug;232(9):1253-69.
7. <https://patents.google.com/patent/WO2019097461A1/en> Patent: WO2019097461A1 Damper and spring unit for a vehicle suspension provided with an electro-mechanical adjustment device for adjusting the vertical position of the spring
8. <https://patents.google.com/patent/WO2017202811A1>
9. Gysen BL, Paulides JJ, Janssen JL, Lomonova EA. Active electromagnetic suspension system for improved vehicle dynamics. IEEE Transactions on Vehicular Technology. 2009 Dec 18;59(3):1156-63.
10. Ebrahimi B, Bolandhemmat H, Khamesee MB, Golnaraghi F. A hybrid electromagnetic shock absorber for active vehicle suspension systems. Vehicle System Dynamics. 2011 Feb 1;49(1-2):311-32.



---

## Engineering Knowledge Transfer Units to Increase Student's Employability and Regional Development



<https://www.facebook.com/unitederasmus/>



Co-funded by the  
Erasmus+ Programme  
of the European Union

*This project has been funded with support from the European Commission. This publication reflects the views only of the author, and the Commission cannot be held responsible for any use which may be made of the information contained therein.598710-EPP-1-2018-1-AT-EPPKA2-CBHE-JP*